

عنوان پروژه:

RFID Anticollision

دانشجو:

سعید احمدی

تابستان ۱۳۹۱

پیشگفتار

من در این پروژه به طراحی و ساخت یک سیستم RFID از نوع مایفر که موجود در بازار می باشد ، پرداختم . برای بخش میکروپروسسوری این پروژه از میکرو کنترلر استفاده شده است و همچنین از کارت های مایفر S50 , A که دارای 1k حافظه داخلی می باشند به عنوان تگ مورد استفاده قرار گرفته اند .

من این پروژه را در چهار فصل تهیه کرده ام که در فصل اول به توضیح مسائل کلی و انواع و اقسام این گونه سیستم ها و همچنین کاربرد های این سیستم پرداخته ، در فصل دوم به سخت افزارهای استفاده شده در این پروژه و مشخصات فنی هر سخت افزار و چگونگی کارکرد هر کدام و تشریح نقشه فنی سیستم می پردازم . در فصل سوم نیز به توضیح برنامه نوشته شده در قسمت میکروکنترلر سیستم که مرکز فرماندهی سیستم را تشکیل می دهد پرداخته ام . در فصل آخر به طور مختصر پروژه را مورد بررسی قرار داده و نتایج و برخی کاربردهای آن را ارائه خواهم کرد .

امروزه ضرورت شناسایی خودکار عناصر و جمع آوری داده مرتبط به آنان بدون نیاز به دخالت انسان جهت ورود اطلاعات در بسیاری از عرصه های صنعتی ، علمی ، خدماتی و اجتماعی احساس می شود . در پاسخ به این نیاز تاکنون فناوری های متعددی طراحی و پیاده سازی شده است .

به مجموعه ای از فناوری ها که از آنان برای شناسایی اشیاء ، انسان و حیوانات توسط ماشین استفاده می گردد ، شناسایی خودکار و یا به اختصار Auto ID گفته می شود . هدف اکثر سیستم های شناسایی خودکار ، افزایش کارایی ، کاهش خطاء ورود اطلاعات و آزاد سازی زمان کارکنان برای انجام کارهای مهمتر نظیر سرویس دهی بهتر به مشتریان است .

تاکنون فناوری های مختلفی به منظور شناسایی خودکار طراحی و پیاده سازی شده است . کدهای میله ای ، کارت های هوشمند ، تشخیص صدا ، برخی فناوری های بیومتریک ، OCR (optical character recognition) و RFID (radio frequency identification) نمونه هایی

در این زمینه می باشند . در اینجاست که RFID نقش خود را به عنوان یک تکنولوژی جدید ولی ضروری برای جوامع امروز پیدا می کند . از این رو بهبود و پیشرفت این تکنولوژی یک امر ضروری به نظر می رسد .

RFID با استفاده از ارتباطات مبتنی بر فرکانس های رادیویی امکان شناسایی خودکار ، ردیابی و مدیریت اشیاء ، انسان و حیوانات را فراهم می نماید . عملکرد RFID وابسته به دو دستگاه تگ و کدخوان است که جهت برقراری ارتباط بین یکدیگر از امواج رادیویی استفاده می نمایند.

به مجموعه ای از فناوری ها که در آنان برای شناسایی خودکار افراد و اشیاء از امواج رادیویی استفاده می گردد ، RFID گفته می شود . از روش های مختلفی برای شناسایی افراد و اشیاء استفاده می شود. ذخیره شماره سریال متناسب به یک فرد و یا شی درون یک ریزتراشه که به آن یک آنتن متصل شده است ، یکی از متداولترین روش های شناسایی خودکار است .

به تلفیق تراشه و آنتن ، تگ RFID و یا فرستنده خودکار RFID گفته می شود . تراشه به کمک آنتن تعبیه شده ، اطلاعات لازم جهت شناسایی آیتم مورد نظر را برای یک کدخوان ارسال می نماید . کدخوان امواج رادیویی برگردانده شده از تگ RFID را به اطلاعات دیجیتال تبدیل می نماید تا در ادامه ، امکان ارسال داده برای کامپیوتر و پردازش آن فراهم گردد.

RFID یک تکنولوژی مهم جهت شناسایی اشیاء ، جمع آوری داده و مدیریت اشیاء را ارائه می نماید . تکنولوژی فوق مشتمل بر مجموعه ای از فناوری های حامل داده و محصولاتی است که به مبادله داده بین حامل و یک سیستم مدیریت اطلاعات از طریق یک لینک فرکانس رادیویی کمک می نماید . تگ های RFID با استفاده از یک فرکانس و بر اساس نیاز سیستم (محدوده خواندن و محیط) ، پیاده سازی می گردند . تگ ها به صورت فعال (به همراه یک باتری) و یا غیرفعال (بدون باتری) پیاده سازی می شوند . تگ های غیرفعال، توان لازم جهت انجام عملیات را از میدان تولید شده توسط کدخوان می گیرند .

کدخوان RFID، معمولاً به یک کامپیوتر متصل می شود و دارای نقشی مشابه با یک اسکنر کد میله ای است. مسئولیت برقراری ارتباط لازم بین سیستم اطلاعاتی و تگ های RFID برعهده کدخوان RFID است.

از محدودیت های این سیستم می توان به این موضوع اشاره کرد که به دلیل تازگی این تکنولوژی یک مقدار گران تلقی می شود و همچنین اینکه در کشور فقط تعداد و انواع محدودی از قطعات این تکنولوژی وجود دارد و به گونه ای دست طراح را در طراحی هر گونه مداری باز نگذاشته است. غیر از این مشکل، محدودیت و معایب دیگری نیز وجود دارد که در زیر به برخی از آنها می پردازیم.

تداخل: به دو صورت اتفاق می افتد:

تداخل Reader ها: زمانی اتفاق می افتد که سیگنال های ارسال شده از چند دستگاه Reader تداخل پیدا می کنند.

تداخل tag ها: زمانی اتفاق می افتد که تعداد tag های بسیار زیادی در فضای کوچکی وجود داشته باشند.

مسئله ایمنی: اکثر tag های RFID حتی پس از خرید و خروج از فروشگاه فعال هستند. در نتیجه اطلاعات آن ها می تواند توسط دستگاه های Reader خوانده شود. بنابراین احتمال سرقت کالاها افزایش می یابد. علاوه بر این بسیاری از سازمان ها به هنگام خرید مشتری اطلاعاتی را درباره مشتری (از جمله شماره Credit-card، آدرس، نام و...) به RFID tag کالاها منتقل می کنند تا لیستی از مشخصات مشتریان خود داشته باشند؛ که این امر اطلاعات محرمانه مشتریان را به خطر می اندازد. موضوع امنیت زمانی بیشتر به چشم می خورد که به کاربردهای RFID در پزشکی توجه کنیم.

مشکلات اجتماعی: بر اثر پیشرفت های اخیر تکنولوژی در بسیاری از مناطق دنیا از جمله فرانسه، نروژ و... فن آوری RFID برای تشخیص هویت افراد استفاده می شود. این امر به عقیده بسیاری از افراد

نامطلوب است؛ زیرا شخصیت اجتماعی و انسانی آن‌ها را زیرسوال برده و سبب می‌شود که به انسان‌ها به چشم یک ربات نگریسته شود.

عدم وجود استانداردها: شرکت‌های متعددی وجود دارند که دستگاه‌های RFID را تولید می‌کنند. اما قوانین و استانداردهای جهانی خاصی برای این تولید وجود ندارد. این مسئله سبب می‌شود که فن‌آوری RFID طراحی شده برای یک کمپانی یا شرکت تنها در همان شرکت قابل استفاده باشد و tag های موجود در روی محصولات یک کمپانی (مثلاً تامین کننده) ممکن است توسط کمپانی دیگر خوانده نشود که این امر مشکلات فراوانی را ایجاد می‌کند. استانداردهای موجود برای تعیین فرکانس RFID نیز در کشورهای مختلف تفاوت دارد.

فهرست مطالب

فصل	اول	عنوان	پروژه	و	گفتار	پیش
i						
تحقیق	۱					
۱.۱	عنوان پروژه					
۱.۲	تعریف پروژه					
۱.۳	تاریخچه RFID					
۱.۴	اصول فناوری RFID					
فصل دوم	سیستم های RFID ضد تداخل					
۲.۱	مقدمه					
۲.۲	معرفی سیستم های RFID ضد تداخل					
۲.۳	پروتکل های ضد تداخل برای سیستم های RFID غیرفعال					
۲.۳.۱	زمان بندی دسترسی چندگانه (TDMA)					
۲.۳.۲	کدبندی دسترسی چندگانه (CDMA)					
۲.۳.۳	مکان یابی دسترسی چندگانه (SDMA)					
۲.۳.۴	فرکانس بندی دسترسی چندگانه (FDMA)					
۲.۴	بررسی کامل پروتکل TDMA					
۲.۴.۱	الگوریتم های ضد تداخل بر اساس ALOHA					
۲.۴.۲	الگوریتم ALOHA پایه و Slotted ALOHA					
۲.۴.۳	الگوریتم BFSA (Basic Frame Slotted ALOHA)					
۲.۴.۴	الگوریتم DFSA (Dynamic Frame Slotted ALOHA)					
۲.۴.۵	الگوریتم ADFSFA (Advanced Dynamic Frame Slotted ALOHA)					
۲.۴.۶	گروه بندی تعداد تگ های پاسخ دهنده					
۲.۴.۷	الگوریتم Tree Slotted ALOHA					
۲.۴.۸	الگوریتم های مبتنی بر درختی					
۲.۴.۹	الگوریتم های درختی باینری					
۲.۴.۱۰	الگوریتم های Query Tree					

۲.۴.۱۱	س الگوریتم های مبتنی بر Tree – ALOHA	۳۲
۲.۴.۱۲	الگوریتم Slotted Binary Tree	۳۳
۲.۴.۱۳	الگوریتم ضد تداخل مبتنی بر Bi-slotted tree	۳۳
۲.۴.۱۴	الگوریتم درخت پرس و جوی قاب بندی شده (FQT) framed query true	۳۶
۲.۴.۱۵	الگوریتم (QT-ALOHA)	۳۷
۲.۴.۱۶	الگوریتم FS-ALOHA با برآورد تگ و جداسازی (EBFSA)	۳۹
۲.۴.۱۷	الگوریتم FSA با فریم راهنما و انتخاب باینری (FSAPB)	۴۱

فصل سوم بررسی استاندارد ISO/IEC 14443

۴۶	مقدمه
----	-------

14443-1

استاندارد

۴۷	
----	--

۴۷	۱. هدف
۴۷	۲. قوانین
۴۸	۳. تعاریف ، اختصارها و نمادها
۴۸	۳.۱ تعاریف
۴۹	۴. ویژگی های فیزیکی
۴۹	۴.۱ کلیت
۴۹	۴.۲ ابعاد
۵۰	۴.۳ ویژگی های اضافه

14443-2

استاندارد

۵۱	
----	--

۵۱	۱. هدف
۵۱	۲. قوانین
۵۲	۳. تعاریف و قوانین
۵۲	۴. اختصارات و نمادها
۵۳	۵. رابطه اولیه برای کارت ها
۵۳	۶. انتقال قدرت
۵۴	۷. سیگنال رابط
۵۵	۸. سیگنال ارتباطی نوع A
۵۵	۸.۱ ارتباطات PCD به PICC
۵۸	۸.۲ ارتباطات PICC به PCD
۶۰	۹. سیگنال ارتباطی نوع B

۶۰.....	ارتباط PCD با PICC	۹.۱
۶۰.....	نرخ داده	۹.۱.۱
۶۰.....	مدولاسیون	۹.۱.۲
۶۱.....	کدگذاری بیت	۹.۱.۳
۶۱.....	ارتباط PICC با PCD	۹.۲
۶۱.....	نرخ داده	۹.۲.۱
۶۲.....	بار مدولاسیون	۹.۲.۲
۶۲.....	ساب کریر	۹.۲.۳
۶۲.....	مدولاسیون ساب کریر	۹.۲.۴
۶۳.....	کدگذاری و نمایش بیت	۹.۲.۵
۶۴.....	حدافل محدوده کوپلینگ PICC	۱۰
.....	14443-3	استاندارد
۶۵.....		

۶۵.....	هدف	۱
۶۵.....	قوانین	۲
۶۶.....	عبارات و معانی	۳
۶۷.....	نماد ها	۴
۶۹.....	رای گیری	۵
۶۹.....	نوع A – نصب و ضدتداخل	۶
۷۰.....	۶.۱ بایت ، فریم و قالب دستور و زمانبندی	
۷۶.....	۶.۲ حالت های PICC	
۷۸.....	۶.۳ دستورات	
۸۰.....	۶.۴ مراحل انتخاب	
۸۱.....	۶.۴.۱ فلوچارت مراحل انتخاب	
۸۲.....	۶.۴.۲ پاسخ به درخواست ATQA	
۸۳.....	۶.۴.۳ ضدتداخل و انتخاب	
.....	14443-4	استاندارد
۹۰.....		

۹۰.....	هدف	۱
۹۰.....	قوانین	۲
۹۱.....	تعاریف و عبارات	۳
۹۲.....	نماد ها	۴
۹۳.....	۵ فعال کردن پروتکل PICC نوع A	
۹۴.....	۵.۱ درخواست برای پاسخ به انتخاب (RATS)	
۹۵.....	۵.۲ پاسخ به انتخاب ATS	
۹۸.....	۵.۳ زمان انتظار فریم فعال سازی	
۹۹.....	۵.۴ شناسایی و بازیابی خطا	

۱۰۰.....	۶. غیر فعال کردن پروتکل PICC نوع A
۱۰۲.....	فصل چهارم نمونه عملی RFID ضدتداخل
۱۰۲.....	۴.۱ مقدمه
۱۰۳.....	۴.۲ نحوه کار مدار
۱۰۳.....	۴.۳ بررسی اجزا مدار پردازشگر
۱۰۴.....	۴.۴ بررسی نمای شماتیک و PCB مدار پردازشگر
۱۰۵.....	۴.۵ ماژول YLMF018
۱۰۶.....	۴.۵.۱ استاندارد Mifare
۱۰۶.....	۴.۵.۲ ویژگی های فنی
۱۰۷.....	۴.۵.۳ تنظیمات ارتباط
۱۰۷.....	۴.۵.۴ تصویر و ابعاد ماژول
۱۰۹.....	۴.۵.۵ ویوگی ماژول
۱۰۹.....	۴.۵.۶ پروتکل ارتباطی
۱۱۰.....	۴.۵.۷ دستورات
۱۱۲.....	۴.۶ برنامه میکرو
۱۴۰.....	فصل پنجم خلاصه پروژه و نتایج بدست آمده

فهرست اشکال و نمودارها

۲.....	شکل (۱-۱) نمونه یک Tranceiver
۱۲.....	شکل (۲-۱) طیف فرکانسی
۲۳.....	شکل (۱-۲) الگوریتم های احتمالی
۲۴.....	شکل (۲-۲) نمونه الگوریتم BFSA
۲۸.....	شکل (۳-۲) مقایسه الگوریتم ها
۲۹.....	شکل (۴-۲) الگوریتم های قطعی
۳۷.....	شکل (۵-۲) نمونه الگوریتم FQT

شکل ۲-۶) نمونه الگوریتم QT ALOHA	۳۸
شکل ۲-۷) نمونه الگوریتم EBFS	۴۰
شکل ۲-۸) نمونه الگوریتم FSAPB ، وقتی Pcoll کمتر از Pth	۴۲
شکل ۲-۹) نمونه الگوریتم FSAPB ، وقتی Pcoll بیشتر از Pth	۴۳
شکل ۳-۱) ارتباط بین PCD و PICC	۵۵
شکل ۳-۲) مکث در پروتکل نوع A	۵۶
شکل ۳-۳) تعیین پایان در مکث	۵۷
شکل ۳-۴) حداقل محدوده کوپلینگ PICC	۶۴
شکل ۳-۱) زمان تاخیر فریم PICC به PCD	۷۰
شکل ۳-۲) فریم استاندارد	۷۳
شکل ۳-۳) ساماندهی و انتقال بیت در فریم ضد تداخل بیت گرا ، FULL BYTE CASE	۷۴
شکل ۳-۴) ساماندهی و انتقال بیت در فریم ضد تداخل بیت گرا ، SPLIT BYTE CASE	۷۵
شکل ۳-۵) دیاگرام حالت های PICC نوع A	۷۶
شکل ۳-۶) فلوجارت راه اندازی و ضدتداخل برای PICC	۸۱
شکل ۳-۷) حلقه ضدتداخل ، فلوجارت برای PCD	۸۵
شکل ۳-۸) استفاده از مراحل Cascade	۸۸
شکل ۳-۱) فعالسازی PICC نوع A توسط PCD	۹۴
شکل ۳-۲) بدنه ATS	۹۵
شکل ۴-۱) نمای شماتیک مدار پردازشگر	۱۰۴
شکل ۴-۲) نمای PCB مدار پردازشگر	۱۰۵
شکل ۴-۳) مازول YLMF018	۱۰۷
شکل ۴-۴) ابعاد مازول YLMF018	۱۰۸

فهرست جداول

جدول (۱-۱) مقایسه RFID در باند های فرکانسی مختلف	۴
جدول (۲-۱) خصایص سیستم RFID در باند های فرکانسی مختلف	۱۴
جدول (۱-۳-۳) زمان تاخیر فریم PICC به PCD	۷۱
جدول (۲-۳-۳) کدگذاری فریم درخواست	۷۹
جدول (۳-۳-۳) رمزنگاری ATQA	۸۲
جدول (۴-۳-۳) حالت های b7 و b8	۸۲
جدول (۵-۳-۳) حالت های b1 تا b5	۸۳
جدول (۶-۳-۳) کدگذاری SEL	۸۶
جدول (۷-۳-۳) کدگذاری NVB	۸۶
جدول (۸-۳-۳) کدگذاری SAK	۸۷

جدول ۳-۳ (۹-۳-۳) اندازه ی UID ۸۷

جدول ۴-۱ (۱-۴) پایه های خروجی ۱۰۸

جدول ۴-۲ (۲-۴) ویژگی YLMF018 ۱۰۹

جدول ۴-۳ (۳-۴) قالب دستور ارسالی ۱۰۹

جدول ۴-۴ (۴-۴) قالب اطلاعات دریافتی ۱۱۰

فصل اول

عنوان پروژه و تحقیق

۱-۱ عنوان پروژه:

تحقیق و طراحی سیستم های RFID ضدتداخل

۲-۱ تعریف پروژه:

هدف از پروژه در ابتدای کار در این فصل به بررسی سیستم های RFID به صورت کلی و جزئیات هر سیستم RFID و نحوه وقوع تداخل و همچنین به تاریخچه این سیستم ها می پردازیم . در فصل بعدی به بررسی سیستم های RFID ضدتداخلی که در جهان مورد استفاده قرار می گیرد ، می باشد . در این سیستم ها به بررسی نقاط ضعف و قوت هر پروتکل ضدتداخل می پردازیم و آنها را با یکدیگر مقایسه می کنیم . در فصل سوم به بررسی یک استاندارد مایفر موجود در ایران که پروتکل ضدتداخل خاص خود را دارد می پردازیم .

نام این استاندارد ISO/IEC 14443 می باشد که شرکت NXP مدارات خود RFID ضدتداخل را با این استاندارد روانه بازار می کند . در فصل آخر هم به یک نمونه مدار عملی که از این استاندارد استفاده می کند می پردازیم .

۳-۱ تاریخچه RFID

به این علت که فن آوری RFID اخیرا گسترش و رواج قابل ملاحظه ای یافته است، بسیاری از افراد تصور می کنند که این تکنولوژی جدید و نوست در حالی که RFID از حدود سال ۱۹۷۰ وجود داشته است اما به دلیل قیمت بالا این وسیله تا سال های اخیر در مصارف تجاری کاربرد زیادی نداشته است. طبق بررسی های انجام شده مفهوم RFID از زمان جنگ جهانی دوم با کشف فن آوری تقریبا مشابهی به نام IFF که معرف Identify Friend or Foe می باشد مطرح گردیده است. IFF روشی برای تشخیص هواپیماهای جنگی دوست یا دشمن بود که توسط انگلیسی ها کشف و استفاده شد. IFF مکانیزمی شبیه به RFID دارد.

یک تکنولوژی مشابه دیگر در سال ۱۹۴۵ توسط "Leon Theremin" کشف شد که یک وسیله جاسوسی بود و اطلاعات صوتی را با استفاده از امواج رادیویی انتقال می داد.

اولین بار فن آوری RFID به شکل امروزی آن توسط "Mario Cardullo" کشف شد اما تا سال ۱۹۷۰ به علت گرانی استفاده تجاری نداشت.

۴-۱ اصول فن آوری RFID

RFID از سه قسمت تشکیل شده است:

- برای برقراری ارتباط و ارسال امواج رادیویی به A Scanning antenna :tag

- برای تفسیر داده ها: A Transceiver with a decoder
- A Transponder (the RFID tag) که اطلاعات لازم در آن ذخیره شده است:

شکل زیر یک Transceiver را نشان می دهد:

شکل ۱-۱ : یک Transceiver

Tag خود از دو قسمت تشکیل شده: (۱) chip

(۲) Antenna که در شکل زیر نمایش داده شده



RFID

است:

نحوه انجام عملیات:

آنتن (Scanning Antenna) امواج رادیویی را در محدوده نسبتاً کوچکی منتشر می کند. این امواج

رادیویی دو عمل اصلی انجام می دهند:

(۱) وسیله ای برای ارتباط با RFID Tag (transponder) است.

(۲) انرژی مورد نیاز tag برای برقراری ارتباط را فراهم می کند (در مورد tag های passive)

وقتی که یک tag در میدان الکترومغناطیسی ایجاد شده در اطراف reader قرار می گیرد، سیگنال های فعال

کننده که توسط آنتن فرستاده شده اند، روی آن اثر گذاشته و به عبارتی تراشه RFID را بیدار می کند و این

تراشه اطلاعات موجود در tag را در اختیار آنتن قرار می دهد. نقش transceiver در این عملیات کنترل

خطوط ارتباطی و داده ها است

در واقع یک دستگاه reader ترکیبی است از یک scanning antenna و transceiver.

اطلاعات خوانده شده توسط reader به server محلی موجود انتقال می یابد و این اطلاعات پردازش شده و در تشکیلات داخلی یک سازمان برای کاربردهای مختلف مورد استفاده قرار می گیرد. شکل زیر به صورت کلی چگونگی عملکرد RFID را توضیح می دهد :

انواع RFID از نظر محدوده فرکانس:

RFID در سه محدوده فرکانس مختلف کار می کند:

۱- فرکانس پایین (LF): Low Frequency ← یعنی فرکانس بین ۱۲۰ تا ۱۳۴ کیلو هرتز

۲- فرکانس بالا (HF): High Frequency ← یعنی فرکانس ۱۳.۵۶ مگاهرتز

۳- فرکانس بسیار بالا (UHF): Ultra High Frequency ← یعنی فرکانس بین ۹۰۲ تا ۹۱۵ کیلو

هرتز

ویژگی های این سه نوع RFID در جدول زیر مقایسه شده است:

نوع	محدوده فرکانس	توانایی عبور سیگنال از مواد	توانایی خوانده شدن هم زمان چند tag	قیمت	کاربرد نمونه
LF	120-134 KHz	زیاد	ضعیف	گران	شناسایی حیوانات در مراکز پرورش حیوانات یا دامداری ها
HF	13.56 MHz	کم	نسبتا خوب	ارزان	کتابخانه ها

UHF	902-915 MHz	بسیار کم	بسیار عالی	ارزانترین	حمل و نقل کالاها و موجودی ها
-----	-------------	----------	------------	-----------	------------------------------

جدول ۱-۱ : مقایسه RFID در باند های فرکانسی مختلف

انواع Tag های RFID:

به طور کلی سه نوع tag RFID وجود دارد که عبارتند از:

۱- tag های Passive: این نوع tag ها هیچ منبع تولید انرژی درونی ندارند و انرژی خود را از طریق سیگنال های RF که توسط دستگاه Reader ارسال و توسط آنتن موجود در tag دریافت می شود، تامین می کنند.

۲- tag های Semi-passive: بسیار شبیه tag های Passive است ؛ با این تفاوت که باتری

کوچکی در آن ها وجود دارد و انرژی لازم برای فعال شدن مدار داخل آن ها را فراهم می سازد.

۳- tag های Active: این tag ها دارای یک منبع انرژی داخلی می باشند که توانایی انتقال اطلاعات در فواصل دورتر را فراهم می کند.

این سه نوع tag از جهات دیگری چون سایز، دامنه پاسخ گویی، سرعت پاسخ گویی و... نیز با هم تفاوت هایی دارند .

این خواص با حرکت از tag های Passive به سوی Active به صورت زیر تغییر می کنند:

اندازه : افزایش

*اندازه کوچک ترین tag Passive ← 0.15mm× 0.15mm

*اندازه کوچک ترین Active tag ← به اندازه یک سکه

دامنه (Range) پاسخ گویی : افزایش

قیمت : افزایش

سرعت پاسخ گویی : افزایش

قابلیت اطمینان : افزایش

عمر این برچسب ها به صورت زیر تغییر می کند:

Passive > Active > Semi-passive

*دلایل تفاوت عمر tag ها:

۱- tag هایی که منبع انرژی داخلی دارند به علت محدودیت منبع عمر محدود دارند.

۲- باتری کوچک موجود در برچسب Semi-passive عمر کوتاه تری از منبع انرژی برچسب Active دارد.

مقایسه RFID با بارکدو مزایای عمده RFID:

۱- دستگاه های خواننده بارکدها در صورتی عمل می کنند که برچسب در مسیر خط مستقیم دید آنها قرار گیرد؛ در حالی که هیچ یک از انواع RFID tag برای خوانده شدن احتیاجی به قرار گرفتن در مسیر دید مستقیم Reader ندارند.

۲- Tag های RFID می توانند از فاصله بسیار دورتری نسبت به بارکد خوانده شوند. یک RFID

Reader می تواند اطلاعات RFID را تا فاصله ۳۰۰ فوت هم بخواند، در حالی که فاصله خوانده

شدن بارکد بسیار کمتر است و عملاً بیشتر از ۱۵ فوت نیست.

۳- چند RFID tag می توانند به طور همزمان خوانده شوند اما بارکد این مزیت را ندارد.

۴- خواندن اطلاعات از RFID با سرعت بسیار بالاتری صورت می گیرد. (حدود ۴۰ عدد یا بیشتر در ۱ ثانیه)؛ در حالی که خواندن اطلاعات از بارکد بسیار زمان برتر است. به علت این که tag باید دقیقاً روبه روی Reader قرار گیرد، ممکن است چند ثانیه برای خواندن فقط یک tag وقت صرف شود.

۵- از آن جایی که بارکد باید برای خوانده شدن در مسیر دید مستقیم gun قرار گیرد، باید حتماً بر روی سطح خارجی کالا نصب شود. در نتیجه خیلی سریع آسیب دیده و غیر قابل استفاده می شود. در حالی که می توان برچسب های RFID را در داخل پوشش پلاستیکی قرار داد و حتی می توان آن ها را در داخل محصول فرو کرد که این خود، دوام آن ها و امکان استفاده مجدد از آن ها را فراهم می سازد.

۶- عمر برچسب های RFID از بارکد بیشتر است.

۷- RFID توانایی کار در محیط های خشن را دارد و کارایی آن بسیار بیشتر از بارکد است.

۸- بارکدها برچسب هایی فقط خواندنی هستند و اطلاعات آن ها قابل تغییر نمی باشد. در حالی که

RFID توانایی خوانده شدن و نوشته شدن مجدد را دارد. Reader ها قادرند با برچسب ها ارتباط برقرار کنند و تا جایی که طراحی برچسب اجازه می دهد اطلاعات آن را تغییر دهند. بنابراین توسط بارکد تنها می توان یک کالا را رد گیری نمود. اما با استفاده از RFID می توان عملیاتی چون ثبت وقایع، پارامترها و اندازه گیری ها را نیز اجرا کرد.

۹- برچسب های RFID گران تر از بارکد هستند و این قیمت بالا گاهی اوقات به حدی تاثیر گذار است که صرف نظر از تمام مشکلات بارکدها استفاده از آن ها بسیار به صرفه تر از به کارگیری RFID می باشد.

۱۰- امنیت اطلاعات موجود در روی RFID کمتر از بارکد است. زیرا دستگاه های Reader مختلف از فواصل دور قادر به خواندن این اطلاعات می باشند.

۱۱- تعداد بایت های موجود برای ذخیره سازی اطلاعات در RFID بسیار بیشتر از بارکد است. بنابراین می توان در یک برچسب RFID اطلاعات فراوانی از جمله : کد کالا، محل ذخیره و نگهداری، محل

تولید، تاریخ مصرف، قطعات و مواد تشکیل دهنده، حمل و نقل های صورت گرفته و بسیاری اطلاعات دیگر را ذخیره نمود.

کاربردهای RFID:

RFID در جاهای مختلفی از پزشکی تا صنعت و حتی در موجودات زنده کاربرد دارد

مثال هایی از این کاربردها در ادامه آورده شده است:

(۱) مدیریت زنجیره تامین (SCM):

با قرار دادن tag های RFID بر روی اجناس در زنجیره تامین در هر لحظه می توان تشخیص داد که کالای مورد نظر در چه مرحله ای از زنجیره قرار دارد. RFID توسط شرکت های مختلف در دنیا از جمله wal-Gillete، mart و... برای این منظور به کار برده شده است.

کمک عمده RFID در زنجیره تامین به هنگام خرید مواد اولیه از تامین کنندگان و همچنین انتقال محصولات به توزیع کنندگان می باشد. Tag های RFID که بر روی پالت های حمل محصولات نصب می - شوند اطلاعات کاملی از محصولات موجود در پالت در اختیار مراکز بازرسی قرار می دهد و در نتیجه احتیاجی به باز کردن محموله و شمارش دستی محصولات نیست که این امر سبب کاهش قابل توجهی در هزینه بازرسی و افزایش دقت و کاهش اشتباهات حمل خواهد شد . همچنین اطلاعات وسیعی درباره مواد و قطعات تشکیل دهنده محصول ،مراحل ساخت آن ، زمان ساخت و تحویل ،محل قرارگیری آن در انبار و... را می توان در داخل tag ها ذخیره و نگهداری کرد.

۲) سیستم کنترل موجودی :

یکی از کاربردهای بسیار متداول RFID کاربرد آن در برنامه ریزی و کنترل موجودی هاست. اطلاعات موجودی ها در tag های RFID نگهداری می شود و از این طریق هر لحظه می توان میزان موجودی موسسه و محل نگهداری آن ها را چک کرد و احتیاجات را مشخص و سفارشات لازم را ارسال نمود. RFID هزینه کنترل موجودی را کاهش داده و کارایی ودقت آن را به میزان قابل توجهی افزایش می دهد. شرکت wal-mart ادعا می کند که با استفاده از RFID هزینه کنترل موجودی شرکت به میزان ۱/۵٪ کاهش داشته است.

* شرکت wal-mart در زمینه استفاده از RFID تقریباً پیشگام است. با استفاده از این سیستم، wal-mart در هر لحظه چک می کند که از هر محصول چقدر و در کدام قفسه ها وجود دارد و اگر در هر جا مقدار این کالاها کم باشد به طور خودکار دستوری به قسمت انبار داری ارسال می شود تا قفسه ها مجدداً پر شوند. همچنین در زمان برداشتن یا گذاشتن موجودی در انبار این اطلاعات ثبت شده، سطح موجودی انبار چک شده و در صورت نیاز سفارش به تامین کنندگان به صورت خودکار داده می شود.

۳) ایجاد امنیت و جلوگیری از سرقت :

نمونه چنین کاربردی در فروشگاه های زنجیره ای ، پوشاک ، کتابخانه ها و... دیده می شود. tag های متصل بر روی اجناس باید در هنگام خرید و پرداخت پول توسط مشتری غیر فعال شوند در غیر این صورت gate های کار گذاشته شده نزدیک در ورودی فروشگاه ها در هنگام خروج، tag فعال را شناسایی و سیستم امنیت را به کار می اندازد. مثال دیگری از این کاربرد در جلوگیری از سرقت اتومبیل است، برچسب RFID در داخل کلید قرار می گیرد و تا زمانی که کلید مورد نظر، نباشد ماشین حرکت نمی کند.

کاربرد عمده RFID امروزه در کتابخانه ها می باشد.

(۴) پزشکی:

در بیمارستان ها این tagها برای تعیین موقعیت تجهیزات و پرسنل در هر لحظه به کار می روند. علاوه بر آن برای کنترل موجودی ها از جمله خون، دارو و... نیز کاربرد دارد. همچنین کاربرد جدیدی از RFID برای انسان ها وجود دارد که در بخش کاربردهای آینده بیشتر در مورد آن بحث می شود.

(۵) کنترل و نگهداری موجودات زنده:

در مراکز نگهداری از حیوانات یا دامداری ها کاربردهای فراوان RFID قابل مشاهده است. با جاسازی یک برچسب RFID در زیر پوست حیوانات می توان کد منحصر به فردی به هر حیوان تخصیص داد و در نتیجه از این طریق در هر لحظه می توان موقعیت حیوان را مشخص کرد، همچنین می توان کنترل کرد که آیا به هر حیوان غذا، داروهای مورد نیاز، مراقبت کافی و... داده شده است یا خیر. بنابراین از این طریق بسیاری از هزینه هایی که به علت اشتباهات پزشکی و مراقبتی ایجاد می شود، کاهش می یابد.

علاوه بر این مالکان و دامپزشکان می توانند آمار دقیق حیوانات تحت مسئولیت خود را بدانند. کاربرد RFID در انتقال حیوانات هم بسیار مهم است. به عنوان مثال در گاوداری ها شیوع بیماری هایی چون جنون گاوی این ضرورت را فراهم می کند که درباره هر حیوان بدانیم چه غذاها و داروهایی مصرف نموده و در چه محل - هایی نگهداری شده است. RFID برای شناسایی و مراقبت از حیوانات خانگی نیز به کار می رود. به عنوان مثال اگر یک حیوان خانگی گم شود و آن را به مراکز مربوطه تحویل دهند، آن ها قادرند با خواندن tagRFID اطلاعاتی در مورد صاحب آن به دست آورند.

(۶) در محل های فروش : Point-of-sale (POS)

Tag ها برای خرید و فروش های غیر نقدی مورد استفاده قرار می گیرند. مانند ایستگاه های سوخت، ایستگاه

مترو و...

مثلا در یک ایستگاه مترو یک دستگاه Reader در قسمت بالای در ورودی نصب می شود که با عبور مسافران از این در اطلاعات موجود در برچسب RFID روی کارت آن ها خوانده شده و به صورت خودبه خود از حساب Credit-card فرد، پول بلیت دریافت و به او اجازه عبور داده می شود؛ که این کار هزینه صدور بلیت و چک کردن بلیت ها و احتمال اشتباه را کاهش می دهد و زمان انتظار مسافران کمتر خواهد بود.

۷) مدیریت منابع انسانی (HRM) :

از طریق تخصیص یک برچسب RFID به هر یک از کارکنان سازمان می توان اطلاعات مورد نیاز درباره آن فرد را با کد اختصاصی خودش ذخیره و در مواقع لزوم به آن دسترسی پیدا کرد؛ همچنین با قرار دادن دستگاه های Reader در محل های مختلف در کارخانه می توان عبور و مرور و زمان ورود و خروج کارکنان را کنترل نمود.

۸) کنترل مسافران:

یکی از کاربردهای مهم RFID در کنترل مسافران مثلا از طریق وجود یک برچسب RFID بر روی pass-port مسافران می باشد که در هنگام عبور از gate های ورودی به سالن پرواز و... اطلاعات آن خوانده شده و به مسافر اجازه عبور داده می شود. بنابراین کنترل افراد از این راه بسیار مطمئن تر، کم هزینه تر و سریع تر خواهد بود. اطلاعاتی از جمله زمان و مکان کلیه مسافرت ها و ورود و خروج از کشورها بر روی این tag ها ذخیره می شود.

۹) دریافت عوارض راه:

در بسیاری از کشورها بر روی ماشین ها برچسب هایی با اطلاعات شماره credit-card و مشخصات مالک آن، قرار داده می شود.

در هنگام عبور از جاده‌ها **gate**هایی برای جمع‌آوری عوارض وجود دارد که این **tag**ها را در حال حرکت خوانده و به صورت خودکار، مقدار عوارض را از حساب صاحب اتومبیل کم می‌کند. از این طریق توقف برای پرداخت عوارض در جاده‌ها حذف خواهد شد.

کاربردهای آینده RFID:

(۱) ایجاد سیستم‌های هوشمند خانگی:

به عنوان مثال: ساخت یک ماشین لباس‌شویی که قادر است **tag**های RFID روی لباس‌ها را خوانده و با توجه به اطلاعات آن‌ها از جمله نوع پارچه لباس، رنگ و... درجه شست و شو را تنظیم کند و در صورتی که فرد قصد شستن ترکیب نادرستی از رنگ و جنس لباس‌ها را دارد، اخطار لازم را به او بدهد.

مثال دیگر یخچالی است که می‌تواند مواد غذایی داخل خود را شناسایی نموده و هر زمان که یکی از آن‌ها (مثلا شیر) کم شد یا تاریخ انقضای آن نزدیک شد به صاحب‌خانه خبر بدهد؛ یا حتی قادر است یک لیست خرید آماده کند!

(۲) ایجاد سیستم‌های اعلام خطر در اتومبیل:

مثلا استفاده از یک برچسب هوشمند RFID در تایر اتومبیل که وقتی باد لاستیک کم می‌شود یا مشکلی به وجود می‌آید، به راننده هشدار داده و از بروز تصادف جلوگیری می‌کند.

(۳) در مصارف پزشکی:

طرح آینده برای کاربردهای پزشکی که در بعضی مکان‌ها نیز در شرف اجراست، این است که برای هر کودکی که به دنیا می‌آید یک برچسب RFID طراحی و در بدن او جاسازی شود. (این برچسب معمولا در زیر پوست، با یک روش ساده جاسازی می‌شود.)

تمامی اطلاعات پزشکی فرد از جمله: گروه خونی، ویژگی‌ها(قد، وزن و...)، سوابق پزشکی و... بر روی آن برچسب نگهداری شده و هر بار که فرد به پزشک مراجعه می‌کند، پزشکان قادرند تمامی اطلاعات مورد نیاز خود را برای تشکیل پرونده و تشخیص وضعیت بیمار خود با اسکن کردن برچسب RFID آن‌ها به دست آورند.

در حال حاضر برچسب‌هایی برای این منظور ساخته شده‌اند که هیچ مزاحمت و حساسیتی برای بافت‌های بدن ایجاد نمی‌کند و از نظر اندازه، به اندازه یک دانه برنج است.

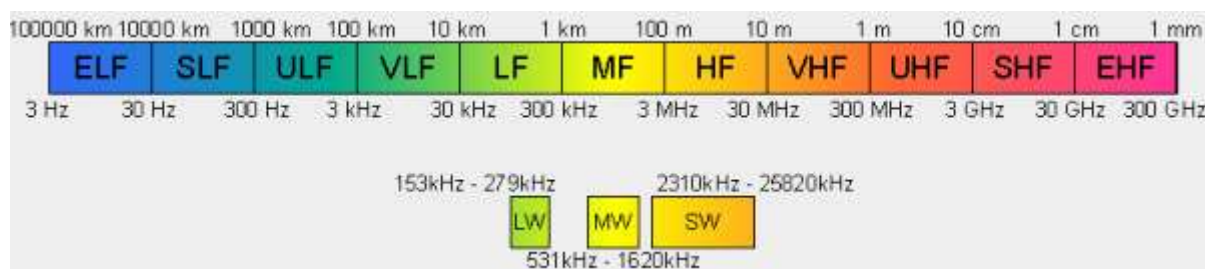
تنها مشکلی که در این زمینه وجود دارد امکان جابه جایی tag در داخل بدن است که این هم از طریق تزریق موادی به بافت‌های اطراف tag که باعث رشد این بافت‌ها و احاطه شدن tag توسط آن‌ها می‌شود، امکان پذیر است.

از آن‌جا که این tagها به گونه‌ای ساخته شده‌اند که فقط از فاصله بسیار نزدیک خوانده می‌شوند، در نتیجه باید بسیار نزدیک به سطح پوست قرار داده شوند.

اجزاء یک سیستم RFID : طیف فرکانس

یکی از ملاحظات مهم در ارتباط با فناوری RFID ، فرکانس عملیاتی آنان است . همانند تلویزیون که می‌تواند در باندهای UHF (برگرفته‌شده از HighFrequency-Ultra) و VHF (برگرفته شده از Very High Frequency) فعالیت نماید ، سیستم‌های RFID نیز می‌توانند از باندهای مختلفی برای ارتباطات خود استفاده نمایند .

شکل ۱ طیف فرکانس رادیویی را نشان می‌دهد .



شکل ۱-۲: طیف فرکانس رادیویی

در RFID هم از باند فرکانس پائین و هم از باند فرکانس بالا در محدوده های زیر استفاده میگردد .

• باندهای فرکانس پایین RFID

- فرکانس پایین و یا LF (برگرفته شده از LowFrequency) : بین ۱۲۵ تا ۱۳۴

کیلوهرتز

- فرکانس بالا و یا HF (برگرفته شده از HighFrequency) : محدوده ۵۶ / ۱۳ مگاهرتز

• باندهای فرکانس بالا RFID

- باند UHF: محدوده ۸۶۰ تا ۹۶۰ مگاهرتز

- میکروویو : ۵ / ۲ گیگاهرتز به بالا

انتخاب فرکانس بر روی چندین خصلت سیستم های RFID تاثیر گذار است که در ادامه به تشریح برخی از آنان خواهیم پرداخت .

اندازه و قیمت تگ های RFID

سیستم های RFID اولیه عموماً از باند LF استفاده می کردند (به دلیل سهولت در ساخت) . این نوع سیستم ها دارای مشکلات مختص به خود می باشند نظیر ابعاد بزرگ آنتن که می تواند قیمت تمام شده آنان را افزایش دهد .

در حال حاضر استفاده از باند HF بسیار متداول است . با توجه به پیشرفت های اخیر در فناوری ساخت

تراشه ها ، قیمت تگ های UHF قابل رقابت با تگ های HF شده است . تگ های RFID میکروویو مشابه تگ های UHF می باشند با این تفاوت که می توان آنان را کوچکتر و با قیمت کمتری تولید کرد.

جدول ۱-۲ : خصایص سیستم RFID در باندهای فرکانسی مختلف

باند فرکانس	LF 125 KHZ	HF 13.56MHZ	UHF 860-960 MHZ	Microwave 2.5 GHz به بالا
محدوده خواندن (تگ های غیرفعال)	کمتر از 62 سانتی متر	کمتر از یک متر	بین سه تا نه متر	چندین متر
منبع تامین انرژی تگ	عموماً غیرفعال می باشند	عموماً غیرفعال می باشند	عموماً فعال ولی ممکن است به صورت غیرفعال نیز باشند	عموماً فعال ولی ممکن است به صورت غیرفعال نیز باشند
قیمت تگ	نسبتاً گران	گران ولی به مراتب کمتر از LF	دارای پتانسیل لازم جهت تولید ارزان	دارای پتانسیل لازم جهت تولید ارزان
کاربردهای عمومی	ورود بدون کلید به مکان هایی خاص نظیر اطاق ها و ... ردیابی حیوانات پیشگیری از سرقت اتومبیل از طریق خاموش کردن آن از راه دور	کارت های هوشمند ردیابی آیتم های نظیر حمل بار کتابخانه ها	ردیابی حمل بار جمع آوری الکترونیکی عوارض حمل بار مسافر	جمع آوری الکترونیکی عوارض
نرخ داده	کند	متوسط	سریع	بسیار سریع
کارایی پس از قرار گرفتن در مجاورت فلزات و مایعات	خیلی خوب	خوب	بد	بدتر
اندازه تگ غیرفعال	خیلی بزرگ	بزرگ	کوچک	کوچک تر

فصل دوم

سیستم های RFID ضد تداخل

۱-۲ مقدمه

در این فصل به بررسی انواع پروتکل های ضد تداخل رایج در دنیا می پردازیم . همچنین به تحقیقاتی که هم اکنون در سرتاسر جهان در این زمینه انجام می شود نگاهی می اندازیم و پروتکل ها را با یکدیگر مقایسه خواهیم کرد .

۲-۲ معرفی سیستم های RFID ضد تداخل

سیستم های RFID امروزه به طور گسترده ای در تشخیص خودکار مورد استفاده قرار می گیرد . هر شی می تواند به عنوان یک کد الکترونیکی شناخته شود . در ابتدا هدف اصلی استفاده از تگ RFID برای جانشینی سیستم های بارکد قدیمی بود . علاوه بر اینکه تگ های RFID به خوانده شدن توسط باریکه ی نور احتیاج ندارند , این تگ ها در مقابل آب و کثیفی نیز مقاوم هستند . در ضمن , تگ ها می توانند دارای حافظه ی خواندن و نوشتنی نیز باشند که قابلیت نگهداری اطلاعات بیشتری نسبت به بارکد می باشند . این خصوصیات علت اصلی هجوم شرکت ها و کارخانجات برای استفاده از این سیستم می شود .

یک تگ RFID شامل دو بخش اصلی است: یک آی سی برای ذخیره اطلاعات و انجام عملیات مخابراتی و یک آنتن متصل به آن جهت دریافت و ارسال سیگنال رادیویی. انواع گوناگونی از تگ ها وجود دارند که بنابر منبع تغذیه و روش ارتباط آنها با سیستم تقسیم بندی می شوند. تگ های غیر فعال عموماً منبع تغذیه ی داخلی ندارند و انرژی خود را از سیگنال دریافت شده تهیه می کنند. از سوی دیگر تگ های فعال یک باتری جهت تامین انرژی خود دارند که می توانند علاوه بر ارتباط با Reader با تگهای دیگر هم ارتباط برقرار کنند. یک تگ نیمه غیر فعال ترکیبی از دو نوع ذکر شده می باشد به طوری که انرژی برای پردازش اطلاعات را از باتری خود تهیه میکند اما جهت ارتباط با Reader از روش غیر فعال استفاده می کند.

در یک سیستم RFID یک Reader توانایی ارتباط با چندین تگ که در محدوده ی آن باشند را دارد. اما روند شناسایی تگ ها ممکن است با مشکل مواجه شود اگر چندین تگ به طور همزمان اطلاعات خود را برای Reader ارسال کنند. سیگنال های ارسالی توسط تگ ها ممکن است با یکدیگر تداخل کند، بنابراین Reader ممکن است اطلاعات درستی دریافت نکند. اگر چنین چیزی اتفاق بیفتد، تگها مجبور به ارسال مجدد اطلاعات خود می شوند که باعث اتلاف زمان خواندن و کم شدن کارایی سیستم می شود. چنین مشکلی را "تداخل تگ ها" در سیستم RFID می نامند.

برای حل مشکل تداخل تگ ها، محققان هنوز به دنبال موثرترین راه برای سیستمی ضد تداخل که سریع ترین شناسایی که دقت شناسایی اطلاعات نزدیک به ۱۰۰٪ را داشته باشد، می باشند. مشکل تداخل معمولاً به دو نوع تداخل در Reader و تداخل در تگ ها تقسیم بندی می شود.

پروتکل هایی که امروزه برای حل مشکل تداخل تگها استفاده می شوند هر کدام دارای معایب و مزایای مخصوص به خود می باشند. در ادامه نگاهی مختصر به این پروتکل ها می اندازیم و معایب و مزایای هر کدام را ذکر می کنیم. از آنجایی که امروزه بیشتر از تگ های غیر فعال به دلیل هزینه و حجم بسیار کم استفاده می شود، ما نیز به تفسیر روش های ضد تداخل اینگونه از تگها می پردازیم.

۲-۳ پروتکل های ضد تداخل برای سیستم های RFID غیرفعال

تکنولوژی های دسترسی چندگانه امروزه به صورت وسیع در مخابرات مدرن استفاده می شوند که این تکنولوژی ها به سیستم های مخابراتی اجازه می دهند که از کانال ارتباطی به طور همزمان با کمترین تداخل با یکدیگر استفاده کنند. در یک سیستم Reader, RFID معمولا با تگهایی که در محدوده اش باشند ارتباط برقرار میکند, که همه ی این ارتباطات از یک کانال ارتباطی که همان هوای اطراف است استفاده می کند. به همین دلیل از تکنولوژی دسترسی چندگانه برای سیستم های RFID استفاده می شود. از قبیل این تکنولوژی ها می توان به زمان بندی دسترسی چندگانه (TDMA), رمزگذاری دسترسی چندگانه (CDMA), مکان یابی دسترسی چندگانه (SDMA) و فرکانس بندی دسترسی چندگانه (FDMA) و همچنین تکنولوژی های ترکیبی اشاره کرد که در ادامه به توضیح مختصری راجع به هر کدام می پردازیم.

۲-۳-۱ زمان بندی دسترسی چندگانه (TDMA)

با این تکنولوژی Reader و تگها میتوانند برای ارتباط از یک فرکانس در محدوده Reader استفاده کنند و پاسخ هر تگ توسط فاصله ی زمانی که استفاده می کند شناسایی می شود. این نوع تکنولوژی محبوب ترین نوع در سیستم های RFID ضد تداخل می باشد که به راحتی می تواند با تکنولوژی های دیگر ترکیب شود. تکنولوژی TDMA به دو دسته تقسیم می شود: طرحهای احتمالی (Probabilistic) و طرحهای قطعی (Deterministic). طرحهای قطعی معمولا به طرح های جستجوی درختی دو دویی (Binary tree-search) نامیده می شوند. در این طرح ها همه ی تگ ها به طور قطع خوانده خواهند شد به دلیل اینکه هر شاخه منجر به برگ نشان دهنده ی یک تگ می باشد و همه ی تگها با جستجوی همه ی شاخه ها شناسایی خواهند شد. در سمت دیگر, طرح های احتمالی به طرح های مبتنی بر slotted ALOHA نامیده می شوند. در این طرح, هر تگ شانس با موفقیت شناسایی شدن را خواهد داشت, اگر چه امکان اینکه چندین تگ به خاطر تداخل شناسایی نشوند هم وجود دارد. غیر از دو نوع گفته شده طرح های ترکیبی نیز ارائه شده است.

به دلیل اینکه جستجوی درختی دودویی یک شاخه را به طور کامل برای بدست آوردن شماره تگ بررسی می کند ، این حالت به طور طبیعی کند می باشد و هر چقدر تعداد تگ ها زیاد تر شود زمان بازیابی همه تگ ها افزایش پیدا می کند . برای کاهش این مشکل طرح های مختلفی ارائه شده است . طرح های درختی نیز به دو دسته اصلی تقسیم می شوند : Binary Tree Walking و Query Tree .

در مقایسه با طرح های جستجوی درختی ، طرح slot ALOHA معمولا تگ ها را سریعتر بررسی می کند . در این طرح راه ارتباطی بین Reader و تگ به شکاف های زمانی زیادی بخش بخش می شود . هر شکاف زمانی می تواند خالی باشد (به این معنی که هیچ تگی در این شکاف زمانی پاسخ دهد) ، تداخل داشته باشد (یعنی چند تگ در این شکاف اطلاعات خود را ارسال کند) ، یا با موفقیت تمام فقط یک تگ اطلاعات را ارسال کند که در نتیجه اطلاعات آن بازیابی می شود . کارایی این طرح به احتمال دریافت موفق در هر شکاف زمانی مربوط می شود . واضح است که نسبت هر شکاف به تعداد تگهای موجود در محدوده Reader بازده سیستم را مشخص می کند . زمانی که تعداد تگهایی ناشناس توسط سیستم از قبل مشخص نباشد ، انتخاب اندازه شکاف مناسب یک عامل مهم برای تعیین کارایی یک سیستم می باشد . همچنین اندازه مناسب شکاف معمولا متغیر است به دلیل اینکه تعداد تگ های خوانده نشده در طول زمان کاهش می یابد ، که یک چالش برای انتخاب مناسب ترین اندازه شکاف را ایجاد می کند .

۲-۳-۲ کدبندی دسترسی چندگانه CDMA

همانطور که پیشتر اشاره شد ، طرح های ضد تداخل مبتنی بر TDMA می توانند فقط یک شماره تگ را در یک شکاف زمانی بازیابی کند . برای افزایش بازده سیستم همراهی تکنولوژی TDMA با تکنولوژی های دیگر ضروری است .

تکنولوژی CDMA به طور وسیعی در بسیاری از سیستم های مخابرات مدرن استفاده می شود. طرح های CDMA به چندین ارتباط اجازه می دهد که در کنار یکدیگر در یک فرکانس و یک زمان حضور داشته باشند. تکنولوژی CDMA معمولاً به دو گروه تقسیم بندی می شود: frequency hopping CDMA (FH-CDMA) و direct sequence spreading CDMA (DS-CDMA). به دلیل اینکه یک تگ غیر فعال نمی تواند فرکانس ارتباطی خود را انتخاب کند و فقط می تواند از سیگنال دریافتی که Reader منتشر کرده استفاده کند، FH-CDMA برای این نوع تگ ها مناسب نمی باشد. اما تکنولوژی DS-CDMA از سیگنال پخش شده به عنوان نشان های از سیگنال منبع استفاده می کند. منابع سیگنال مختلفی می توانند در همزمان سیگنال های خود را ارسال کنند و Receiver می تواند سیگنال های دریافتی را با توجه به نشانه اش جدا کند.

یک تگ غیر فعال می تواند سیگنال مورد نظر را تغییر ضریب انعکاس آنتن خود برای تولید سیگنال مناسب برگشتی ایجاد کند. با استفاده از این کار تگ می تواند به راحتی سیگنال کد شده ی دلخواه را تولید کند.

۲-۳-۳ مکان یابی دسترسی چندگانه SDMA

SDMA نسبتاً تکنولوژی جدیدتری در سیستم های مخابرات مدرن در مقایسه با سه تکنولوژی دیگر می باشد. ساختار SDMA قابلیت تامین یک دسترسی بدون تداخل در کانال بی سیم را دارا می باشد. به این دلیل که در این روش می توان چندین کانال را در حوزه مکانی ایجاد کرد. با این کار ظرفیت کانال در یک فرکانس و یک شکاف زمانی به طور قابل ملاحظه ای افزایش می یابد.

عموماً در یک طرح SDMA کانال های انتقال توسط زاویه ی دریافت از یکدیگر جدا می شوند. در سیستم RFID غیر فعال، این تکنیک بسیار سودمند است به خاطر اینکه به هیچ تغییر فیزیکی در پروتکل ارتباط نیاز ندارد و فقط به آنتن های جهتی نیاز دارد.

مانند روش های CDMA , یک سیستم یکپارچه که از ترکیب TDMA و SDMA تشکیل شود هنوز طرح نشده است . برای مثال اگر تگ ها به طور یکدست در زیر شاخه ها پخش نباشند , اختصاص شکاف زمانی باید به گونه ای که بازده سیستم بهینه باشد طراحی شود .

۲-۳-۴ فرکانس بندی دسترسی چندگانه FDMA

تکنولوژی FDMA به چندین کانال انتقال اجازه ی کار در یک زمان با فرکانس های کار مختلف را می دهد . در یک سیستم RFID غیر فعال , سیگنال توسط Reader در چند فرکانس منتشر می شود تا توان و دستور Reader را به تگ های غیر فعال منتقل کند . یک تگ نه تنها از سیگنال به عنوان تغذیه ی خود استفاده می کند , بلکه از این سیگنال به عنوان سیگنال کریر مدولاسیون برگشتی نیز بهره می برد . بنابراین در این تکنولوژی می توان با جدا کردن فرکانس های مختلف چندین تگ را همزمان بازیابی کرد .

همراهی این تکنولوژی با slotted ALOHA , بازده سیستم را تقریباً دو برابر می کند زیرا شکاف های زمانی بی کار می تواند به طور کامل استفاده شود . اما سیستم هنوز اجازه ی بازیابی یک شماره تگ در یک شکاف زمانی را می دهد . یکی دیگر از معایب این طرح , مسئله ی هزینه می باشد که انتظار می رود با رشد این تکنولوژی به مرور زمان کاهش یابد .

۲-۴ بررسی کامل پروتکل TDMA

الگوریتم های ضد تداخل تگ ها می توانند به دو گروه تقسیم شوند : روش های احتمالی و روش های قطعی . الگوریتم های احتمالی مانند ALOHA , Slotted ALOHA و Frame Slotted ALOHA احتمال رخ دادند داخل تگها را با اجازه دادن به تگ ها برای ارسال شماره سریالشان در زمان مجزا کاهش می دهند . در ALOHA تگها به صورت تصادفی زمان ارسال خود را انتخاب می کنند و در Slotted ALOHA تگ ها فقط در آغاز یک برش زمانی ارسال می کنند که در دوره ی زمانی مشخص است . Frame

Slotted ALOHA که بهترین انتخاب از الگوریتم های احتمالی است ، یک فریم را با تعداد زیادی برش زمانیش پیکربندی می کند . هنگامی که یک تگ ID خود را فقط در یک برش زمانی در هر فریم ارسال می کند . FS ALOHA تداخل را کاهش می دهد . هر چند الگوریتم های احتمالی نمی توانند به طور کامل از تداخل جلوگیری کنند . علاوه بر این اگر تعداد تگ ها مشخص نباشد ، این الگوریتم ها نمی توانند تضمین کنند که همه ی تگ ها در یک دوره ی زمانی مشخص بازیابی شوند. بنابراین یک تگ مشخص ممکن است برای مدت زمان طولانی شناسایی نشود و سبب مشکلی شود که مشکل tag starvation نامیده می شود . برای الگوریتم های قطعی ، ریدر یک دستور درخواست می فرستد که بر اساس ID های تگ ها است تا تگهای در ناحیه بازپرسی پاسخ دهند .

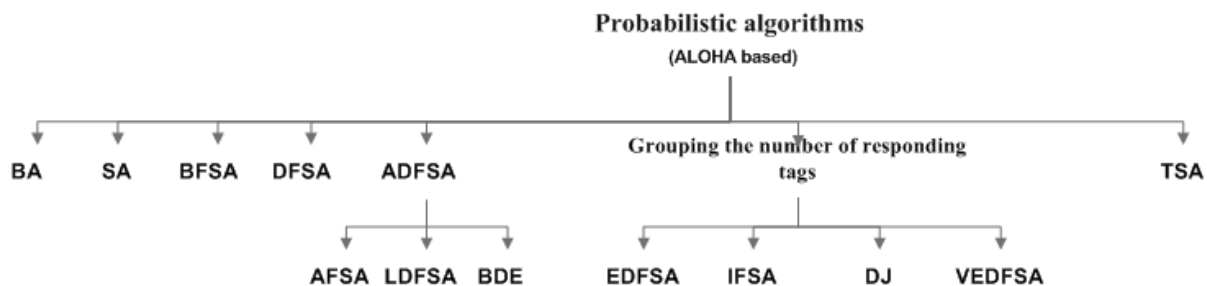
این روش ها بر اساس الگوریتم های ضدتداخل درختی مانند : Binary Tree و Query Tree هستند . در الگوریتم های باینری اگر تداخل رخ دهد ، ریدر گروه تگهای مختل شده را به دو گروه تقسیم می کند تا یک تگ بدونتداخل شناسایی شود . الگوریتم های Binary Tree روش های مختلفی دارد . مثلا سرشماری یک لیست از تگها یا ایجاد برخی تغییرات در الگوریتم جستجوی باینری . در الگوریتم های Query Tree ریدر در هر تکرار ارتباطی یک پیشوند را ارسال می کند و تگ ها در صورت هماهنگ بودن این پیشوند با قسمتی از ID آنها ، ID خود را باز می گردانند . اگر برای یک پیشوند خاص تداخل روی دهد ریدر پاسخ را رد می کند و پیشوند را با یک بیت توسعه می دهد . بازده فرایند شناسایی برای الگوریتم های قطعی می تواند توسط طول و توزیع ID های تگ و تعدادتگ ها تحت تاثیر قرار گیرد .

هر چند این روش ها تداخل را کاهش داده و در مواردی مشکل را حل کرده ، اما این روش ها در کاربرد های عملی به اندازه کافی سریع و پر بازده نمی باشند . از آنجایی که الگوریتم های ضد تداخل تگ بر اساس Tree نرخ بازیابی کامل را بدست می دهد و الگوریتم های ضد تداخل بر اساس SALOHA پیاده سازی ساده و کارایی خوبی برای تعداد کمی از تگ ها را دارن ، برخی تحقیقات بر روی ترکیب این دو الگوریتم تمرکز کرده اند . بنابراین یک روش جدید الگوریتمهای ضد تداخل ایجاد شده که الگوریتمهای Tree –

ALOHA هستند . این الگوریتم ها را می توان الگوریتم های قطعی با کارایی بالا به منظور پروسه ALOHA در نظر گرفت .

۲-۴-۱ الگوریتم های ضد تداخل بر اساس ALOHA

تمام الگوریتم های احتمالی اساساً فرم های اصلاح شده ی الگوریتم ALOHA می باشند . این الگوریتم ها احتمال بروز تداخل را کاهش می دهند , زیرا تگ ها سعی می کنند در زمانهای مجزا پاسخ دهند .



BA=Basic ALOHA Algorithm
 SA=Slotted ALOHA Algorithm
 BFSA= Basic Framed Slotted ALOHA Algorithm
 DFSA= Dynamic Framed Slotted ALOHA Algorithm
 ADFS= Advanced Dynamic Framed Slotted ALOHA Algorithm
 AFSA= Advanced Framed Slotted ALOHA Algorithm
 LDFS= Learning-Based Dynamic Framed Slotted ALOHA Algorithm
 BDE= Binomial Distributing Estimation Algorithm
 EDFSA= Enhanced Dynamic Framed Slotted ALOHA Algorithm
 IFSA= Improved Framed Slotted ALOHA Algorithm
 DJ= Detection and Jump algorithm
 VEDFSA= Variant Enhanced Dynamic Frame Slotted ALOHA Algorithm
 TSA= Tree Slotted ALOHA Algorithm

شکل ۲-۱ : الگوریتم های احتمالی

۲-۴-۲ الگوریتم پایه و Slotted ALOHA

الگوریتم ALOHA ساده ترین نوع الگوریتم ضد تداخل می باشد . ریدر فقط یک دستور درخواست برای تگ ها یی که در ناحیه ی تحت پوشش ریدر قرار دارند ارسال می کند . سپس هر تگ شماره ی ID خود را در یک زمان انتخابی تصادفی ارسال می کند . بنابراین یک احتمال مشخص وجود دارد که در تگ شماره های ID خود را در یک زمان بفرستند و داده آنها با یکدیگر تداخل کند . هر چند اگر فقط یک تگ شماره ID

خود را در زمانی مشخص بفرستد به شناسایی موفق منتهی می شود . در صورتی که تعداد زیادی تگ در میدان ریدر حاضر باشند یا تگ ها حجم زیادی از اطلاعات داشته باشند کارایی این الگوریتم کاهش می یابد . یک امکان برای بهینه کردن کارایی الگوریتم ALOHA , الگوریتم Slotted ALOHA است . در این پروتکل تگ ها فقط در نقاط زمانی همزمان شده ی تعریف شده می توانند شروع به ارسال داده کنند . همزمانی تمام تگ ها باید توسط ریدر کنترل شود .

بنابراین می تواند یک پروتکل ضد تداخل TDMA راه اندازی با ریدر نام گیرد . S ALOHA کارایی بهتری از ALOHA دارد زیرا بین تگ و ریدر همزمانی وجود دارد . علاوه بر این نقاط تعریف شده از زمان که تگ ها پاسخ خود را در آن آغاز می کنند احتمال تداخل را کاهش می دهد . هر چند الگوریتم S ALOHA هنوز این ضعف را دارد که با افزایش تعداد تگ کارایی پایین می آید .

۲-۴-۳ الگوریتم BFS (Basic Frame Slotted ALOHA)

یک فریم یک دوره ی زمانی بین درخواست های یک ریدر است و همچنین شامل تعدادی اسلت می باشد . در الگوریتم BFS در شکل زیر نمایش داده شده است . اندازه فرم در این مثال ۳ اسلات موجود است . در دور اول تگ ۱ و تگ ۵ به صورت همزمان شماره ID خود را در اسلات ۱ می فرستند . تگ های ۲ و ۳ در اسلات ۲ پاسخ می دهند . بدلیل اینکه تگ های ۱ و ۲ و ۳ و ۵ سبب تداخل شده اند , آنها باید در دوره ی خواندن بعدی پاسخ دهند . تگ ۴ در دوره اول می تواند شناسایی می شود زیرا فقط تگ ۴ در اسلات زمانی ۳ پاسخ داده است . در دور دوم , تگ ۱ و تگ ۳ به ترتیب در اسلات ۲ و ۳ شناسایی شده اند هر چند تگ ۲ و ۵ در اسلات ۱ تداخل کردند . بنابراین آنها باید در دور بعدی پاسخ دهند .

Downlink	Request	slot			Request	slot		
		-1-	-2-	-3-		-1-	-2-	-3-
Uplink		Collision	Collision	11110101		Collision	10110010	10110011
Tag 1		10110010					10110010	
Tag 2			10100011			10100011		
Tag 3			10110011					10110011
Tag 4				11110101				
Tag 5		10111010				10111010		

Downlink: Reader to Tags, Uplink: Tags to Reader

شکل : ۲-۲ : نمونه الگوریتم BFSA

گر چه اندازه ی فریم ثابت الگوریتم BFSA موجب پیاده سازی ساده های می شود , عیب آن این است که بازدهی شناسایی تگ کاهش یافته است . برای مثال اگر تعداد زیادی از تگ ها در میدان ریدر قرار داشته باشند , ممکن است در دوره های خواندن هیچ تگی شناسایی نشود و همه ی اسلات ها ممکن است با تداخل پر شوند . همچنین اگر یک اندازه فریم بزرگ استفاده شود , در صورتی که تعداد کمی تگ موجود باشد اتلاف زمانی به وجود می آید .

۲-۴-۴ الگوریتم DFSA (Dynamic Frame Slotted ALOHA)

در این الگوریتم اندازه فریم برای شناسایی بهینه تگ ها تغییر می کند . اندازه فریم می تواند توسط اطلاعاتی از قبیل تعداد اسلات های استفاده شده برای شناسایی تگ , تعداد اسلاتهای تداخل کرده و تعداد اسلات های خالی تعریف شود . پس DFSA می تواند الگوریتم BFSA را که برای شناسایی تگ ها ناکارآمد بود را بهبود بخشد .

الگوریتم DFSA اندازه فریم را با استفاده از اطلاعات دوره ی خواندن قبلی کنترل می کند , برای مثال تعداد اسلات های خالی , اسلات های تداخل یافته و اسلات های موفق (اسلات های پر شده با یک تگ) . اگر احتمال تداخل بیشتر از آستانه ی بالایی باشد , ریدر اندازه ی فریم را افزایش می دهد. در حالی که اگر احتمال کوچکتر از آستانه ی پایینی باشد ریدر فریم را کاهش می دهد . ریدر یک دوره ی خواندن را با حداقل اندازه ی فریم آغاز می کند , بنابراین هنگامی که تعداد تگ ها کم باشد ریدر می تواند تگ ها را به صورت بهینه و بدون افزایش زیاد اندازه ی فریم شناسایی کند . در مورد تعداد زیاد تگ ها ریدر اندازه فریم را به منظور کاهش احتمال تداخل تغییر می دهد .

الگوریتم DFSA از الگوریتم BFSA کاراتر است زیرا ریدر اندازه ی فریم را بر اساس تعداد تگ ها تنظیم می کند . اگر چه تغییر اندازه ی فریم به تنهایی نمی تواند تداخل تگ را در مورد تعداد زیاد تگ ها کاهش دهد زیرا اندازه فریم نمی تواند به طور نامحدود افزایش یابد .

۲-۴-۵ الگوریتم ADFSA(Advanced Dynamic Frame Slotted ALOHA)

الگوریتم AFSA اندازه ی فریم را با برآورد کردن تعداد تگ ها تنظیم می کند . پس کارایی بهتری نسبت به الگوریتم BFSA دارد . توابع برآورد زیادی وجود دارند .

آقای Vogt دو روش برای برآورد تعداد تگ ها ارائه کرده ، روش برآورد اول به وسیله ی مشاهده اینکبه یک تداخل حداقل دو تگ مختلف را درگیر می کند بدست آمده . بنابراین یک حد پایین تر (LB) روی مقدار برآورد تعداد تگها می تواند توسط تابع برآورد ساده ای که در معادله ی ۱ نشان داده شده است بدست می آید :

$$(۱) \quad E = ۲ * \text{تعداد اسلات های تداخل یافته}$$

روش دوم CIILB(Chebyshev Inequality Improved Lower Bound) نامیده می شود و به طریق زیر می تواند بیان شود . نامعادله چبیشف به ما می گوید خروجی یک آزمایش تصادفی یک متغیر تصادفی X در جاهایی نزدیک مقدار مورد انتظار X محتمل تر است . بنابراین یک تابع برآورد متناوب از فواصل بین نتایج خوانده شده که اندازه ی فریم تعداد اسلات های موفق ، تعداد اسلات های تداخل یافته و تعداد اسلات های بی کار و بردار مقدار مورد نظر برای تعریف تعداد تگ ها استفاده می کند تا فاصله در معادله ۲ حداقل شود .

$$\epsilon_{vd}(N, c_0, c_1, c_k) = \min \left| \begin{pmatrix} a_0^{N,n} \\ a_1^{N,n} \\ a_{\geq 2}^{N,n} \end{pmatrix} - \begin{pmatrix} c_0 \\ c_1 \\ c_k \end{pmatrix} \right|$$

معادله (۲)

که در آن N و n به ترتیب اندازه فریم و تعداد تگ ها را نشان می دهند . a_0, a_1 و a_k به ترتیب تعداد موردانتظار اسلات های خالی ، اسلات های پر شده با یک تگ و اسلات های دارای تداخل می باشند .

روش سوم تابع برآورد توزیع دو جمله ای (BDE) است . مقدار درصد تداخل مورد انتظار در N اسلات عبارتند از :

$$E(C) = 1 - \left(1 - \frac{1}{N}\right)^n \left(1 + \frac{n}{N-1}\right)$$

بعد از پایان یک دوره شناسایی ، درصد واقعی تداخل بدست می آید :

$$C = \frac{\text{collision slot number}}{N}$$

از

$$C = 1 - \left(1 - \frac{1}{N}\right)^n \left(1 + \frac{n}{N-1}\right)$$

می توانیم از رابطه ی بالا تعداد تگ ها ، n را پس از هر دوره ی شناسایی برآورد کنیم .

چهارمین روش از حداکثر شرایط توان عملیاتی برای برآورد تعداد تگ ها ی اطراف استفاده می کند.

اگر اسلاتهای تداخل یافته پس از یک دوره را $Coll$ بنامیم :

$$2.3922 * M_{coll} = \text{تعداد تگهای برآورد شده}$$

الگوریتم ADFSا شکل مشابه الگوریتم DFSA دارد که اندازه ی فریم نمی تواند بدون محدودیت افزایش

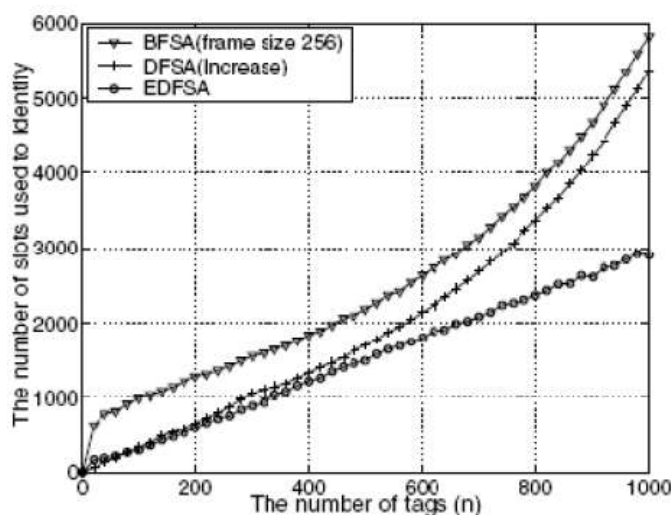
یابد . هنگامی که تعداد تگها زیاد می شود ، بنابراین این الگوریتم هنگامی کارایی خوبی نشان می دهد که

تعداد تگ ها کم باشد . در صورتی که تعداد تگ ها زیاد شود کارایی ضعیفی نشان می دهد .

۲-۴-۶ گروه بندی تعداد تگ های پاسخ دهنده

در سایر الگوریتم های FSALOHA مشکلی وجود دارد این است که به منظور بازدهی حداکثر سیستم اندازه ی فریم نمی تواند بدون محدودیت زیاد شود. این در حالی است که این مشکل با محدود کردن تعداد تگهای پاسخ دهنده به اندازه ای نزدیک به اندازه ی فریم قابل بررسی است. مثلاً الگوریتم EDFSA می تواند این مشکل را گروه بندی تگ های خوانده نشده و با استفاده از رابطه زیر حل کند.

(حداکثر اندازه ی فریم) N / تعداد تگ های خوانده شده M = تعداد گروه ها



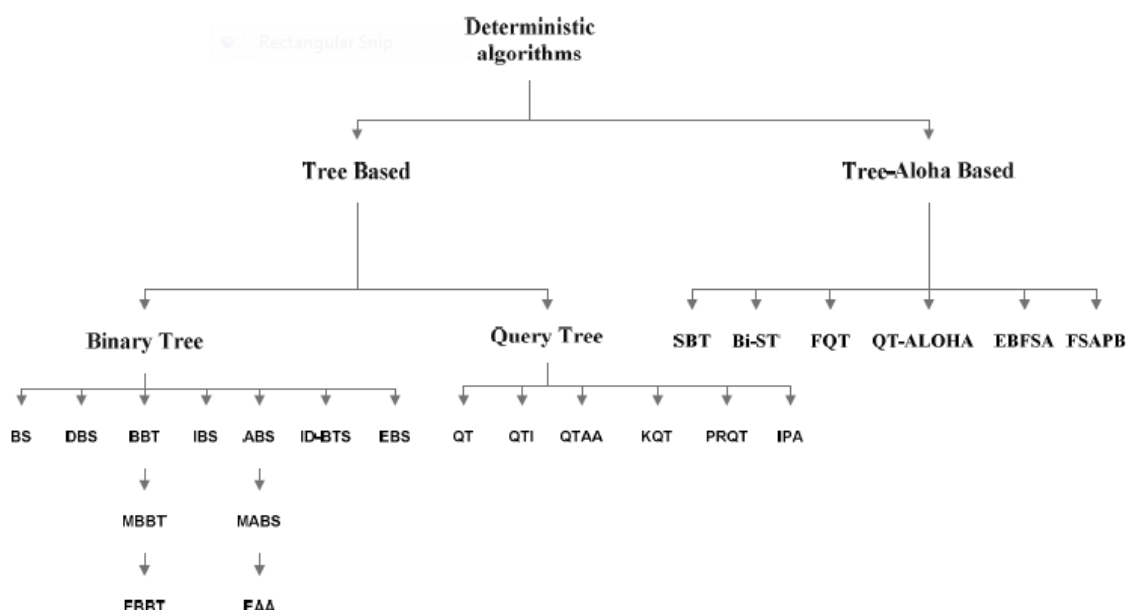
شکل ۲-۳: مقایسه الگوریتم ها

الگوریتم EDFSA کارایی بیشتر ۱۰۰ و ۸۵ درصدی را به ترتیب نسبت به الگوریتم های BFS و DFSA نشان می دهد. کارایی الگوریتم VEDFSA با بهبود راه حل های گروه بندی الگوریتم نسبت به الگوریتم EDFSA بهتر است.

گروه در الگوریتم EDFSA ثابت است و در تمام طول فرایند شناسایی تغییر نمی کند، در حالی که در الگوریتم VEDFSA گروه در تمام طول فرایند شناسایی به طور پویا تغییر خواهد کرد. تگ ها در چندین گروه با هدف کامل شدن کارایی بهینه در هر گروه در دور اول تقسیم شده اند. پس از دور اول خواندن تعدادی از تگ های شناسایی شده از هر گروه کاسته می شود. در دور دوم تگ های خوانده نشده در گروه

های جدید تقسیم می شوند . انتظار می رود هر گروه با بهترین کارایی پر شود . تگ ها در پایان این فرایند شناسایی می شوند .

الگوریتم IFSA راهکار مشابه به الگوریتم EDFSA دارد که تعداد تگهای پاسخ دهنده را برای بدست آوردن کارایی شناسایی عالی محدود می کند ، اما با طرز کاری متفاوت روش IFSA تعداد تگ های پاسخ دهنده را با مقایسه ی یک بخش از شماره شناسایی ID ذخیره شده روی تگ با بیت مقایسه محدود می کند . ریدر بیت مقایسه را برای تگ های حاضر در گستره ی ارتباطی می فرستد . سپس هنگامی که تگ ها این اطلاع را دریافت می کنند بیت مقایسه را با بخشی از ID مقایسه می کنند . بنابراین اگر آن بخش از ID کوچکتر از بیت مقایسه بود ، تگ ها به ریدر پاسخ می دهند .



شکل ۲-۴ : الگوریتم های قطعی

۲-۴-۷ الگوریتم Tree Slotted ALOHA

TSA نسخه ی تغییر یافته ی پروتکل S ALOHA می باشد . در این روش تداخل به محض اتفاق افتادن حل می شود ، بنابراین اگر تداخل در یک اسلات آشکار شود ، ریدر فقط به تگ هایی که در آن اسلات

تداخل کرده اند در دور بعدی درخواست می شوند. دو تگ که در یک فریم تداخل نداشته باشند ممکن است در سایر پروتکل های F S ALOHA در فریم بعدی با هم تداخل کنند.

۲-۴-۸ الگوریتم های مبتنی بر درختی

بیشتر الگوریتم های مبتنی بر درخت، اساساً فرم های تغییر یافته ی الگوریتم های Query و باینری هستند.

۲-۴-۹ الگوریتم های درختی باینری

در الگوریتم جستجوی باینری تداخل می تواند با کاهش تدریجی بیت های تداخل یافته در شماره سریال تگ ها کاهش یابد. ریدر می تواند موقعیت بیت تداخل یافته را با استفاده از کدینگ دلخواه آشکار کند. برای مثال، کد منچستر این امکان را می دهد تا تداخل را تا رسیدن به یک بیت مشخص ردیابی کرد. در این رمزنگاری بیت، مقدار بیت می تواند به وسیله ی روش ارسال تعیین شود. اگر ارسال مثبت است به این معنی است که منطق یک است. عدم ارسال به این معنی است که خطایی رخ داده. اگر بیش از یک تگ همزمان بیت هایی با مقادیر مختلف ارسال کنند ارسال مثبت، ارسال منفی بیت های دریافتی را خنثی می کند. بنابراین ارسالی آشکار نمی شود و این به یک خطا منجر می شود. از این رو تداخل در بیت مشخصی می تواند ردیابی شود.

الگوریتم BS تگهای پاسخ دهنده را به دو گروه تقسیم می کند. این الگوریتم به تگ ها اجازه می دهد که بیت تداخل اول ۰ را برای پاسخ داشته باشند. برای دور بعدی، در حالی که به تگ های با اولین بیت تداخل ۱ پاسخ نمی دهند. فرض کنید در ناحیه تحت پوشش ریدر چهار تگ وجود دارد.

در شروع ریدر درخواست می دهد که تگ هایی که شماره سریال هایی کوچکتر یا مساوی 11111111 b دارند پاسخ می دهند. از آنجا که 11111111 b بزرگترین شماره سریال است. همه ی تگ ها با ارسال شماره سریال خود در اولین تکرار به ریدر پاسخ می دهند. تداخلی در شماره سریال دریافتی در بیت ۰،

بیت ۴ و بیت ۶ رخ داده است . بنابراین در گستره ی خواندن ۸ تا یا تعداد کمتری تگ قرار دارد . بیت ۶ بالاترین بیت تداخل یافته است و به این معنی است که حداقل یک تگ شمارسریال کوچکتر از ۱۰۱۱۱۱۱۱ دارد . پس به منظور محدود کردن تعداد تگ های پاسخ دهنده ، ریدر در تکرار بعدی درخواست جدیدی برای تگ هایی که شرط ($10111111b$) را دارند ارسال می کند . در این مثال شماره سریال دریافتی در بیت ۰ و بیت ۴ تداخل خواهد داشت . از اینرو فرایند تکرار خواهد شد . ریدر به تگ هایی که شماره سریال های کوچکتر یا مساوی $10101111b$ دارند درخواست خواهد داد . فقط تگ ۲ در این تکرار قرار دارد (تکرار سوم) . سپس ریدر تگ ۲ را انتخاب و ارتباط را آغاز می کند . با تکرار این فرایند ها ، همه ی تگ ها می توانند توسط ریدر شناسایی شوند . الگوریتم جداسازی پرس و جوی سازگار Adaptive Query Splitting که مبتنی بر الگوریتم درختی باینری است .

۲-۴-۱۰ الگوریتم های Query Tree

در الگوریتم QT ریدر یک پیشوند را مخابره می کند و تگ های اطراف آن پاسخ می دهند . اگر یک تداخل رخ دهد ، ریدر درخواست خود را با پیشوندی با یک بیت بلند تر ارسال می کند تا هیچ تداخلی آشکار نشود . دور توسط زیدر خاتمه می یابد و دور جدیدی از درخواست ها با پیشوند دیگری آغاز می شود تا یک تگ شناسایی شود . الگوریتم QT پیشرفته (QTI) یک فرم تغییر یافته ی الگوریتم QT است . الگوریتم QTI از درخواست هایی که واقعا به تداخل منجر خواهد شد جلوگیری میکند . به عنوان مثال فرض کنید که یک پرس و جو با پیشوند q یک تداخل تولید کرده و پرس و جو با پیشوند $q0$ یک اسلات خالی ایجاد کرده است . سپس ریدر از پرس و جوی $q1$ خودداری می کند و فقط پرس و جوی $q10$ و $q11$ را انجام می دهد .

الگوریتم پیشرفته تهاجمی QT (QTAA) از درخت چهارگانه استفاده می کند نه درخت باینری . برای مثال فرض کنید که پرس و جو با پیشوند q به تداخل منتهی شود ریدر ۴ پرس و جوی $q00$, $q01$, $q10$ و $q11$ را ایجاد می کند .

الگوریتم های QT از مزیت بدون حافظه بودن برخوردارند زیرا تگ به حافظه اضافی جز آنچه برای ذخیره ID لازم است، احتیاج ندارد. بنابراین تگ هایی با عملکرد پایین تر و ارزانتر می طلبد. هر چند به دلیل استفاده از پیشوند کارایی این الگوریتم ها به توزیع ID تگ ها محسوس است. الگوریتم تصادفی QT(PRQT) با الگوریتم معمولی QT در استفاده از پیشوند های انتخاب شده به صورت تصادفی توسط تگ ها به جای استفاده از پیشوند های مبتنی بر ID همانطور که در QT استفاده می شود متفاوت است. در نتیجه طول و توزیع HD تگ ها دیگر بر روی زمان شناسایی PRQT اثر نمی گذارد.

۲-۴-۱۱ الگوریتم های مبتنی بر Tree – ALOHA

کارایی در مسئله ی تداخل تگ ها معمولا به عنوان بازدهی سیستم که اساسا نسبت بین تعداد تگ های مورد شناسایی و تعداد پرس و جو ها یا اسلات های زمانی استفاده شده در سراسر فرایند شناسایی است اندازه گیری می شود. تمام الگوریتم هایی که در بخش های قبلی مرور شد کارایی متوسطی زیر 50 % نشان می دهند. در حقیقت کارا ترین الگوریتم ها یعنی QT و TSA به سور متوسط حدود 40 درصد ظرفیت سیستم را در بهترین کارایی خود بدست می دهند.

کارایی پایین الگوریتم ALOHA به دلیل مشکل Tag Starvation است که پیش از این ارائه شد. زمان شناسایی طولانی در الگوریتم های ضد تداخل بر اساس درخت ویژگی ذاتی روش است و مخصوصا با تعداد زیاد تگهای با طول ID زیاد ظاهر می شود. از طرف دیگر الگوریتم های ضد تداخل تگ RFID بر اساس درختی، نرخ کامل خواندن را بدست می دهند و الگوریتم های ضد تداخل بر اساس ALOHA پیاده سازی ساده و کارایی خوبی را برای تعداد کمی از تگ ها بدست می دهد. بنابراین ترکیب هر دو روش و بهره مندی از مزایای آنها می تواند به کارایی بهتر منجر شود.

۲-۴-۱۲ الگوریتم Slotted Binary Tree

این الگوریتم تداخل را در همان زمان بروز رفع می کند، هنگامی که یک تداخل در اسلات i رخ دهد. تمام تگ ها که در اسلات تداخل یافته ی i پاسخ نداده اند منتظر می مانند تا تداخل بررسی شود، سپس ریدر از

تگ هایی که در تداخل گرفتار شده اند درخواست می کند که به صورت اتفاقی گروه صفر یا گروه یک را انتخاب کنند. تگ هایی که گروه صفر را انتخاب کرده اند در اسلات $i+1$ پاسخ می دهند در حالی که تگ های گروه دیگر منتظر می مانند تا تمام تگ های موجود در گروه صفر با موفقیت شناسایی شوند. اگر اسلات $i+1$ بی کار باشد یا اسلات موفق باشد، تگ های گروه ۱ در اسلات $i+2$ پاسخ می دهند. در غیر این صورت تداخل وجود دارد؛ برای رفع تداخل جدید روند مشابهی تکرار می شود.

اگر n تگ در منطقه ی تحت پوشش ریدر وجود داشته باشد، تکرار الگوریتم SBT (lsbt) توسط فرمول زیر می تواند محاسبه شود:

$$I_{SBT} = 1 + \sum_{k=2}^n \binom{n}{k} \frac{2(k-1)(-1)^k}{[1-p^k - (1-p)^k]}$$

۲-۴-۱۳ الگوریتم ضد تداخل مبتنی بر Bi-slotted tree

الگوریتم های مبتنی بر Bi-slotted tree که در این بخش توضیح داده خواهند شد، الگوریتم های درخت پرس و جوی دو اسلاتی (BSQTA) و الگوریتم درخت ردیابی تداخل دو اسلاتی (BSCTTA) هستند.

جنبه ی اصلی این الگوریتم ها این است که آن ها بیت هایی در دو دسته ی با طول n ارسال می کنند که $n-1$ بیت مشابه دارند و بیت آخر متفاوت است. گام های زیر فرآیند شناسایی این دو الگوریتم را نشان می دهند:

۱- درخواست: ریدر پیشوندی با طول $n-1$ مخابره می کند.

۲- گروه بندی: تگ های موجود در ناحیه ی تحت پوشش ریدر اگر پیشوند با $n-1$ بیت اول ID آن ها مطابقت داشته باشد پاسخ می دهند. این تگ ها بسته به بیت n ام در یکی از دو اسلات زمانی پاسخ می دهند. اگر بیت n ام ۰ باشد تگ ها اسلات اول و اگر ۱ باشد اسلات دوم را انتخاب میکنند.

بنابراین اسلات انتخاب شده مقدار بیت n ام را نشان می دهد.

• BSQTA: تگ ما ID های خود را از بیت $n+1$ ام تا بیت پایانی ارسال می کنند.

• **BSCTTA** : تگ ما IDهای خود را از بیت $n+1$ ام تا زمانی که آنها علامت ACK را

دریافت کنند ارسال می کنند ، که این علامت می گوید تداخلی از ریدر وجود ندارد.

۳- تصمیم گیری:

• اگر تداخل رخ داد ، ریدر یک پیشوند جدید در (LIFO) ذخیره می کند.

BSQTA.i : اتصال پیشوند $n-1$ بیتی و تشریح اسلات انتخاب شده و بیت های دریافت

شده قبل از رخ دادن تداخل.

• اگر آخرین بیت تداخل یافته است ، ریدر در نظر می گیرد که دو تگ وجود دارد.

• اگر تداخلی وجود ندارد ، تگ توسط ریدر شناسایی می شود.

۴- گام ها تا زمانی که LIFO خالی شود تکرار می شود.

با استفاده از **BSQTA** و **BSCTTA** در مجموع متوسط پیشوندهای مورد نیاز نسبت به الگوریتم های

مبتنی بر درخت **CTTA** و **QTA** به نیم سر جمع پیشوندها کاهش می یابد. مشکل کارایی بهتر

BSQTA و **BSCTTA** از سایر الگوریتم های ضد تداخل مبتنی بر درختی را نشان می دهد.

در مقایسه بین **BSQTA** و **QTA** متوسط پیشوند مورد نیاز در **BSQTA** تقریباً به ۵۰٪ پیشوندهای

مورد نیاز در **QTA** کاهش یافته ، در حالی که تغییری در سطح متوسط بیت های پاسخ مورد نیاز برای

شناسایی یک تگ وجود ندارد. بنابراین بیت های کمتری در **BSQTA** برای شناسایی یک تگ نسبت به

QTA نیاز است. علاوه بر این تفاوت کارایی بین **BSQTA** و **QTA** در تعداد بیت های مورد نیاز برای

شناسایی یک تگ ، هنگامی که تعداد تگ ها افزوده می شود افزایش می یابد. همچنین به منظور ارزیابی

کارایی سیستم با استفاده از معیاری دیگر ، تعداد تکرار برای شناسایی یک تگ اندازه گیری شده است.

BSQTA بهتر از **QTA** در هر دو مورد متوسط بیت های مورد نیاز و متوسط تکرارهای مورد نیاز برای

شناسایی یک تگ عمل می کند.

الگوی مشابهی در مقایسه ی BSCTTA و CTTA وجود دارد. BSCTTA نسبت به CTTA در بیت های مورد نیاز برای شناسایی یک تگ کارایی بهتری بدست می آید.

متوسط پیشوندهای مورد نیاز در BSCTTA حدودا به نیمی از پیشوندهای مورد نیاز در CTTA کاهش یافته ، در حالی که تغییری در متوسط بیت های پاسخ مورد نیاز برای شناسایی یک تگ بوجود نیامده بنابراین در BSCTTA نسبت به CTTA بیت های کنترلی برای شناسایی یک تگ نیاز است. علاوه بر این BSCTTA به نیمی از تعداد تکررهای CTTA نیاز دارد.

روشن است که BSCTTA و BSQTA در فرآیند شناسایی به ترتیب از QTA و CTTA سریعتر عمل می کنند.

۲-۴-۱۴ الگوریتم درخت پرس و جوی قاب بندی شده (FQT) framed query true

در این الگوریتم تگ ها بصورت اتفاقی به دو دسته ی فریم تقسیم بندی می شوند. الگوریتم QT برای شناسایی تگ های درون هر دسته استفاده می شود. فرآیند الگوریتم FQT در زیر شرح داده شده است.

در آغاز فرآیند شناسایی ، ریدر یک درخواست برای ID به تمام تگ های در منطقه ی تحت پوشش ریدر ارسال می کند. این درخواست شامل اندازه ی یک دوره است که تعداد کل فریم ها است (شکل ۱۳ را ببینید). سپس هر تگ به صورت اتفاقی یک فریم را انتخاب می کند و فقط هنگامی که ریدر فریم خود را مورد پرس و جو قرار می دهد پاسخ می دهد. در درون هر فریم ریدر از الگوریتم QT برای شناسایی تگ های این فریم استفاده می کند. بنابراین اندازه ی دوره را مانند پیشوند ID به تگ ها می فرستد. اگر فریم انتخابی مشابه آنچه فرستاده شده باشد ، تگ ID با پیشوند مطابقت داده شده خود را پاسخ می دهد (الگوریتم QT). هنگامی که تمام تگ های داخل فریم شناسایی شدند ، ریدر با فریم بعدی ادامه می دهد. فرآیند بالا برای تمام فریم ها تکرار می شود. شکل ۱۳ یک مثال از فرآیند شناسایی الگوریتم FQT را هنگامی که تعداد تگ های در اطراف ۸ و تعداد فریم ها ۴ باشد ، نشان می دهد.

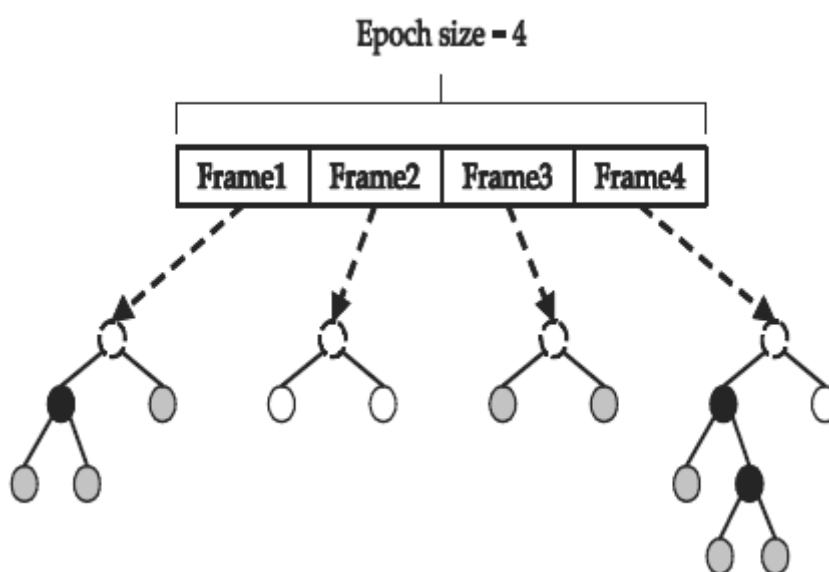
برای افزایش کارایی الگوریتم FQT یک اندازه‌ی دوره‌ی مناسب باید تعیین شود.

الگوریتم QT بهترین کارایی را زمانی دارد که عمق درخت از ۲ تجاوز نکند. (فریم ۳ در شکل ۱۳)

هنگامی که تعداد تگ‌های مورد شناسایی N است و اندازه‌ی دوره ES است. ES ایده‌آل می‌تواند از رابطه‌ی

زیر تعیین شود.

$$N=2*ES \quad (9)$$



شکل ۲-۵: نمونه الگوریتم FQT

این در حالی است که تعیین اندازه‌ی دوره‌ی مناسب، در آغاز فرآیند شناسایی بدلیل نامعین بودن N دشوار

است. بنابراین الگوریتم نهایی FQT از FFT (first frame test) استفاده می‌کند. FFT فرآیند را از تعداد

کمی از فریم‌ها آغاز می‌کند و اگر تداخل در فریم اول از یک آستانه‌ی تداخل تجاوز کند، FFT اندازه‌ی دوره

را افزایش می‌دهد همانطور که اشاره شد تمام تگ‌ها بصورت اتفاقی در فریم‌ها تقسیم می‌شوند. اگر تعداد

زیادی تداخل در فریم اول وجود داشته باشد، به احتمال زیاد سائز فریم‌ها هم هم شرایط مشابهی دارند.

فریم ۳ در شکل ۱۳ بهترین کارایی الگوریتم را هنگامی که تعداد تگ‌ها ۲ تا و با عمق ۱ است نشان می‌دهد.

بنابراین به منظور محافظت درخت از عمیق‌تر شدن بیش از این آستانه‌ای لازم است.

۲-۴-۱۵ الگوریتم (QT-ALOHA)

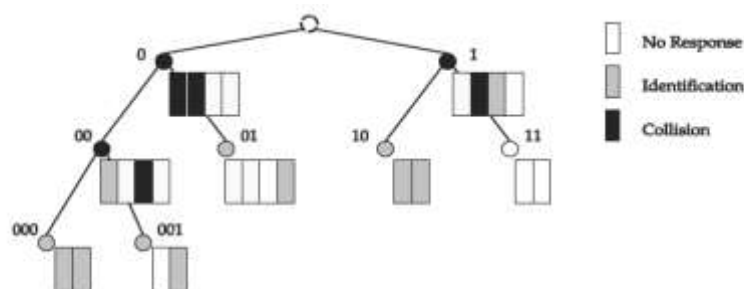
الگوریتم QT-ALOHA ترکیبی از الگوریتم FS-ALOHA و الگوریتم QT است.

الگوریتم FQT اساسا الگوریتم FS-ALOHA را می سازد و در حقیقت از الگوریتم QT بعنوان فرآیند اصلی شناسایی استفاده می کند. با این حال الگوریتم QT-ALOHA از الگوریتم FS-ALOHA به عنوان فرآیند شناسایی تگ حقیقی استفاده می کند و الگوریتم QT به عنوان یک تصویر بزرگ فرآیند الگوریتم QT-ALOHA در ادامه توضیح داده می شود.

در آغاز فرآیند ، ریدر درخواستی شامل یک پیشوند و یک اندازه ی فریم را با یکدیگر می فرستد. سپس تنها تگ های با ID قابل تطبیق با الگوریتم FS-ALOHA عمل می کنند و در اندازه ی فریم فرستاده شده پاسخ می دهند. در حین اجرای الگوریتم FS-ALOHA اگر تداخلی حتی در یک اسلات رخ دهد ، بهنوع یک تداخل الگوریتم QT در نظر گرفته می شود. بنابراین یک پیشوند جدید تولید شده و به صف اضافه می شود. مثال در شکل ۱۴ فرآیند الگوریتم QT-ALOHA را نشان می دهد. در این مثال فرض شده تعداد تگ هایی که باید شناسایی شوند ۸ و اندازه ی فریم اولیه از ۴ شروع می شود. جدول در شکل ۱۴ باقی فرآیند را نشان می دهد.

شکل ۱۵ و ۱۶ نشان می دهد که الگوریتم FQT به صورت خاص افزایش کارایی زیادی را به تصویر می کشد. شکل ۱۵ نشان می دهد که چند پرس و جو و پاسخ برای شناسایی موفق یک تگ نیاز است. در مقایسه ی بین الگوریتم ها ، FQT بهترین کارایی را نسبت به سایر الگوریتم ها را نشان می دهد که در حدود ۱۰ تا ۵۰ درصد از زمان بسیاری دیگر از الگوریتم های ضد تداخل موجود است.

شکل ۲-۶ :



Query	0	1	00	01	10	11	000	001
Frame Size	4	4	4	4	2	2	2	2
Response	collision	collision	collision	identified	identified	no res.	identified	identified

نمونه QT ALOHA

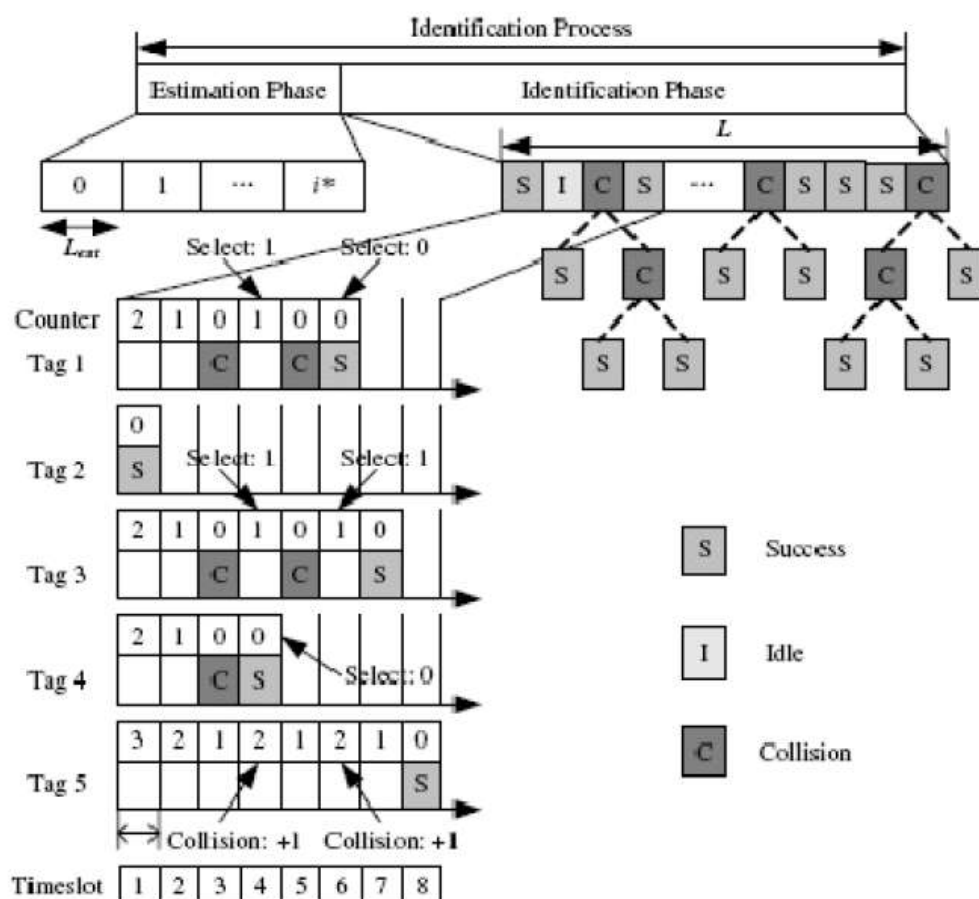
۲-۴-۱۶ الگوریتم FS-ALOHA با برآورد تگ و جداسازی (EBFSA)

EBFSA دو فاز دارد: فاز برآورد و فاز شناسایی. ریدر تعداد تگ های در همسایگی در فاز برآورد را برآورد می کند و تگ ها IDهای خود را در خلال فاصله ی زمانی فریم در فاز شناسایی می فرستند. فاز برآورد ، برآورد تگ را با (DFSA) هدایت می کند و از اندازه ی فریم ثابت L_{est} استفاده می کند. (شکل ۱۷ را ببینید).

اگر احتمال تداخل بیش از آستانه ی $P_{coll-th}$ باشد ، اندازه ی فریم توسط ماسک بیت در یک فریم پرس و جو با ضریبی از F_d کاهش می یابد. این فرآیند تا هنگامی که احتمال تداخل P_{coll} از $P_{coll-th}$ کمتر شود تکرار می شود. سپس تعداد تگ ها ، n ، از P_{coll} و $L_c = L_{est}$ یا استفاده از معادله ی ۱۰ برآورده می شود.

$$P_{coll} = 1 - P_{idle} - P_{succ} = 1 - \left(1 - \frac{1}{LC}\right)^n - n \frac{1}{LC} \left(1 - \frac{1}{LC}\right)^{n-1}$$

در این الگوریتم روش برآورد تگ می تواند صرف نظر از اندازه ی فریم اولیه و تعداد واقعی تگ های مورد شناسایی محاسبه می شود. پس از آن فاز شناسایی آغاز می شود. هر تگ به طور اتفاقی یک مقدار شمارنده را انتخاب می کند. سپس ریدر ، اندازه ی فریم بهینه (L) را بسته به تعداد تگ های برآورده شده در فاز برآورد تعیین می کند.



شکل ۲-۷: نمونه ی الگوریتم EBFS

پس از آن که هر تگ بصورت اتفاقی یک تعداد شمارنده را انتخاب کرده در هر اسلات زمانی تگ مقدار شمارنده ی متفاوتی دارد. تگ برای هر اسلات زمانی مقدار شمارنده ی خود را یکی کاهش می دهد. تگ ID خود را تا زمانی که شمارنده ی آن بار دیگر صفر شود ارسال می کند. اگر تداخلی موجود باشد، الگوریتم با انتخاب باینری با تداخل رفتار می کند. بنابراین تگ های تداخل یافته مقدار شمارنده های خود را بصورت اتفاقی از میان ۰ و ۱ انتخاب می کنند.

این در حالی است که سایر تگ ها شمارنده ی خود را یک واحد افزایش می دهند، بعنوان مثال شکل ۱۷ نشان می دهد که تگ های ۱ و ۲ و ۴ در اسلات زمانی ۳ تداخل کرده اند و برای مقابله با این شکل، آن ها ۰ یا ۱ را بطور اتفاقی انتخاب می کنند و تگ ۵ شمارنده ی خود را ۱ واحد اضافه می کند. در اسلات زمانی ۴، تگ

۴ با موفقیت شناسایی شده ، چرا که شمارنده ی آن صفر است. فرآیندهای مشابهی ادامه می یابد تا همه ی تگ ها با موفقیت شناسایی شوند .

در الگوریتم DFSA بسیاری از فریم ها به هدر می روند ، زیرا تگ های تداخل یافته ID های خود را به منظور حل مشکل تداخل در چندین فریم می فرستند. این در حالی است که در الگوریتم EB-FSA ، اندازه ی فریم بطور صحیح در فاز برآورد تعیین شده است و توسط جداسازی باینری بدون ایجاد فریم های بیشتر در فاز شناسایی با تداخل رفتار شده است. بنابراین فرآیند شناسایی در الگوریتم EB-FSA سریع است.

همانطور که در شکل ۱۸ نشان داده شده ، EB-FSA از ۲۴۳۳ اسلات استفاده میکند که ۱۰.۲٪ کوچکتر از DFSA (۲۷۰۹ اسلات) و ۱۵.۲٪ کوچکتر از الگوریتم درخت باینری (۲۸۶۹ اسلات) است.

۲-۴-۱۷ الگوریتم FSA با فریم راهنما و انتخاب باینری (FSAPB)

در الگوریتم FSAPB ، از معادله ی ۱۰ برای برآورد تعداد تگ ها استفاده می شود.

در آغاز تگ های پاسخ دهنده به وسیله ی ماسک های بیت به منظور کاهش تعداد اسلات های زمانی به M زیرگروه تقسیم می شوند. سپس فریم راهنما (LP) فقط با زیر گروه اول استفاده می شود. سایر زیرگروه ها تعداد تگ هایی که از LP استفاده نمی کنند را تعیین می کنند. ریدر یک اسلات زمانی اضافی در انتهای LP برای رفع تداخل های رخ داده در LP ایجاد می کند. الگوریتم FSAPB می تواند در درون دسته هایی با احتمال تداخل کم و زیاد گروه تبدیل می شود. تمام تگ ها ID های خود را در LP می فرستند. سپس هنگامی که LP پر شده است ، P_{coll} محاسبه شده و با آستانه ی P_{th} مقایسه می شود.

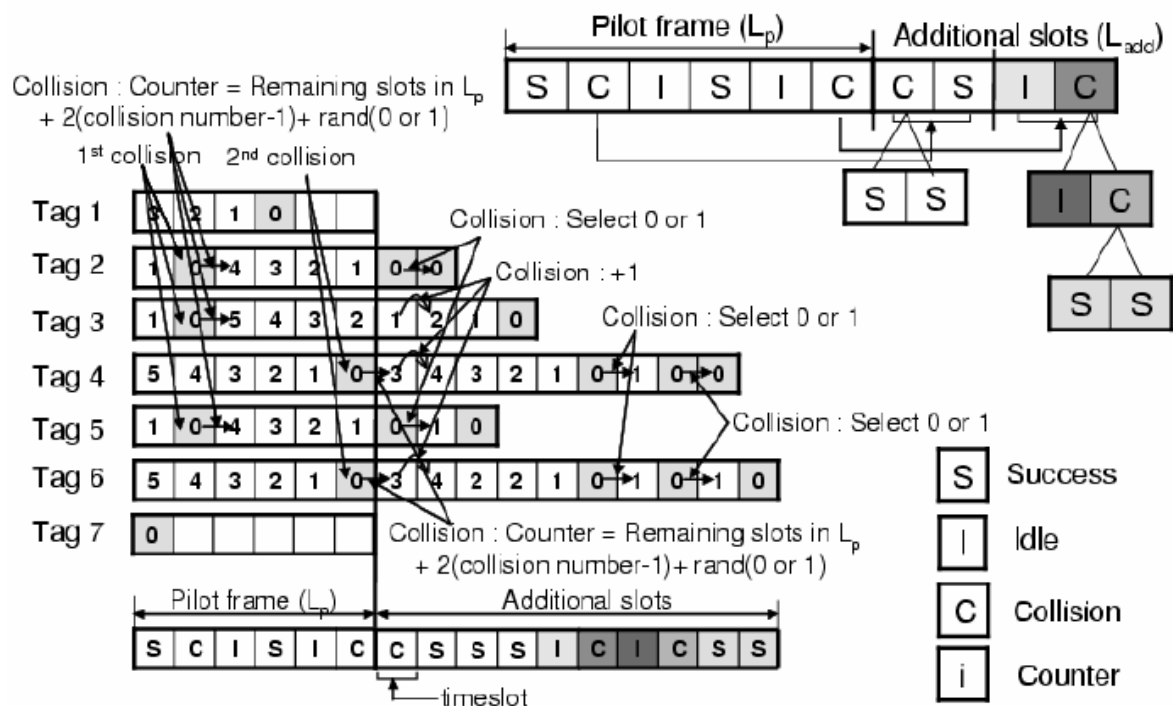
در شرایط احتمال کم تداخل ، P_{coll} کو چکتر از P_{th} است ، الگوریتم درخت باینری و اسلات زمانی اضافه ی L_{add} استفاده می شود.

شکل ۱۹ یک مثال از حالت تداخل کم را نشان می دهد. تگ ها هنگامی که شمارنده هایشان صفر شود ،

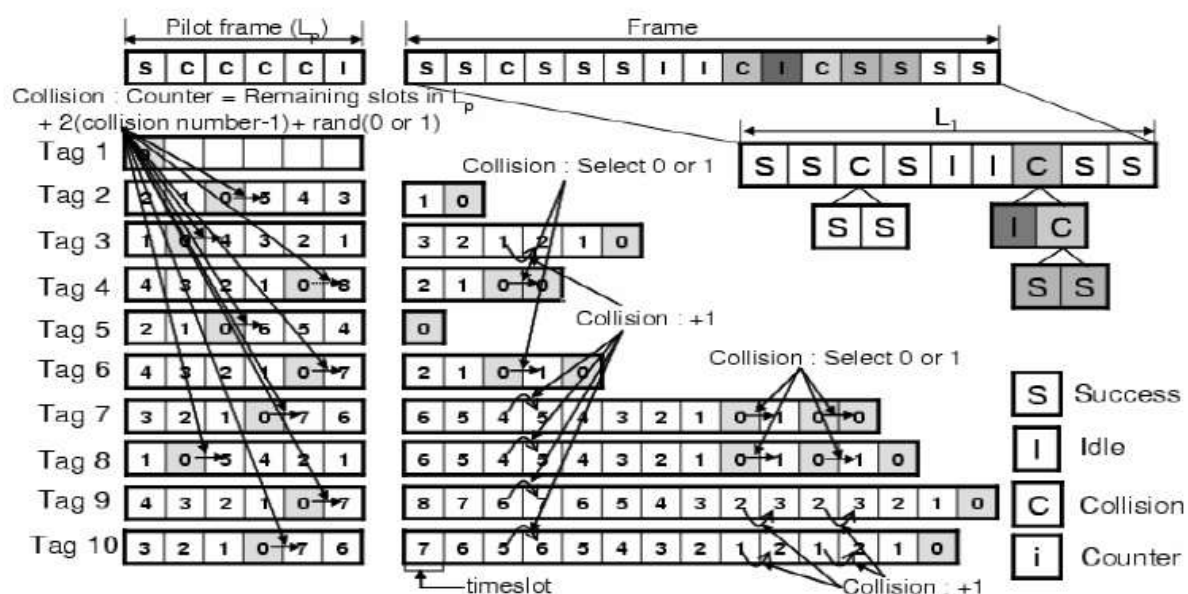
ID های خود را می فرستند ، تگ ۱ و تگ ۷ با موفقیت در LP شناسایی شده اند. تگ های ۲ و ۳ و ۵ در LP

تداخل کرده‌اند. بنابراین دو اسلات زمانی اضافه به LP اضافه شده است و آن تگ‌ها در طول L_{add} با الگوریتم درخت باینری عمل می‌کنند.

تگ ۲ و ۵ دوباره در L_{add} تداخل کرده‌اند. آن‌ها از الگوریتم درخت باینری استفاده می‌کنند و سایر تگ‌ها شمارنده‌ی خود را ۱ واحد افزایش می‌دهند.



شکل ۲-۸: نمونه الگوریتم FSAPB، وقتی P_{coll} کمتر از P_{th} باشد



شکل ۲-۹: نمونه الگوریتم FSAPB، وقتی P_{coll} بیشتر از P_{th} باشد

در احتمال تداخل زیاد هنگامی که P_{coll} بزرگتر از P_{th} است. بیشتر اسلات های زمانی L_p ، احتمال بیشتری دارد که تداخل داشته باشند زیرا تعداد تگ ها زیاد است.

پس برای شناسایی تگ یک فریم جدید L_1 استفاده شده است. اندازه ی L_1 می تواند با حداقل n که با معادله ی ۱۰ هماهنگی دارد تنظیم شود.

شکل ۲۰ یک مثال از احتمال تداخل زیاد در الگوریتم FSAPB را نشان می دهد، تگ های تداخل یافته در $L_p ID$ های خود را در L_1 دوباره می فرستد. تگ های ۴ و ۶ در اسلات زمانی ۳ تداخل کرده اند و سایر تگ ها در L_1 شمارنده ی خود را یک واحد افزایش می دهند. این فرآیند برای سایر اسلات های زمانی تکرار می شود.

تعداد تگ ها پس از اینکه تگ های موجود در زیر گروه اول شناسایی شدند می توانند تعیین شوند، زیرا ماسک بیت تگ ها را بصورت یکنواخت جدا می کند. اندازه ی فریم مناسب زیرگروه جاری برابر است با تعداد تگ های شناسایی شده در زیر گروه قبلی ضربدر یک ثابت (r) تا هنگامی که یک اندازه ی فریم مناسب تعیین شود. الگوریتم درخت باینری اعمال می شود.

در الگوریتم DFSA اندازهی فریم بهینه با تعداد تگها برابر است. درحالی که اندازهی فریم بهینه در الگوریتم FSAPB با تعداد تگها برابر نیست (شکل ۲۱ را ببینید). بنابراین معادلهی زیر برای محاسبهی اندازهی فریم بهینهی جدید L_{opt} مورد استفاده قرار می گیرد.

$$T = \sum_{k=0}^n nC_k \left(\frac{1}{L_{opt}}\right)^k \left(1 - \frac{1}{L_{opt}}\right)^{n-k} L_{opt} (\alpha_k + 1) \quad (11)$$

که در آن T ، n و k به ترتیب، تعداد کل اسلاتهای زمانی، تعداد تگها و تعداد تگهای ارسال شده در یک اسلات زمانی است. علاوه بر این α_k متوسط تعداد اسلاتهای زمانی استفاده شده توسط درخت باینری را هنگامی که تداخل رخ می دهد نشان می دهد. اندازهی فریم بهینه برای n های مختلف با مشتق گیری از معادلهی ۱۱ تعیین می شود.

L_{opt} از شکل ۲۲ می تواند $0.88n$ تعیین شود.

شکل ۲۳ تعداد اسلاتهای زمانی هدر رفته برای برآورد تگ را برای تعداد مختلف تگها نشان می دهد. می توان دید که FSAPB از اسلاتهای زمانی کمتری نسبت به EBFSا برای برآورد تگها نشان می کند. هنگامی که تعداد تگها، n ، کمتر از ۲۰۰ است، P_{coll} در L_p کمتر از آستانه است. بنابراین ریدر از L_{add} استفاده می کند، که به دلیل تعداد کم تگها در L_p به خوبی توسط الگوریتم باینری انجام می شود. در حالی که تعداد تگها از ۳۰۰ به ۱۰۰۰ عدد تغییر می کند، به خاطر تعداد تداخل زیاد در L_p از L_1 به جای L_{add} برای شناسایی تگ استفاده می شود. بنابراین FSAPB اسلات زمانی بیشتری نسبت به L_p استفاده نمی کند. در حالی که EBFSا هنگامی که تعداد تگها زیاد است به تعداد زیادی اسلات زمانی احتیاج دارد، هنگامی که $n=1000$ ، EBFSا ۵.۵ برابر FSAPB اسلات زمانی احتیاج دارد.

با مقایسهی FSAPB با الگوریتم مبتنی بر ALOHA و درخت باینری شکل ۲۴ تعداد اسلاتهای زمانی استفاده شده برای شناسایی تگها را به ازای تعداد متفاوت تگها نشان می دهد. به ازای تعداد تگها، بیشتر

الگوریتم‌ها تقریباً کارایی مشابهی دارند. در حالی که با افزایش تعداد تگ‌ها FSAPB بهترین کارایی را نسبت به سایر الگوریتم‌ها بدست می‌آید. با در نظر گرفتن ۱۰۰۰ تگ ، EBFSa ، DFSA و درخت باینری ، اسلات‌های بیشتری در حدود ۷.۳٪ ، ۱۴.۲٪ و ۲۱.۹٪ به ترتیب نسبت به FSAPB استفاده می‌کنند.

فصل سوم

بررسی استاندارد ISO/IEC 14443

مقدمه

در این فصل به توضیح و تفسیر استاندارد ISO/IEC 14443 نوع A می پردازیم . این استاندارد به چهار بخش تقسیم می شود که در هر بخش به شرح قسمتی از این استاندارد می پردازیم . در بخش اول به تفسیر ویژگی های فیزیکی کارت ها و ریدر می پردازیم . در بخش دوم توان فرکانس رادیویی و سیگنال ارتباطی بین ریدر و کارت را مورد بررسی قرار می دهیم . در بخش سوم به بررسی راه اندازی این پروتکل و همچنین به قسمت ضد تداخل می پردازیم . در بخش آخر نیز به فعال سازی و غیر فعال سازی این پروتکل PICC نوع A می پردازیم .

استاندارد 14443-1

کارت های شناسایی – مدارات مجتمع کارت های بدون تماس – کارت های نزدیک

قسمت اول : ویژگی های فیزیکی

معرفی :

ISO/IEC 14443 یکی از استاندارد های بین المللی هست که به تفسیر پارامترهای کارت های شناسایی و استفاده آنها می پردازد .

در این قسمت از ISO/IEC 14443 ویژگی های فیزیکی توضیح داده خواهد شد .

این استاندارد بین المللی مانع همکاری دیگر تکنولوژی های استاندارد بر روی کارت نمی شود .

استاندارد های کارت های بدون تماس انواع گسترده ای از استاندارد ها مانند ISO/IEC 10536 , ISO/IEC 14443 و ISO/IEC 15693 را پوشش می دهد . این استاندارد ها برای عملیات های با فاصله ی خیلی کم , کم و زیاد تعبیه شده اند .

۱ هدف

در این قسمت از ISO/IEC 14443 ویژگی های فیزیکی کارت های نزدیک مشخص می شود . این از کارت های شناسایی نوع ID-1 می خواهد که به دستگاه کوپلینگ نزدیک شود .

این قسمت از ISO/IEC 14443 بایستی در همزمان با دیگر قسمت های ISO/IEC 14443 استفاده شود .

۲ استاندارد های زیر شامل قوانینی می شوند که در این متن ، قوانین این قسمت از استاندارد ISO/IEC 14443 را تشکیل می دهد .

ISO/IEC 14443 کارت های شناسایی – کارتهای بدون تماس مدار مجتمع – کارتهای نزدیک

ISO/IEC 10373 کارت های شناسایی – روش های آزمون

ISO/IEC 7816-2 کارت های شناسایی – کارت های مجتمع شده با تماس

۳ تعاریف ، اختصارها و نماد ها

۳-۱-۳ تعاریف

در ادامه این کلمات به این معانی هستند :

۳-۱-۳ Integrated circuit (IC)

قطعات الکترونیکی که برای انجام پردازش و توابع حافظه طراحی شده اند .

۳-۱-۳ ۲- بدون تماس (Contactless)

مربوط به انجام تبادل سیگنال با کارت بدون استفاده از المان های گالوانیکی (یعنی عدم حضور مسیر مستقیم از تجهیزات رابط خارجی به مدارات مجتمع درون کارت) .

۳-۱-۳ ۳- کارت های مجتمع شده بدون تماس (Contactless integrated circuit card)

یک کارت نوع ID-1 که درون آن مدار مجتمع قرار گرفته شده که کار برقراری تماس بدون تماس را انجام می دهد .

۳-۱-۳ ۴- PICC

یک کارت نوع ID-1 که مجتمع شده و وسایل ارتباط بر روی آن قرار داده شده است و با دستگاه کوپلینگ توانایی ارتباط دارد .

۳-۱-۳ ۵- PCD

دستگاهی که می خواند/ می نویسد و همچنین از مدار کوپلینگ سلفی برای تامین توان کارت ها استفاده می کند .

۴ ویژگی های فیزیکی

۴-۱ کلیت

PICC باید ویژگی های فیزیکی مورد نیاز مشخص شده برای ID-1 در ISO/IEC 7810 را داشته باشد.

۴-۲ ابعاد

ابعاد باید مطابق ابعاد مشخص شده در ISO/IEC 7810 برای کارت های نوع ID-1 باشد.

۴-۳ ویژگی های اضافه شده :

۴-۳-۱ نور ماورا بنفش

PICC ها باید در مقابل اثرات نور های ماورا بنفش که سطح آنها از یک روز معمولی در سطح دریا بالاتر است محافظت شوند. جایی که محافظت بیشتری مورد نیاز باشد این مسئولیت کارخانه سازنده کارت است تا آن را مهیا سازد.

۴-۳-۲ امواج X

PICC باید بعد از قرار گرفتن در معرض موج X با انرژی 100 keV و دز انباشته 0.1 Gy در سال به کار خود ادامه دهد.

۴-۳-۳ قابلیت انعطاف پذیری (خمیدگی)

PICC باید بعد از آزمون های در استاندارد ISO/IEC 10373 به طور معمول به کار خود ادامه دهد.

۴-۳-۴ قابلیت انعطاف پذیری (پیچشی)

PICC باید بعد از قرار گرفتن در آزمون توضیح داده شده در ISO/IEC 10373 جایی که زاویه چرخش برابر ۱۵ درجه است به طور معمول به کار خود ادامه دهد.

۴-۳-۵ میدان های مغناطیسی متناوب

الف) PICC باید بعد از قرار گیری در معرض یک میدان مغناطیسی با سطح متوسط داده شده در جدول زیر به کار خود ادامه دهد :

Frequency Range (MHz)	Average Magnetic Field Strength (A/m)	Averaging Time (minutes)
0,3 - 3,0	1,63	6
3,0 - 30	4,98/f	6
30 - 300	0,163	6

ماکزیمم مقدار میدان مغناطیسی به ۳۰ برابر مقدار متوسط محدود است .

ب (PICC باید بعد از قرار گیری در معرض یک میدان مغناطیسی 12 A/M در فرکانس ۱۳.۵۶ مگاهرتز به کار خود ادامه دهد .

۴-۳-۶ میدان الکتریکی متناوب

PICC باید بعد از قرار گیری در معرض یک میدان الکتریکی با مقدار متوسط داده شده در جدول زیر به کار خود ادامه دهد :

Frequency Range (MHz)	Average Electric Field Strength (V/m)	Averaging Time (minutes)
0,3 - 3,0	0,614	6
3,0 - 30	1842/f	6
30 - 300	61,4	6

ماکزیمم مقدار میدان الکتریکی به ۳۰ برابر مقدار متوسط محدود است .

۴-۳-۷ الیکتریسیته ساکن

PICC باید بعد از قرار گرفتن در میدان ۶ کیلوولتی به کار خود به طور معمول ادامه دهد .

۴-۳-۸ میدان مغناطیسی ساکن

PICC باید بعد از قرار گرفتن در میدان مغناطیسی ساکن 640 kA/m به کار خود ادامه دهد .

۴-۳-۹ دمای کار

PICC باید در محدوده دمای محیط ۰ تا ۵۰ درجه سانتی گراد به طور صحیح کار کند .

استاندارد 14443-2

کارت های شناسایی – مدارات مجتمع کارت های بدون تماس – کارت های نزدیک

قسمت دوم : توان فرکانس رادیویی و سیگنال رابط

۱- هدف

این قسمت از ISO/IEC 14443 طبیعت و ویژگی های ذاتی میدان هایی که برای تهیه قدرت و ارتباط دو طرفه بین دستگاه ریدر و کارت استفاده می شوند را مشخص می کند .

این قسمت از ISO/IEC 14443 باید با ترکیب دیگر قسمت های این استاندارد استفاده شود .

در این قسمت از ISO/IEC 14443 ملزومات تولید میدان های کوپلینگ و همچنین ملاحظات تشعشعات الکترومغناطیسی و خطرات آن بر روی انسان که در هر کشور متفاوت است لحاظ نشده است .

۲- استاندارد های زیر شامل قوانینی می شوند که در این متن ، قوانین این قسمت از استاندارد ISO/IEC 14443 را تشکیل می دهد .

ISO/IEC 14443 کارت های شناسایی – کارتهای بدون تماس مدار مجتمع – کارتهای نزدیک

ISO/IEC 10373 کارت های شناسایی – روش های آزمون

ISO/IEC 7816-2 کارت های شناسایی – کارت های مجتمع شده با تماس

۳ قوانین و تعاریف

برای اهداف این استاندارد بین المللی، تعاریف داده شده در ISO/IEC 14443-1 و

تعاریف زیر ارائه می شود :

۳.۱ مدت زمان بیت

زمانی که در طی آن یک حالت منطقی رخ می دهد ، در پایان آن یک بیت جدید شروع می شود.

۳.۲ کلید زنی شیف فاز باینری

کلید زنی شیف فاز است که در آن تغییر فاز 180 درجه است، که در نتیجه دو حالت فاز امکان دارد .

۳.۳ شاخص مدولاسیون

تعریف شده به عنوان $[A - B] / [A + B]$ که در آن A و B به ترتیب اوج و حداقل دامنه سیگنال.

۳.۴ NRZ-L

روش کد گذاری بیتی است که در آن یک حالت منطقی در طول یک بیت که توسط یکی از دو حالت تعریف شده فیزیکی در رسانه های ارتباطی نشان داده است.

۳.۵ زیر حامل یا subcarrier

سیگنال RF تولید شده توسط مدولاسیون با فرکانس حامل Fc که با Fs نمایش داده می شود .

۴ اختصارات و نمادها

ASK Amplitude shift keying دامنه کلیدزنی شیف

BPSK Binary phase shift keying کلید زنی شیف فاز باینری

NRZ-L Non-return to zero, (L for level) بدون بازگشت به صفر

PCD Proximity coupling device دستگاه شامل کوپلینگ نزدیک (ریدر)

PICC Proximity card کارت RFID

Radio frequency RF فرکانس رادیویی

F_c فرکانس کار (فرکانس حامل)

F_s فرکانس زیر حامل مدولاسیون

۵ رابطه اولیه برای کارت ها

رابطه اولیه بین PCD و PICC باید از طریق عملیات متوالی زیر انجام گیرد :

-فعال شدن PICC در محدوده فرکانس عملیاتی PCD

- PICC در حالت سکون منتظر یک دستور از PCD

-انتقال دستور توسط PCD

-انتقال پاسخ توسط PICC

این عملیات از قدرت RF و رابط سیگنال مشخص شده در بند های زیر استفاده می کند .

۶ انتقال قدرت

PCD باید یک میدان RF قوی تولید کند که به PICC متصل شود و قدرت را منتقل کند و

باید برای ارتباط مدوله شده نیز باشد .

۶.۱ فرکانس

فرکانس (FC) باید در محدوده عملیاتی ۱۳،۵۶ مگاهرتز ± ۷ کیلو هرتز باشد .

۶.۲ میدان عملیات

حداقل میدان عملیات در حالت مدوله نشده باید H_{min} باشد و مقدار A/m ۱.۵ (rms) باشد .

حداکثر میدان عملیات در حالت مدوله نشده باید H_{max} باشد و مقدار A/m ۷.۵ (rms) باشد .

PICC باید بین H_{min} و H_{max} به طور پیوسته کار کند .

یک PCD باید یک میدان حداقل H_{min} تولید کند که از حداکثر مقدار تعیین شده توسط کارخانه تجاوز

نکند .

علاوه بر این، PCD باید قادر به تأمین انرژی هر PICC منفرد مرجع باشد (تعریف شده در روش های آزمون) .

PCD نباید یک میدان بیشتر از مقدار مشخص شده در ISO/IEC 14443-1 (میدان مغناطیسی متناوب) در هر موقعیت ممکن PICC تولید کند .

روش های آزمون برای میدان عملیاتی PCD در ISO/IEC 10373 مشخص شده است .

۷ سیگنال رابط

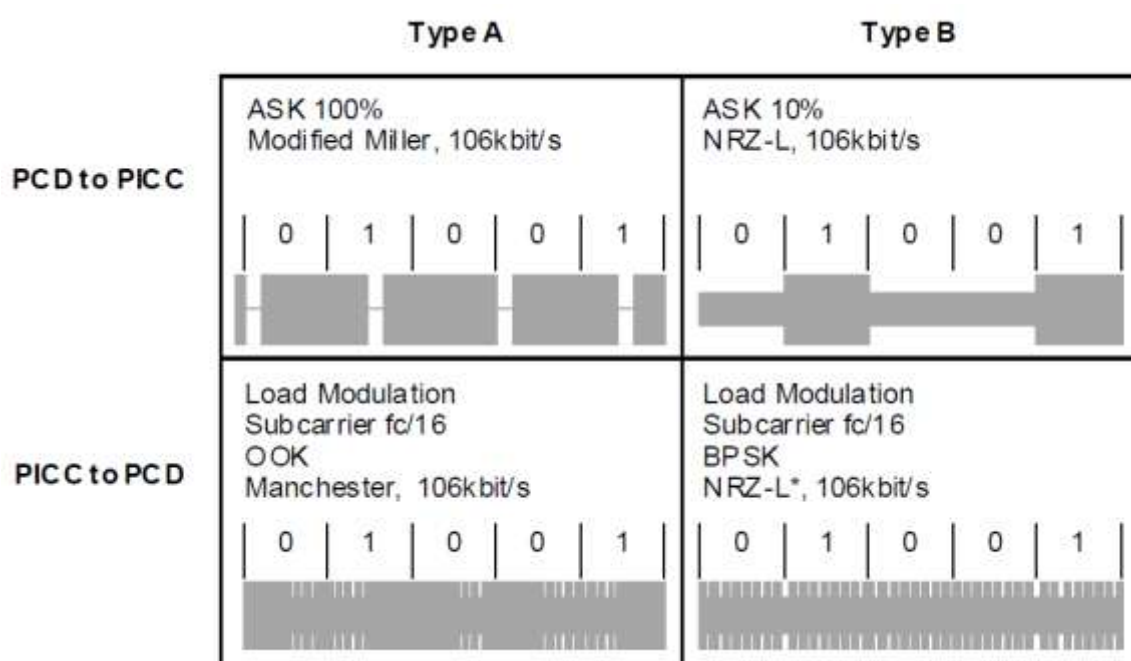
دو سیگنال ارتباطی نوع A و B ، در بند زیر توضیح داده شده است.

PCD باید بین روش های مدولاسیون در زمان بیکاری قبل از تشخیص حضور یک PICC نوع A یا B تغییر کند .

فقط یک سیگنال ارتباطی ممکن است در یک ارتباط فعال باشد تا زمانی که PCD غیر فعال کند یا PICC را از میدان خارج کنیم .

مراحل بعدی ممکن است از هر دو روش مدولاسیون استفاده می کند .

شکل ۱-۳، یک تصویر از مفاهیم شرح داده شده در بند های زیر می باشد .



شکل ۱ - ۳ نحوه ارتباط

۸ سیگنال ارتباطی نوع A

۸.۱ ارتباطات PCD به PICC

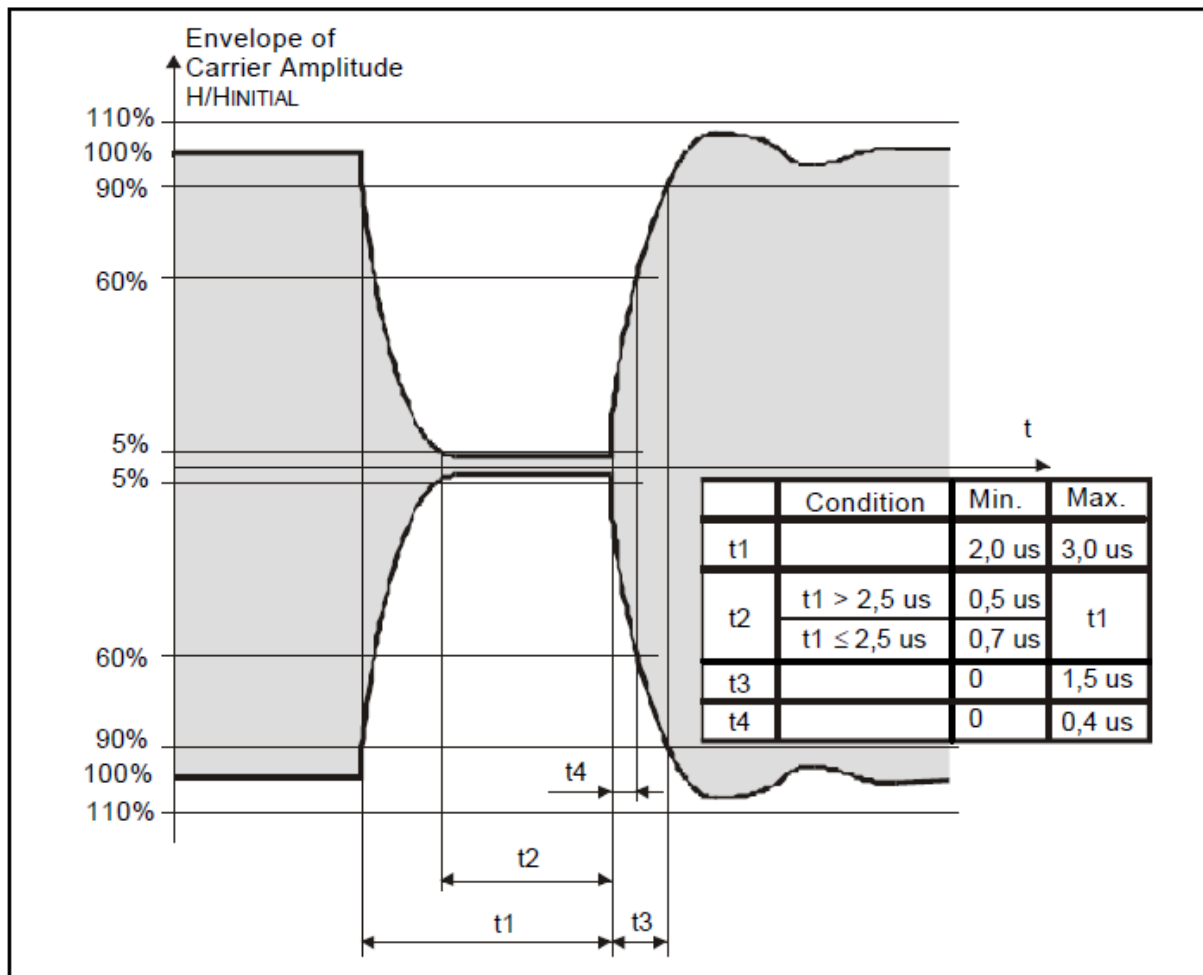
۸.۱.۱ سرعت داده

نرخ بیت داده برای انتقال در زمان نصب و ضدداخل باید $f_c/128$ باشد ($\sim 106 \text{ kbit/s}$).

۸.۱.۲ مدولاسیون

ارتباط بین PCD و PICC با استفاده از اصول مدولاسیون ASK100٪ اتفاق می افتد و برای ایجاد یک

مکث مانند شکل ۲-۳ عمل کنید.



شکل ۲-۳: مکث در پروتکل نوع A

پوش میدان PCD باید به طور یکنواخت کاهش یابد تا به کمتر از ۵٪ از مقدار ابتدایی HINITIAL

برسد و به مدت t_2 کمتر از ۵٪ باقی بماند. این پوش باید بر شکل ۲ منطبق شود.

اگر پوش میدان PCD بطور یکنواخت کاهش نیابد، زمان بین حداکثر محلی

و زمان عبور همان مقدار، قبل از حداکثر محلی نباید از 0.5 uS تجاوز کند. این باید تنها در صورتی که

حداکثر محلی بیشتر از ۵٪ از HINITIAL باشد اعمال می شود.

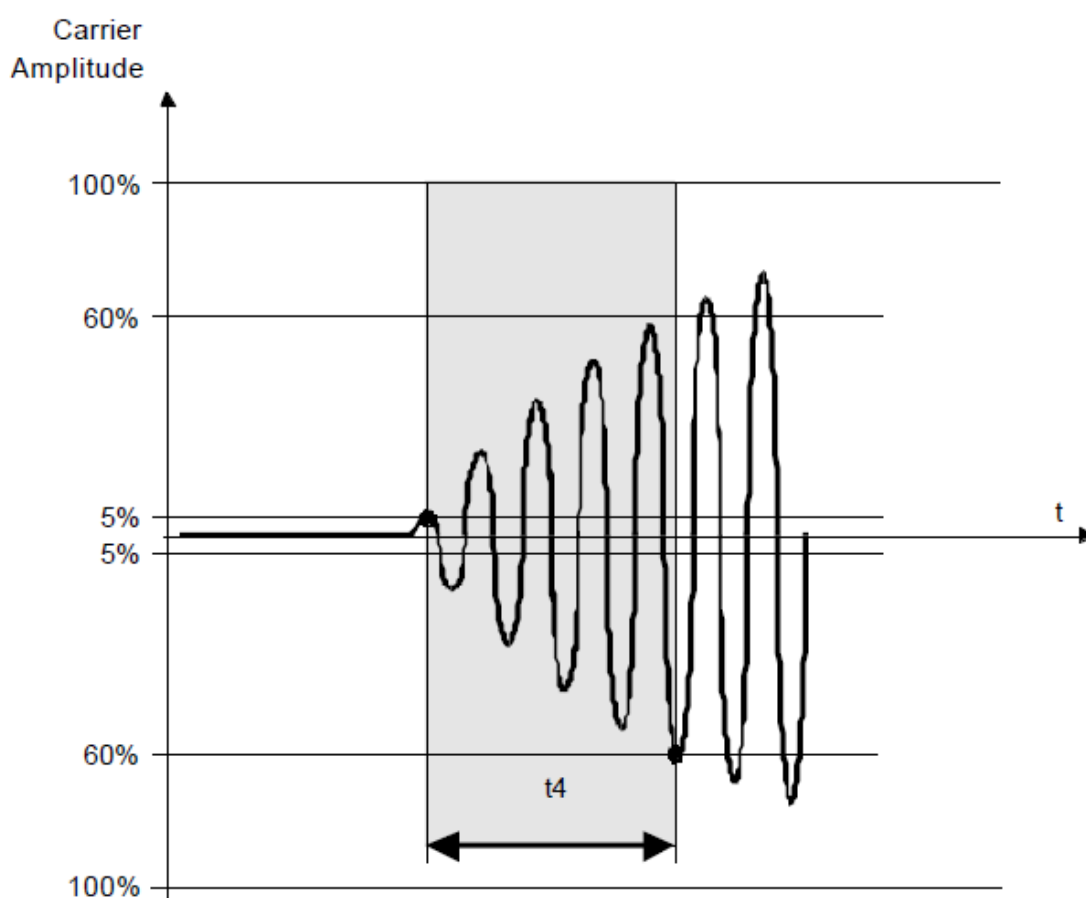
جهش ها باید بین ۹۰٪ و ۱۱۰٪ از HINITIAL باقی بماند.

PICC باید "پایان هر مکت" را بعد از اینکه میدان به ۵٪ از HINITIAL و قبل از رسیدن به ۶۰٪

آن تشخیص دهد.

توجه: در سیستم طراحی شده ای که تنها با یک کارت در یک زمان سر و کار دارد، T4 مهم نیست.

شکل ۳-۳: تعیین پایان یک مکت



۸.۱.۳ کدگذاری و نمایش بیت

حالات زیر تعریف شده اند :

حالت X : بعد از یک زمان $64/Fc$ یک مکث باید اتفاق بیفتد .

حالت Y : در مدت زمان یک بیت ($128/Fc$) هیچ مدولاسیونی نباید اتفاق بیفتد .

حالت Z : در شروع یک بیت یک مکث باید رخ دهد .

حالات قبل برای کدگذاری اطلاعات زیر به کار گرفته می شوند :

سطح منطقی یک : حالت X

سطح منطقی صفر : حالت Y به غیر از دو حالت زیر :

(۱) اگر دو صفر یا بیشتر در کنار یکدیگر قرار بگیرند ، حالت Z باید برای صفر دوم به بعد استفاده شود .

(۲) اگر اولین بیت بعد از شروع فریم صفر باشد ، حالت Z باید نمایش صفرهای متوالی بعد از آن استفاده شود .

شروع ارتباط : حالت Z

پایان ارتباط : منطق صفر به همراه حالت Y

بدون اطلاعات : حداقل دو حالت Y

۸.۲ ارتباط PICC با PCD

۸.۲.۱ نرخ داده

نرخ بیت داده برای انتقال در زمان نصب و ضدتداخل باید $fc/128$ باشد ($\sim 106 \text{ kbit/s}$) .

۸.۲.۲ بار مدولاسیون

PICC باید قادر به برقراری ارتباط با PCD از طریق محیط کوپلینگ القایی باشد جایی که فرکانس کریر بارگذاری می شود تا فرکانس زیر حامل F_s را تولید کند . ساب کریر باید توسط سوییچینگ یک بار در PICC تولید شود .

دامنه مدولاسیون بار باید حداقل $30/H1.2 \text{ mV}$ (پیک) باشد ، جایی که H مقدار موثر قدرت میدان مغناطیسی بر حسب A/M می باشد .

روش های آزمون مدولاسیون بار PICC در استاندارد بین المللی ISO/IEC 10373 تعریف شده است.

۸.۲.۳ زیر حامل یا ساب کریر

FS فرکانس حامل باید $fc/16$ (۸۴۷ هرتز). در نتیجه، در مقدار دهی اولیه و anticollision، مدت زمان یک بیت است که معادل ۸ دوره از حامل است.

۸.۲.۴ مدولاسیون ساب کریر یا زیر حامل

هر دوره تناوب بیت با فاز تعریف شده مربوط به زیرحامل شروع می شود . دوره تناوب بیت با حالت بارگذاری شده ساب کریر شروع می شود .

زیرحامل باید با استفاده از کلید زنی روشن / خاموش با توالی تعریف شده در 8.2.5. مدوله شوند .

۸.۲.۵ کدگذاری و نمایش بیت

کدگذاری بیت باید منچستر با تعاریف زیر باشد :

sequence D	the carrier shall be modulated with the subcarrier for the first half (50%) of the bit duration
sequence E	the carrier shall be modulated with the subcarrier for the second half (50%) of the bit duration
sequence F	the carrier is not modulated with the subcarrier for one bit duration
logical "1"	sequence D
logical "0"	sequence E
Start of communication	sequence D
End of communication	sequence F
No information	no subcarrier

۹ سیگنال رابط نوع B

۹.۱ ارتباط PCD به PICC

۹.۱.۱ نرخ داده

نرخ بیت داده برای انتقال در طول نصب اولیه و ضدداخل باید به طور اسمی $fc/128$ (~ 106 کیلوبیت / ثانیه) باشد. مرزهای تحمل و کمی در 3-14443 ISO/IEC تعریف شده است.

۹.۱.۲ مدولاسیون

ارتباط بین PCD و PICC از طریق مدولاسیون دامنه 10% ASK انجام می گیرد .

شاخص مدولاسیون باید حداقل ۸ درصد و حداکثر ۱۴ درصد باشد.

موج مدولاسیون باید مطابق با شکل ۴ باشد . لبه افزایشی و کاهشی مدولاسیون باید یکنواخت باشد.

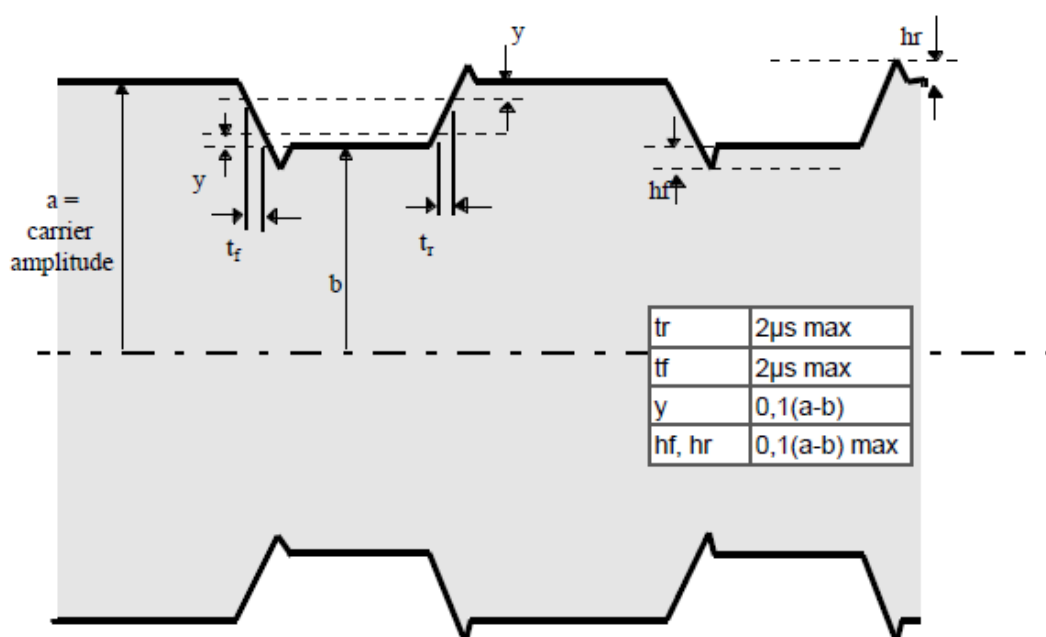


Figure 4 -- Type B modulation waveform

۹.۱.۳ کدگذاری و نمایش بیت

فرم کدگذاری بیت باید به صورت NRZ-L با سطوح منطقی مشخص شده در زیر باشد :

سطح "۱" مقدار بالای میدان کریپر

سطح "۰" مقدار پایین میدان کریپر

۹.۲ ارتباط PICC با PCD

۹.۲.۱ نرخ داده

نرخ بیت داده برای انتقال در طول نصب اولیه و ضدداخل باید به طور اسمی $fc/128$ ($\sim 10^6$ کیلوبیت / ثانیه) باشد.

۹.۲.۲ بار مدولاسیون

PICC باید قادر برقراری ارتباط با PCD از طریق منطقه کوپلینگ القایی باشد که در آن انرژی میدان برای تولید یک ساب کریر با فرکانس F_s بارگذاری می شود. ساب کریر باید توسط سویچینگ یک بار در PICC تولید شود.

دامنه مدولاسیون بار باید حداقل $30/H1.2 \text{ mV}$ (پیک) باشد، جایی که H مقدار موثر قدرت میدان مغناطیسی بر حسب A/M می باشد.

روش های آزمون مدولاسیون بار PICC در استاندارد بین المللی ISO/IEC 10373 تعریف شده است.

۹.۲.۳ زیر حامل

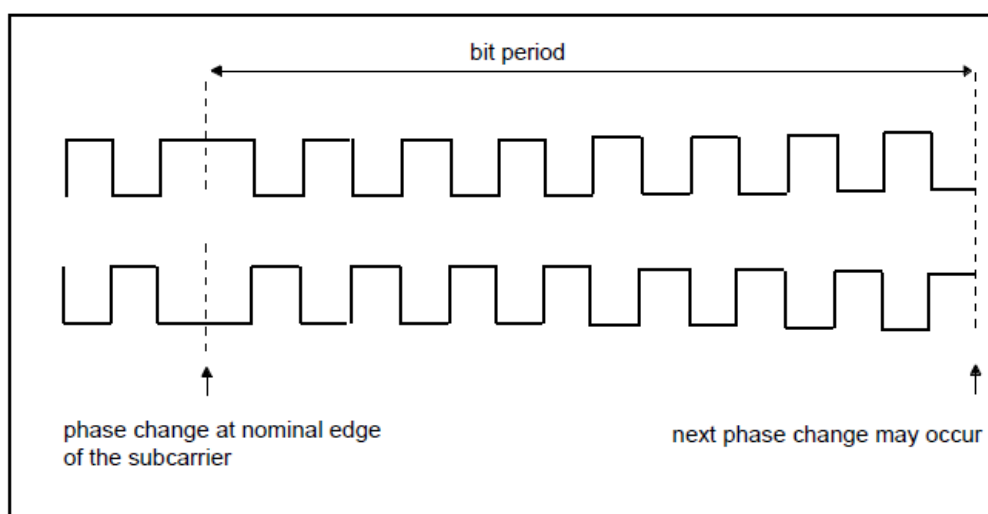
فرکانس FS باید $fc/16$ (~ 847 کیلوهرتز) باشد. در نتیجه، در مقدار دهی اولیه

و ضدداخل، مدت زمان یک بیت برابر است با ۸ دوره از زیر حامل.

PICC باید فقط زمانی ساب کریر تولید کند که قصد ارسال دیتا داشته باشیم.

۹.۲.۴ مدولاسیون ساب کریر

ساب کریر باید به صورت BPSK مدوله شده باشد، شیف فاز باید فقط در مکان های فراز و فرود ساب کریر اتفاق بیفتد.



۹.۲.۵ کدگذاری و نمایش بیت

کدگذاری بیت باید به صورت NRZ-L جایی که یک تغییر سطح منطقی باید با تغییر فاز 180 درجه ساب کریر اعمال شود .

سطوح منطقی اولیه برای NRZ-L در آغاز یک فریم PICC باید با مراحل زیر شروع شود :

- پس از هر فرمان از PCD زمان گارد TR0 باید طوری اعمال شود که در آن PICC نباید ساب کریر تولید کند . TR0 باید بزرگتر از 64/fs باشد.

- PICC سپس باید یک ساب کریر بدون انتقال فاز برای همزمان کردن TR1 ایجاد کند . این کار یک ساب کریر با فاز مرجع Ø0 تولید می کند . TR1 باید بیشتر از 80/fs باشد .

- این حالت فاز اولیه Ø0 ساب کریر باید به صورت سطح منطقی "1" تعریف شده به طوری که در مرحله اول انتقال نشان دهنده یک تغییر منطقی از "1" به "0" باشد .

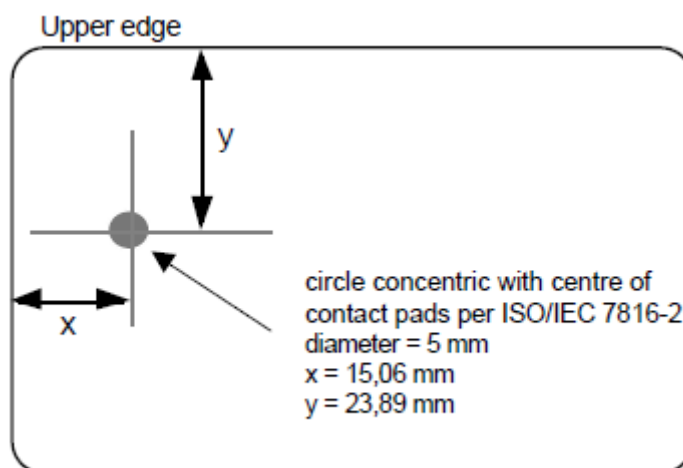
- پس از آن سطح منطقی باید با توجه به فاز مرجع ساب کریر تعریف شود :

Ø0 : نمایش دهنده سطح "۱"

Ø0 + ۱۸۰ : نمایش دهنده سطح "۰"

۱۰ حداقل محدوده کوپلینگ PICC

آنتن کوپلینگ PICC ممکن است به هر شکل و هر جایی باشد اما باید منطقه نشان داده شده در شکل ۶ را مشتمل شود .



شکل ۳-۴: حداقل محدوده کوپلینگ PICC

لبه های بالا و چپی در ISO/IEC 7816-2 مشخص شده اند. منطقه سایه دار دارای قطر ۵.۰ میلیمتر می باشد.

استاندارد 14443-3

کارت های شناسایی - مدارات مجتمع کارت های بدون تماس - کارت های نزدیک

قسمت سوم: راه اندازی و ضدتداخل

۱- هدف

- در این قسمت از ISO/IEC14443 مسائل زیر توضیح داده می شود :
- رای گیری PICC هایی که داخل میدان PCD می شوند.
 - قالب بایت، فریم و زمانبندی استفاده شده در زمان فاز ابتدایی ارتباط بین PICC,PCD
 - محتویات دستورات ATQ,REQ ابتدایی
 - روشهایی جهت تشخیص و تماس با یک کارت در میان چندین کارت
 - دیگر پارامترهای مورد نیاز برای برقراری ارتباط بین PICC,PCD
 - وسایل اختیاری برای آسان کردن و سرعت بخشیدن به انتخاب یک کارت در میان چندین کارت.
- پروتکل ها و دستورات استفاده شده در لایه های بالاتر و کاربردهایی که در بعد از فاز ابتدایی استفاده می شود در ISO/IEC 14443-4 توضیح داده می شود.
- ۲- استاندارد های زیر شامل قوانینی می شوند که در این متن ، قوانین این قسمت از استاندارد ISO/IEC 14443 را تشکیل می دهد .
- ISO/IEC 14443 کارت های شناسایی - کارتهای بدون تماس مدار مجتمع - کارتهای نزدیک
- ISO/IEC 10373 کارت های شناسایی - روش های آزمون
- ISO/IEC 7816-2 کارت های شناسایی - کارت های مجتمع شده با تماس

۳- عبارات و معانی

برای اهداف این استاندارد بین المللی، عبارات و معانی ارائه شده در ISO/IEC 7816-3, ISO/IEC 14443-2 مورد نیاز است.

۳-۱- حلقه ضد تداخل

الگوریتم استفاده شده برای مهیا کرده یک ارتباط بین PCD و یک و چندین PICC درون میدان

۳-۲- پروتکل تشخیص تداخل بیت

روش ضد تداخل با به کارگیری تشخیص تداخل از روی سطح بیت درون فریم می باشد. یک تداخل زمانی رخ می دهد که دو PICC الگوی مکمل بیتی خود را به PCD ارسال کنند. در این حالت الگوهای بیت با هم مخطوط شده و «کریر» با «ساب کریر» در تمام مدت بیت مدوله می شوند.

PCD بیت های تداخل یافته را تشخیص و با روش Cascade ی (متوالی) ID همه ی PICC ها را شناسایی می کند.

۳-۳- بایت

یک بایت شامل ۸ بیت اطلاعات که با نمادهای b1 تا b8 نشان داده می شوند، می باشد که از با ارزش ترین بیت b8 تا کم ارزش ترین b1 قرار گرفته اند.

۳-۴- تداخل

ارسال همزمان دو PICC به یک PCD به طوری که PCD قادر به تشخیص منبع اطلاعات

۳-۵- واحد زمان اصلی (etu)

در این قسمت از ISO/IEC 14443، یک etu برابر : $1\text{etu} = 128/\text{fc}$

۳-۶- فریم

یک فریم یک سری از بیت های داده و بیت های اختیاری خطا به همراه حائل هایی در ابتدا و انتها می باشد.

۳-۷- لایه بالاتر

متعلق به کاربرد یا پروتکل لایه بالاتر می باشد که در این قسمت توضیح داده نشده است.

۳-۸- پروتکل اسلات زمانی

روشی که در آن یک PCD کانال های منطقی با یک یا چند PICC تشکیل می دهد. که از اسلات زمانی برای پاسخ PICC استفاده می کند.

۳-۹- شناسه منحصر به فرد UID

UID یک شماره که برای الگوریتم نوع A لازم است، می باشد.

۴- نماد ها

ATA	Answer To Attrib
ATQ	Answer To Request
ATQA	Answer To Request of Type A
ATTRIB PICC	selection command
BCC UID CLn	checkbyte, calculated as exclusive-or over the 4 previous bytes
CLn	Cascade level n, $3 \geq n \geq 1$
CT	Cascade Tag, '88'
CRC_A	Cyclic Redundancy Check error detection code defined in 6.1.10
DESEL	Deselect Command
E	End of communication, Type A
EGT	Extra Guard Time
EOF	End Of Frame, Type B
etu	elementary time unit. Duration of 1 bit of data transmission.
FGT	Frame Guard Time
fc	carrier frequency (13,56 MHz)
fs	subcarrier frequency
ID	IDentification number

INF	INFormation field belonging to higher layer
LSB	Least Significant Bit
MSB	Most Significant Bit
N	Number of anticollision slots or PICC response probability in each slot
n	Variable integer value as defined in the specific clause
NAD	Node ADdress
NVB	Number of Valid Bits
P	Odd parity bit
PARAM	Parameter in Attribute format
PCD	Proximity Coupling Device (Reader)
PICC	Proximity Card
PUPI	Pseudo-Unique PICC Identifier
R	Slot number chosen by the PICC during the anticollision sequence
REQA	Request Command, Type A
RFU	Reserved for Future ISO/IEC Use
S	Start of communication, Type A
SAK	Select AcKnowledge
SEL	Select Command
TR0	Minimum delay of silence between PCD off and PICC
TR1	Minimum subcarrier on duration before PICC data transmission.
UID	Unique IDentification
UID n	Byte number n of unique identification, $n \geq 0$

۵- رای گیری

زمانی که یک PICC در مقابل یک میدان مدوله نشده قرار می گیرد، باید قادر به پذیرفتن درخواست در ۵ میلی ثانیه باشد.

برای تشخیص PICC هایی که به میدان انرژی وارد می شود، یک PCD دستورهای درخواست متوالی ارسال می کند و منتظر یک ATQ می ماند. دستورات درخواست در هر قسمتی باید از REQA توضیح داده شده در اینجا استفاده کنند و بعلاوه ممکن است از دیگر روشهای کدگذاری در ضمیمه استفاده کند. این رویه را راگیری می نامند.

۶- نوع A - نصب و ضد تداخل

این بخش پروتکل تشخیص تداخل بیت قابل اجرا برای PICC نوع A را توصیف می کند.

۶-۱- بایت، فریم و قالب دستور و زمان بندی

این بخش بایت، فریم و قالبهای دستور و زمانبندی استفاده شده در طول ارتباط، پیکربندی و ضد تداخل مشخص می کند. برای نمایش و کد گذاری بیت به ISO/IEC 14443-2 مراجعه کنید.

۶-۱-۱- زمان تاخیر فریم

زمان تاخیر فرمی FDT، زمان بین دو فریم ارسالی در جهات مخالف هم تعریف می شود.

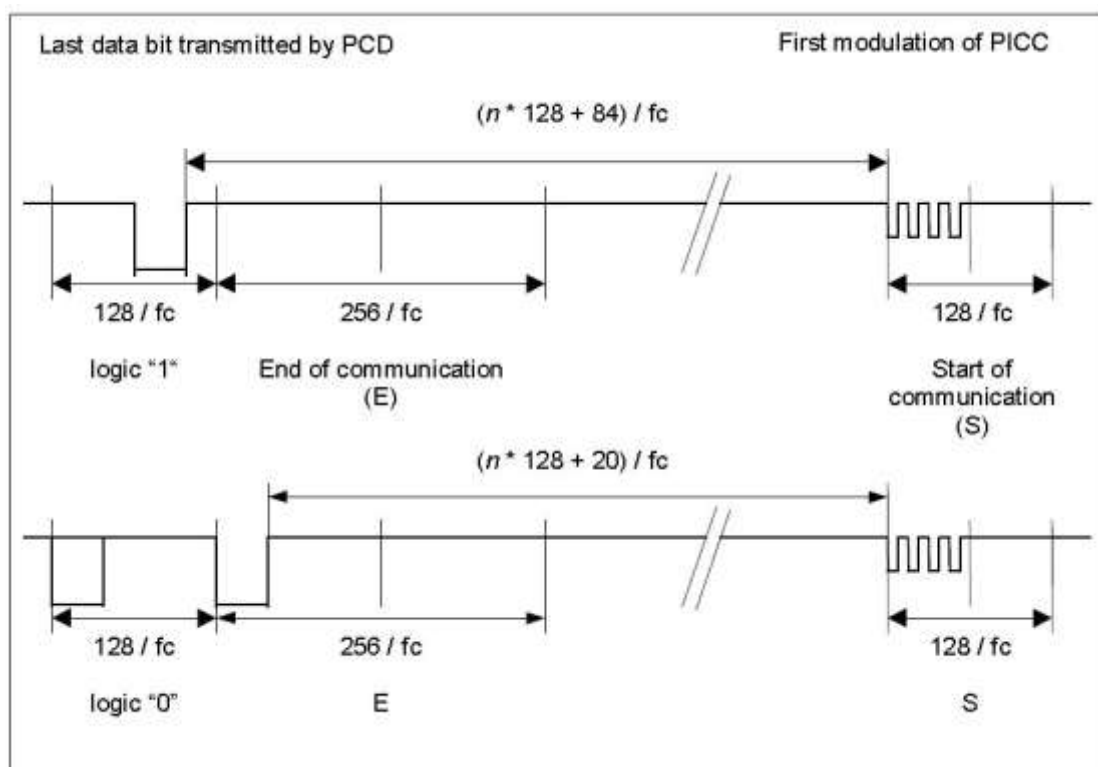
۶-۱-۲- زمان محافظ فریم

زمان محافظ فریم FGT، حداقل زمان تاخیر فریم می باشد.

۶-۱-۳- زمان تاخیر فریم از PCD به PICC

این زمانی است که بین آخرین مکث ارسالی توسط PCP و اولین لبه مدولاسیون همراه بیت شروع ارسالی توسط PICC می باشد و باید مطابق زمان بندی معین شده در شکل ۱-۳-۳ باشد، جایی که n یک مقدار عدد صحیح است.

شکل ۱-۳-۳ : زمان تاخیر فریم PICC به PCD



جدول ۳-۳-۱ مقادیر n و FDT وابسته به نوع دستور و حالت منطقی آخرین بیت داده ارسالی در این دستور

مشخص می کند. جدول ۳-۳-۱: زمان تاخیر فریم PICC به PCD

Command type	n (integer value)	FDT	
		last bit = (1)b	last bit = (0)b
REQA Command WAKE-UP Command ANTICOLLISION Command SELECT Command	9	1236 / f_c	1172 / f_c
All other commands	≥ 9	$(n * 128 + 84) / f_c$	$(n * 128 + 20) / f_c$

تذکر : مقدار $n=9$ یعنی همه ی PICC های درون میدان باید به طور هماهنگ که برای ضد تداخل ضروری است، پاسخ دهند.

برای دیگر دستورات PICC باید از اولین لبه مدولاسیون به همراه بیت شروع می باشد، اطمینان حاصل نماید.

۶-۱-۴- زمان تاخیر فریم از PICC به PCD

این زمان بین آخرین مدولاسیون ارسالی توسط PICC و اولین مکث ارسالی توسط PCD می باشد و باید حداقل $\frac{2}{f_c} 117$ باشد.

۶-۱-۵- زمان محافظ در خواست

زمان محافظ درخواست حداقل زمان بین بیت های شروع دو دستور درخواست متوالی می باشد. که مقدار $\frac{7000}{f_c}$ می باشد.

۶-۱-۶- قالب های فریم

در ادامه انواع فریم برای پروتکل تشخیص تداخل بین مشخص شده است.

۶-۱-۷- دستورات WAKE-UP,REQA

فریم های درخواست و wake-up برای آغاز ارتباط استفاده می شوند و شامل ترتیب زیر می باشد.

* شروع ارتباط

* ۷ بیت ارسالی که اولین آن LSB است. (محتویات اطلاعات برای استاندارد REQA «۲۶» و برای

درخواست wakeup «۵۲» می باشد.)

* پایان ارتباط

بیت توازن اضافه نشده است.

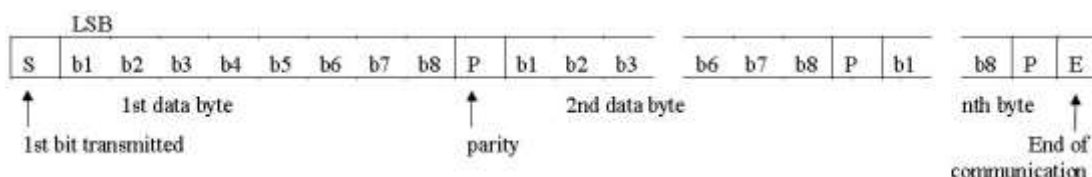
۶-۱-۸- فریم استاندارد

فریم های استاندارد برای جابجایی داده ها استفاده می شوند و شامل :

* شروع ارتباط

* (۸ بیت داده + بیت توازن فرد) * n : برای $n \geq 1$ LSB هر بایت داده ای اول ارسال می شود. هر بایت داده به همراه یک بیت توازن فرد می باشد.

* پایان ارتباط



شکل ۳-۲-۳: فریم استاندارد

۶-۱-۹- فریم ضد تداخل بیت گرا

یک تداخل زمانی به وقوع می پیوندد که حداقل دو PICC دو الگوی بیت متفاوت را به PCD ارسال کنند. در این حالت کریر با سب کریر در تمام مدت بیت مدوله می شوند.

فریم های ضد تداخل بیت گرا فقط در زمان حلقه ضد تداخل استفاده می شوند و در حقیقت فریم های استاندارد می باشند که به طول ۷ بایت داده و به دو قسمت تقسیم می شوند : قسمت ۱ برای انتقال از PCD به PICC و قسمت ۲ برای انتقال از PICC به PCD.

برای طول های قسمت ۱ و ۲، قوانین زیر باید اعمال شود :

قانون اول : جمع بیت های داده باید ۵۶ شود.

قانون دوم : حداقل طول قسمت ۱ باید ۱۶ بیت داده باشد.

قانون سوم : حداکثر طول قسمت ۱ باید ۵۵ بیت داده باشد.

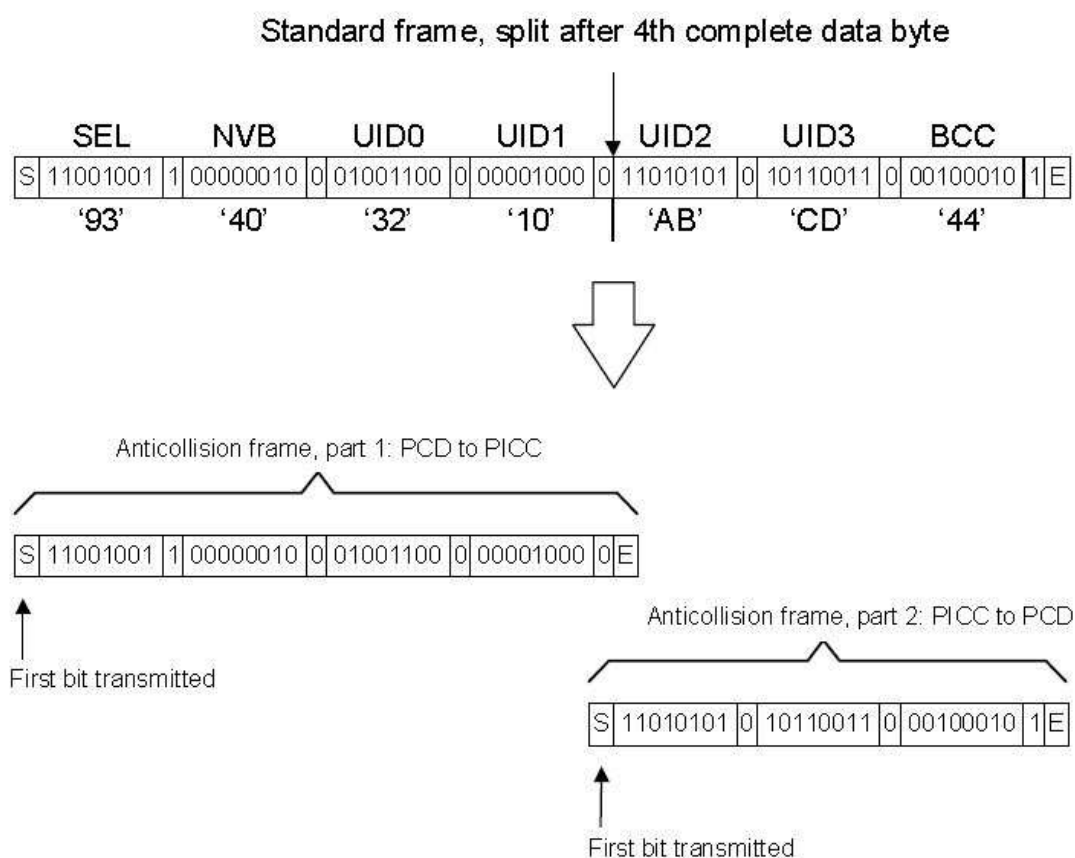
در نتیجه، حداقل طول قسمت ۲ باید یک بیت داده و حداکثر طول آن باید ۴۰ بیت داده باشد.

از آنجایی که جدایی می تواند در هر بیتی در یک بایت داده اتفاق بیفتد، دو حالت تعریف می شود :

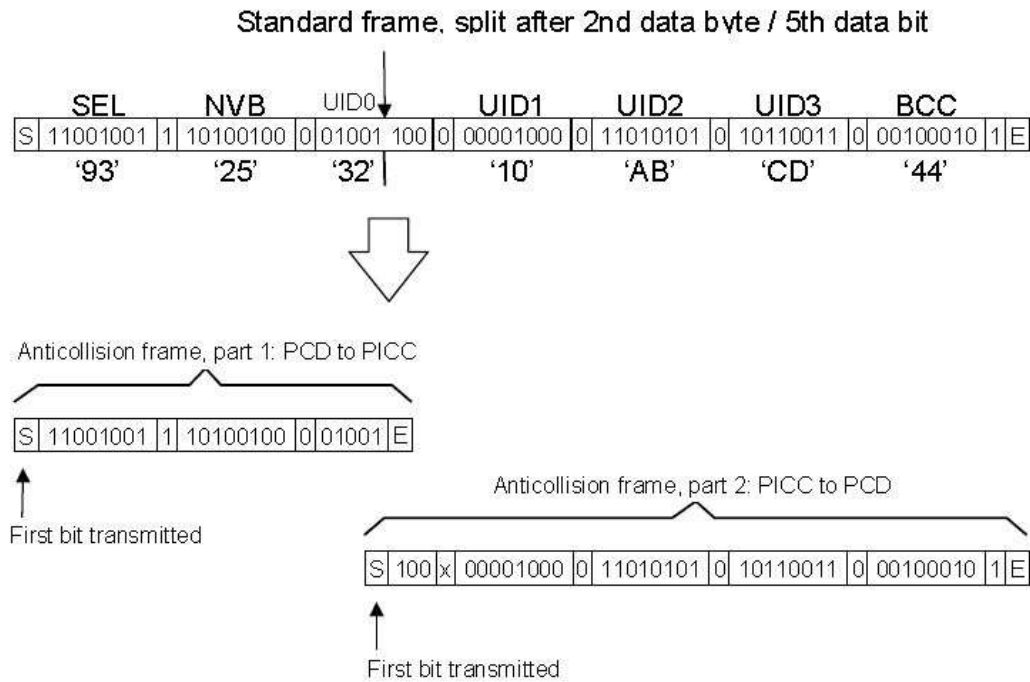
حالت FULL BYTE : جدایی بعد از یک بایت داده کامل باشد. یک بیت توازن بعد از آخرین بیت داده قسمت اول اضافه می شود.

حالت SPLIT BYTE : جدایی درون یک بایت داده رخ دهد، هیچ بیت توازنی بعد از آخرین بیت داده قسمت اول اضافه نمی شود.

مثالهای زیر برای حالت های SPLIT BYTE, FULL BYTE شکل و ترتیب انتقال بیت را مشخص می کند.



شکل ۳-۳-۳ : ساماندهی و انتقال بیت در فریم ضدداخل بیت گرا ، FULL BYTE CASE



شکل ۳-۳-۴: ساماندهی و انتقال بیت در فریم ضدتداخل بیت گرا ، SPLIT BYTE CASE

برای یک SPLIT BYTE ، اولین بیت توازن قسمت دوم باید نادیده گرفته شود.

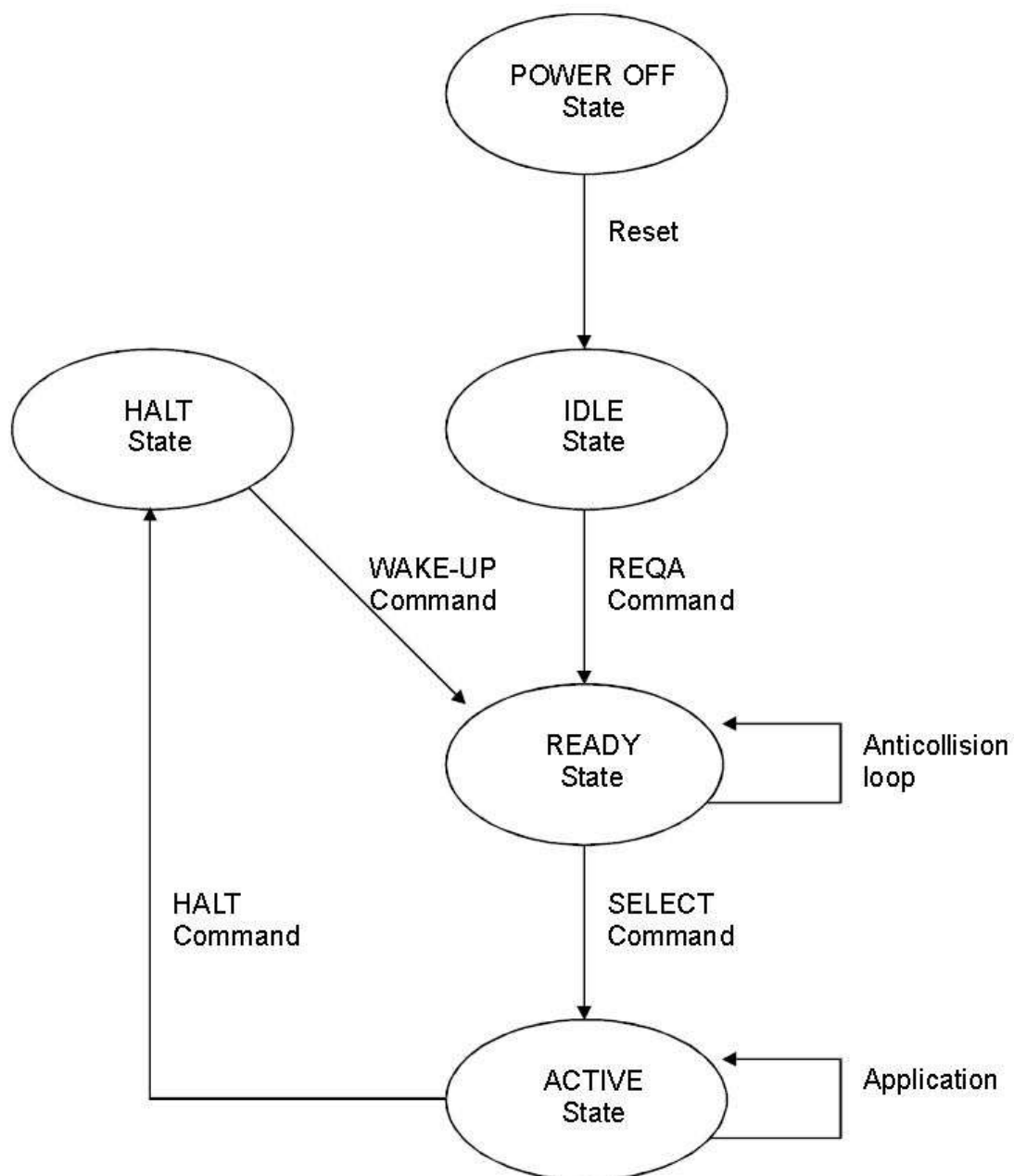
۶-۱-۱۰-CRC-A

روند کدگذاری و چک کردن CRC-A در ITU-T مشخص شده است. چند جمله ای مولد برای تولید بیت‌های بررسی می باشد.

مقدار اولیه باید «6363» باشد. CRC-A باید به بایتهای داده اضافه شود و توسط فریم های استاندارد ارسال شود.

۲-۶- حالت های PICC

بخش های زیر توضیحاتی راجع به حالت های یک PICC نوع A خاص برای پروتکل تشخیص تداخل بیت داده می شود.



شکل ۳-۵: دیاگرام حالت های PICC نوع A

۶-۲-۱- حالت POWER-OFF

در این حالت، PICC به دلیل نبود انرژی کافی کریر نمی تواند حساب کریر تولید و منتشر کند.

۶-۲-۲- حالت IDLE

بعد از اینکه میدان به مدت حداکثر تاخیر مشخص شده در بند ۵ فعال شد، PICC باید به این حالت وارد شود. در این حالت PICC روشن است و قادر به آشکار سازی و تشخیص دستورات REQA و wake-up معتبر از سوی PCD می باشد.

۶-۲-۳- حالت READY

یک PICC زمانی به این حالت وارد می شود که یک پیام معتبر REQA یا wake-up دریافت شود و زمانی که UID آن شناسایی و انتخاب شود از این حالت خارج می شود. در این حالت روش ضد تداخل فریم بیت یا هر روش ضد تداخل دیگری می تواند اعمال شود. مراحل Cascade برای بدست آوردن UID در این حالت به کار گرفته می شوند.

۶-۲-۴- حالت ACTIVE

زمانی به این حالت وارد می شود که PICC توسط UID آن انتخاب شود.

۶-۲-۵- حالت HALT

زمانی وارد این حالت می شود که یا دستور HALT توضیح داده شده در ۶-۳-۴ یا توسط یک دستور خاص یک کاربرد که در این بخش از ISO/IEC14443 تعیین نشده اجرا شود. در این حالت یک PICC باید فقط به دستور WAKE-UP جواب بدهد، که PICC را به حالت READY منتقل می کند.

تذکر : PICC ها که در حالت HALT هستند در هیچ یک از ارتباطات بعدی شرکت نخواهند کرد مگر اینکه دستور WAKE-UP اعمال شود.

۶-۳- دستورات

دستوراتی که توسط PCD برای مدیریت ارتباط بین چند PICC استفاده می شوند، عبارتند از :

PEQA *

WAKE-UP *

ANTICOLLISION *

SELECT *

HALT *

این دستورات از قالبهای فریم و بایت توضیح داده شده استفاده می کند.

۶-۳-۱- دستور REQA

این دستور توسط PCD گشتن PICC های نوع A درون میدان ارسال می شود.

۶-۳-۲- دستور WAKE-UP

این دستور برگرداندن PICC هایی که به حالت HALT وارد شدند تا به حالت READY دوباره باز گردند

توسط PCD ارسال می شود. آنها باید در روندهای ضد تداخل و انتخاب آینده شرکت نمایند.

جدول ۳-۳-۲ کدگذاری WAKE-UP, REQA که از قالب فریم درخواست استفاده می کنند، نشان می دهد.

جدول ۳-۳-۲: کدگذاری فریم درخواست

b7	b6	b5	b4	b3	b2	b1	Meaning
0	1	0	0	1	1	0	'26' = REQA
1	0	1	0	0	1	0	'52' = WAKE-UP
0	1	1	0	1	0	1	'35' = Optional time slot method, see Annex C
1	0	0	x	x	x	x	'40' to '4F' = Proprietary
1	1	1	1	x	x	x	'78' to '7F' = Proprietary
			all other				RFU

۳-۳-۶- دستور ANTICOLLISION و دستور SELECT

این دستورات در مدت یک حلقه ضد تداخل استفاده می شوند. دستورات ANTICOLLISION و SELECT شامل :

* کد انتخاب SEL (۱ بایت)

* تعداد بیت‌های معتبر NVB (یک بایت)

* ۰ تا ۴۰ بیت داده UID CLn مطابق با مقدار NVB. SEL مرحله Cascade (CLn) را مشخص می کند.

NVB تعداد بیت‌های معتبر را VIPCLn ارسالی توسط PCD را مشخص می کند.

تذکر : تا زمانی که NVB ۴۰ معتبر را نشان ندهد، دستور ضد تداخل نامیده می شود، جایی که PICC در حالت READY باقی می ماند. اگر NVB ۴۰ بیت داده UID CLn را نشان دهد (NVB="70")، یک CRC-A باید ضمیمه شود. این دستور SELECT نامیده می شود اگر UID PICC کامل خود را ارسال کرده باشد، از حالت READY به ACTIVE می رود و در پاسخ SAK خود نشان می دهد که UID کامل است. در غیر این صورت، PICC در حالت READY باقی مانده و PCD باید یک حلقه ضد تداخل جدید با مرحله افزایش یافته Cascade را اندازه گیری کند.

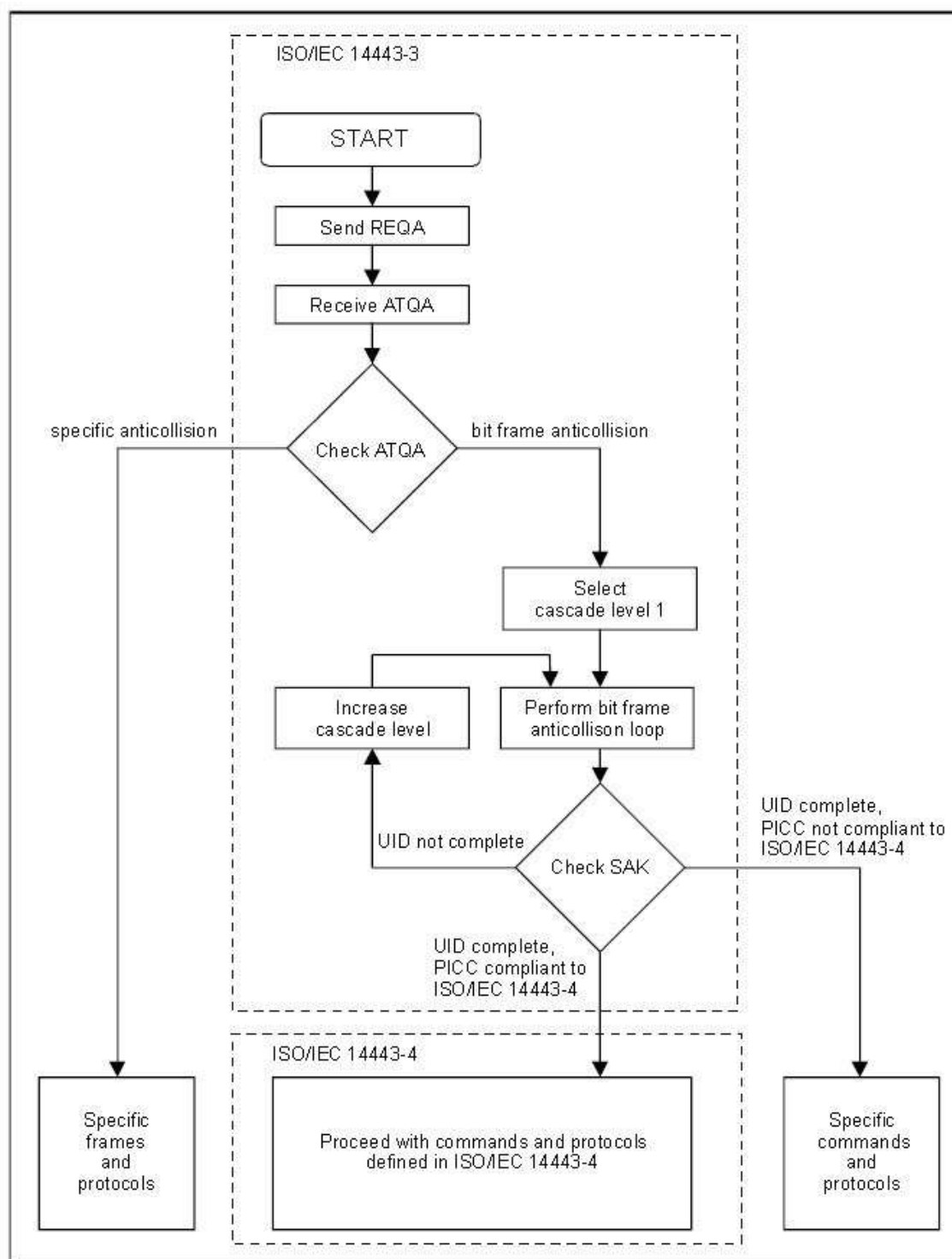
۶-۳-۴- دستور HALT

این دستور شامل ۴ بیت می شود که باید به صورت استاندارد فریم ارسال شود. اگر پاسخ های PICC ها با هر مدولاسیونی در مدت یک میلی ثانیه بعد از پایان فریم HALT باشد، این پاسخ ها باید به عنوان عدم اعتبار معنی شوند.

۶-۴- مراحل انتخاب

هدف از مراحل انتخاب بدست آوردن UID یک PICC و انتخاب این PICC برای ارتباطات بعدی می باشد .

۶-۴-۱ فلوچارت مراحل انتخاب



شکل ۳-۳-۶: فلوچارت راه اندازی و ضد تداخل برای PCD

۶-۴-۲- پاسخ به درخواست ATQA

بعد از دستور در خواست (REQA) توسط PCD ارسال شد، همه PICC ها به طور همزمان ATQA هایشان را ارسال می کنند که به صورت ضد تداخل مناسب در دو بایت داده کد گذاری شده اند.

اگر چندین پاسخ PICC موجود باشد، تداخل ممکن است اتفاق بیفتد. PCD باید یک تداخل را درون ATQA به عنوان b (۱) رمزگشایی کند. این نتیجه می دهد که همه ی ATQA ها با هم OR منطقی شده اند.

۱-۲-۴-۶- رمزنگاری ATQA

MSB								LSB							
b16	b15	b14	b13	b12	b11	b10	b9	b8	b7	b6	b5	b4	b3	b2	b1
RFU								UID size bit frame		RFU	Bit frame anticollision				

جدول ۳-۳-۳: رمزنگاری ATQA

۲-۲-۴-۶- قوانین رمزنگاری برای فریم ضد تداخل بیت

قانون ۱: بیت های b8,b7 نشان دهنده اندازه UID می باشند.

قانون ۲: یکی از پنج بیت b5,b4,b3,b2,b1 باید b (۱) باشد تا نشان دهنده فریم ضد تداخل بیت باشد.

جدول ۴-۳-۳: حالت های b7 و b8

b5	b4	b3	b2	b1	Meaning
1	0	0	0	0	bit frame anticollision
0	1	0	0	0	bit frame anticollision
0	0	1	0	0	bit frame anticollision
0	0	0	1	0	bit frame anticollision
0	0	0	0	1	bit frame anticollision
All other values					RFU

جدول ۵-۳-۳: حالت های

b5

b1 تا

۶-۴-۳- ضد تداخل و انتخاب

۶-۴-۳-۱- حلقه ضد تداخل به همراه مرحله Cascade

الگوریتم زیر باید در حلقه ضد تداخل اعمال شود :

گام ۱ : PCD باید SEL به همراه کد مربوط به نوع ضد تداخل انتخابی و مرحله Cascade اختصاص می دهد.

گام دوم : PCD باید NVB با مقدار «۲۰» را مشخص کند.

تذکر : این مقدار مشخص می کند که PCD هیچ قسمت از UID خود را ارسال نمی کند. در نتیجه این دستور همه PICC های درون میدان را مجبور به ارسال UID CLN کامل خود می کند.

گام ۳ : PCD، SEL و NVB را ارسال می کند.

گام ۴ : همه ی PICC های درون میدان باید UID CLN کامل خود را ارسال کنند.

گام ۵ : با این فرض که PICC های درون میدان شماره سریال منحصر به فرد دارند، در این زمان اگر بیشتر از یک PICC پاسخ دهد، یک تداخل رخ می دهد. اگر هیچ تداخلی ندهد، گام های ۶ تا ۱۰ باید نادیده گرفته شوند.

گام ۶ : PCD باید مکان اولین تداخل را شناسایی کند.

گام ۷ : PCD مقدار NVB را طوری تعیین کند که تعداد بیتها معتبر UID CLN را مشخص کند. بیتهای معتبر باید قسمتی از UIDCLN دریافتی قبل از وقوع تداخل به اضافه یک b (صفر) یا b (۱) باشد، که توسط PCD انتخاب می شود. معمولاً در عمل b (۱) اضافه می کنند.

گام ۸ : NVB PCD و SEL به همراه خود بیتهای معتبر ارسال می کند.

گام ۹ : فقط PICC هایی که قسمت UID CLn آنها برابر با سیستمهای معتبر ارسالی توسط PCD هستند باید بقیه ی UIDCLn خود را ارسال نمایند.

گام ۱۰ : اگر باز تداخل رخ داد، مراحل ۶ تا ۹ تکرار شود. حداکثر تعداد حلقه ها ۳۲ می باشد.

گام ۱۱ : اگر تداخلی دیگر رخ نداد، NVB PCD را با مقدار «۷۰» معین می کند.

تذکر : این مقدار تعیین می کند که UID CLn PCD کامل را ارسال خواهد کرد.

گام ۱۲ : NVB , SEL PCD به همراه ۴۰ بیت UID CLn و همچنین CRC-A کنترل ارسالی می کند.

گام ۱۳ : PICC که UIDCLn آن با ۴۰ بیت مطابقت دارد، SAK خود را ارسال می کند.

گام ۱۴ : اگر UID کامل باشد، PICC باید SAK به همراه بیت Cascade پاک شده ارسال کند و از حالت

READY به ACTIVE برود.

۱۵ : PCD باید

بررسی کند که آیا با

به بیت Cascade

نیازی به حلقه های

تداخل در مراحل

Cascade نیاز

یا خیر.

گام

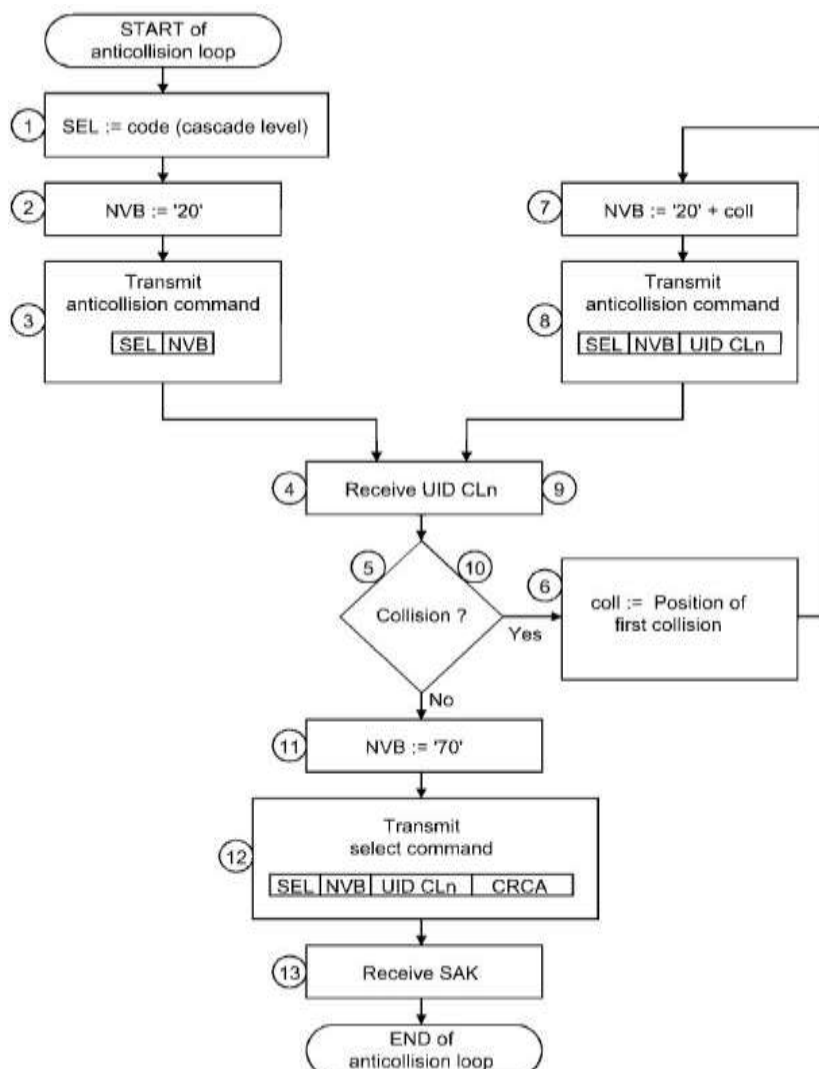
توجه

SAK

ضد

بعدی

هست



شکل ۷-۳-۳ :

حلقه ضد تداخل ،

فلوچارت برای PCD

اگر UID یک PICC شناخته شده باشد، PCD می تواند مراحل ۲ تا ۱۰ را نادیده بگیرد و این PICC را بدون انجام حلقه ضد تداخل انتخاب کند.

۶-۴-۳-۲- رمزنگاری SEL (کد انتخاب)

طول : ۱ بایت مقدارهای ممکن : b7,b5,b3

b8	b7	b6	b5	b4	b3	b2	b1	Meaning
1	0	0	1	0	0	1	1	'93': Select cascade level 1
1	0	0	1	0	1	0	1	'95': Select cascade level 2
1	0	0	1	0	1	1	1	'97': Select cascade level 3
1	0	0	1	other values				RFU

جدول ۳-۳-۶: کدگذاری SEL

۳-۳-۴-۶- رمزنگاری NVB (تعداد بیت‌های معتبر)

طول: ۱ بیت

۴ بیت بالایی عدد بیت نامیده می شوند و تعداد همه ی بیت‌های داده معتبر تقسیم بر ۸ به اضافه ی NVB,SEL ارسال شده توسط PCD را مشخص می کند. در نتیجه، حداقل مقدار عدد بیت ۲ و حداکثر آن ۷ می باشد.

۴ بیت پایینی عدد بیت نامیده می شوند و تعداد بیت‌های معتبر باقی مانده تقسیم بر ۸ که توسط PCD ارسال می شود را مشخص می کند.

b8	b7	b6	b5	Meaning
0	0	1	0	bytecount = 2
0	0	1	1	bytecount = 3
0	1	0	0	bytecount = 4
0	1	0	1	bytecount = 5
0	1	1	0	bytecount = 6
0	1	1	1	bytecount = 7

b4	b3	b2	b1	Meaning
0	0	0	0	bitcount = 0
0	0	0	1	bitcount = 1
0	0	1	0	bitcount = 2
0	0	1	1	bitcount = 3
0	1	0	0	bitcount = 4
0	1	0	1	bitcount = 5
0	1	1	0	bitcount = 6
0	1	1	1	bitcount = 7

جدول ۳-۳-۷: کدگذاری NVB

۳-۳-۴-۶- رمزنگاری SAK (تایید انتخاب)

SAK توسط PICC زمانی ارسال می شود که NVB ۴۰ بیت داده معتبر را معین کرده و همه ی این بیت های داده با UID40 مطابقت داشته باشد. SAK به وسیله فریم های استاندارد و به همراه CRC-A ارسال می شود.

PCD باید بیت b3 را تشخیص کامل بودن UID بررسی کند. رمزنگاری بیت های b6,b3 در جدول زیر داده شده است.

b8	b7	b6	b5	b4	b3	b2	b1	Meaning
x	x	x	x	x	1	x	x	Cascade bit set: UID not complete
x	x	1	x	x	0	x	x	UID complete, PICC compliant with ISO/IEC 14443-4

جدول ۳-۳-۸ : کدگذاری SAK

اگر UID کامل نباشد، PICC باید در حالت READY باقی مانده و PCD باید یک حلقه جدید ضد تداخل با افزایش مرحله Cascade به راه اندازد.

۶-۴-۳-۵- محتویات UID و مرحله Cascade

UID شامل 10,7,4 بابت UID می باشد. در نتیجه، PICC باید حداکثر تا ۳ مرحله Cascade بگذراند تا همه بایتهای UID آن بدست آید. در هر مرحله آبشتر، یک قسمت از UID شامل ۵ بایت باید به PCD ارسال شود. مطابق حداکثر مرحله Cascade، سه اندازه UID تعریف می شود. این اندازه UID باید عدد ثابت باشد.

Maximum cascade level	UID size	Number of UID bytes
1	single	4
2	double	7
3	triple	10

جدول ۳-۳-۹ : اندازه UID

برای محتویات UID تعاریف زیر انجام می گیرد :

$1 \leq n \leq 3$ قسمتی از UID طبق مرحله Cascade n، شامل ۵ بایت، UID CLn

بایت n ام UID، $VID_n, n \geq 0$

بایت بررسی UID CLn، محاسبه شده به صورت انحصاری یا با ۴ بایت قبلی

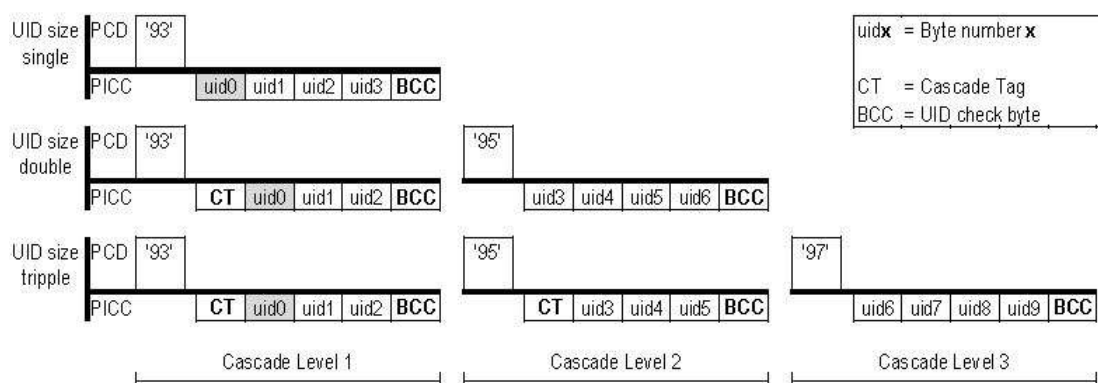
برچسب Cascade، CT ۸۸

UID یک عدد ثابت منحصر به فرد یا یک عدد اتفاقی است که توسط PICC تولید می شود. اولین بایت

(uid) UID نشان دهنده محتویات بایتهای بعدی UID می باشد.

مقدار ۸۸ برچسب CT Cascade نباید برای uid0 در اندازه تکی UID استفاده شود.

مقادیر ۸۱ تا «FE» در استفاده های اختصاصی به کار می روند.



شکل ۳-۳-۸: استفاده از مراحل Cascade

تذکر : هدف از برچسب Cascade تحمیل یک تداخل برای PICC هایی که اندازه کمتری دارند، می باشد.

در نتیجه، UID 0 یا UID3 نباید مقدار برچسب Cascade را داشته باشند.

الگوریتم زیر برای بدست آوردن UID کامل در PCD باید اعمال شود :

گام ۱ : PCD مرحله Cascade ۱ را انتخاب می کند.

گام ۲ : حلقه ضد تداخل باید انجام گیرد.

گام ۳ : PCD باید بیت SAK Cascade را بررسی کند.

گام ۴ : اگر بیت Cascade یک بود، PCD باید مرحله Cascade را افزایش داده و یک حلقه ی ضد

تداخل جدید ایجاد کند.

گام ۵ : زمانی که یک PICC به وسیله UID کاملش انتخاب شد، باید SAK به همراه بیت Cascade صفر

را ارسال کند و از حالت READY به حالت ACTIVE برود.

کارت های شناسایی – مدارات مجتمع کارت های بدون تماس – کارت های نزدیک

قسمت چهارم : پروتکل انتقال

۱ – هدف

در این قسمت از ISO/IEC14443 مسائل زیر توضیح داده می شود :

- انواع روش های فعال کردن پروتکل PICC نوع A.
- نحوه تشخیص خطا در این پروتکل و بازیابی آن
- محتویات قالب های RATS و ATS
- بایتهای ارتباطی TA(1) ، TB(1) ، TC(1)
- دیگر پارامترهای مورد نیاز برای برقراری ارتباط بین PICC,PCD
- غیر فعال سازی پروتکل PICC نوع A

۲ – استاندارد های زیر شامل قوانینی می شوند که در این متن ، قوانین این قسمت از استاندارد ISO/IEC 14443 را تشکیل می دهد .

ISO/IEC 14443 کارت های شناسایی – کارتهای بدون تماس مدار مجتمع – کارتهای نزدیک

ISO/IEC 1۰۳۷۳ کارت های شناسایی – روش های آزمون

ISO/IEC 7816-2 کارت های شناسایی – کارت های مجتمع شده با تماس

۳- تعاریف و عبارات

۳-۱- طول بیت

طول بیت به عنوان يك واحد زمانی اصلي شناخته می شود
(etu) از طریق فرمول زیر محاسبه می شود :

$$1 \text{ etu} = 128/(D=fc)$$

مقدار ابتدایی D باید ۱ باشد. بنابراین etu ابتدایی عبارتست از :

$$1 \text{ etu} = 128/fc$$

فرکانس کریر fc در ISO/IEC 14443 مشخص شده است.

۳-۲- بلوک

یک نوع فریم ویژه می باشد که شاقمل یک قالب پروتکل داده معتبر است یک قالب پروتکل داده معتبر شامل بلوک A، بلوک R و بلوک S می باشد.

۳-۳- بلوک نامعتبر

یک نوع فریم که شامل قالب پروتکل نامعتبر است. یک ایست، زمانی که هیچ فرمی دریافت نشده باشد، به معنی بلوک نامعتبر نمی باشد.

۳-۴- فریم

در ISO/IEC14443-3 توضیح داده شده است PICC نوع A از فریم استاندارد تعریف شده برای نوع A استفاده می کند.

۴ - نماد ها

ACK	positive ACKnowledgement
ATS	Answer To Select
CID	Card IDentifier
D	Divisor
etu	elementary time unit

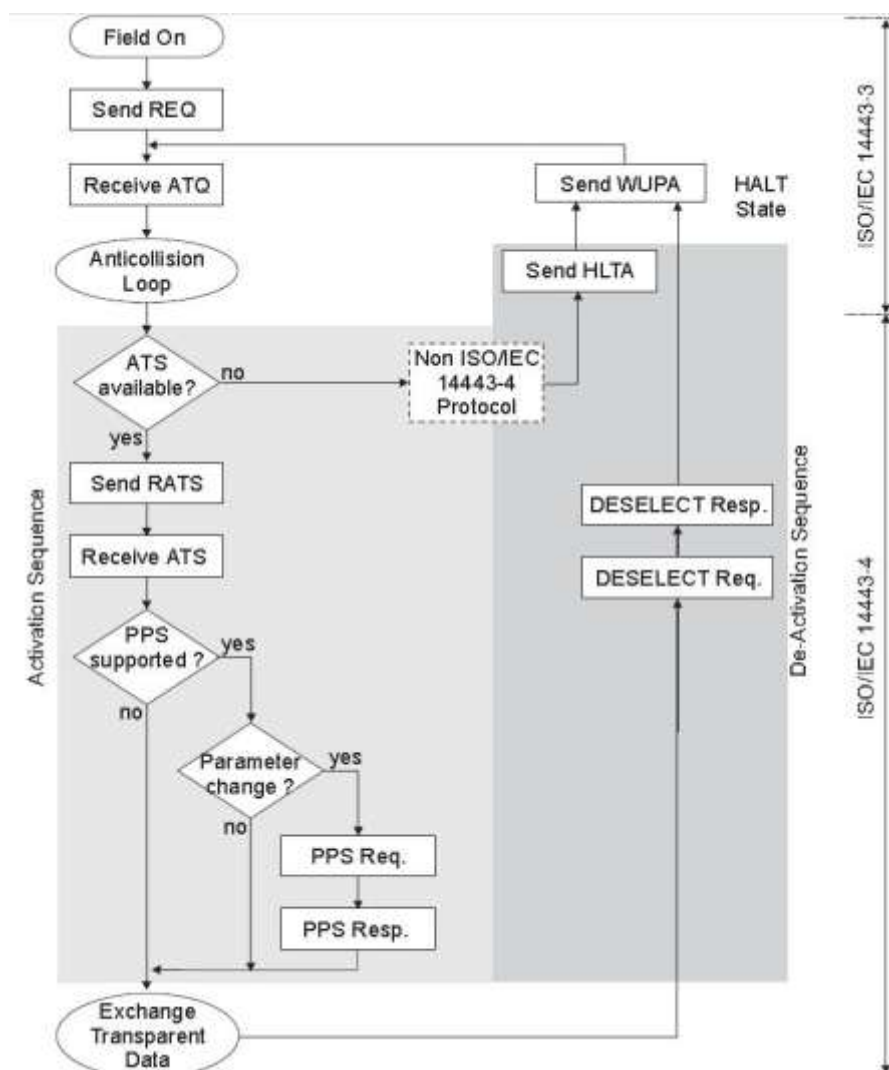
fc	carrier frequency
FSC	Frame Size for proximity Card
FSCI	Frame Size for proximity Card Integer
FSD	Frame Size for proximity coupling Device
FSDI	Frame Size for proximity coupling Device Integer
FWI	Frame Waiting time Integer
FWT	Frame Waiting Time
FWT _{temp}	temporary Frame Waiting Time
I-block	Information block
INF	INformation Field
NAD	Node Address
PCD	Proximity Coupling Device
PICC	Proximity Card
PPS	Protocol and Parameter Selection
PPSS	Protocol and Parameter Selection Start
PPS0	Protocol and Parameter Selection 0
PPS1	Protocol and Parameter Selection 1
R-block	Receive ready block
RATS	Request for Answer To Select
RFU	Reserved for Future Use
S-block	Supervisory block
SAK	Select AcKnowledge
SFGI	Start-up Frame Guard time Integer
SFGT	Start-up Frame Guard Time

۵ فعال شدن پروتکل PICC نوع A

مراحل فعال سازی زیر باید اعمال شود :

- * مراحل فعال سازی توضیح داده شده در ISO/IEC14443-3 (در خواست حلقه ضد تداخل و انتخاب)
- * در شروع بایت SAK وجود یک ATS باید بررسی شود. SAK در ISO/IEC14443-3 توضیح داده شده است.
- * PICC ممکن است به حالت HALT رفته باشند، با استفاده از دستور HALT که در بخش ۳ توضیح داده شده است، اگر هیچ ATS موجود نباشد.
- * RATS ممکن است توسط PCD به عنوان دستور بعدی بعد از دریافت SAK که ATS در آن موجود است، ارسال شود.
- * PICC باید ATS خود را به عنوان پاسخ RATS ارسال کند. PICC باید فقط به RATS پاسخ دهد اگر RATS دقیقاً بعد از انتخاب دریافت شود.
- * اگر PICC از پارامترهای قابل تغییر در AIS پشتیبانی می کند، یک درخواست PPS ممکن است توسط PCD به عنوان دستور بعدی بعد از دریافت ATS برای تغییر پارامترها استفاده شود.
- * PICC باید یک پاسخ PPS به عنوان جواب PPS در خواستی ارسال کند.
- یک PICC نیازی به انجام عملیات PPS ندارد زمانی که پارامترهای قابل تغییر در ATS را پشتیبانی نمی کند.

شکل ۳-۴-۱ : فعالسازی PICC نوع A توسط PCD



۵-۱- در خواست برای پاسخ به انتخاب (RATS)

این بند RATS با تمام جزئیات را بیان می کند.

بایت پارامتر شامل دو قسمت می شود :

* نیم بایت بالا b5 تا b8، FSDI نامیده می شود و FSD را رمز نگاری می کند. FSD بزرگترین اندازه فریم

می باشد که PCD می تواند دریافت کند. رمزنگاری FSD در جدول ۱ داد شده است .

* نیم بایت پایینی b4 تا b1، CID نامیده می شود و نشان دهنده عدد منطقی PICC مورد نظر در

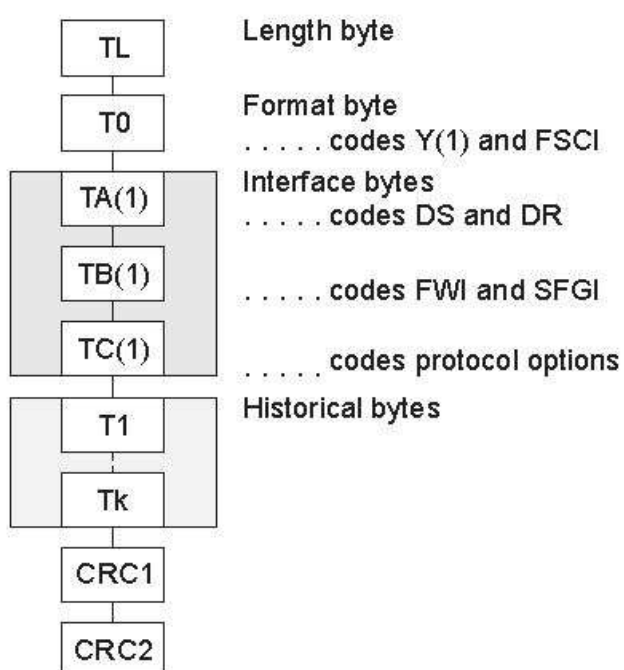
محدوده ۰ تا ۱۴ می باشد. مقدار ۱۵ RFU می باشد. CID توسط PCD مشخص می شود و باید برای همه

ی PICC ها منحصر به فرد باشد که به طور همزمان در حالت ACTIVE هستند. CID برای زمانی که PICC فعال است ثابت می باشد و PICC باید از CID به عنوان شناساگر خود استفاده کند که در اولین RATS بدون خطا دریافت می شود.

۵-۲- پاسخ به انتخاب ATS

این بند ATS با همه جوانبش را مشخص می کند.

در حالتی که یکی از موارد در یک ATS ارسالی توسط یک PICC موجود نباشد، مقدار پیش فرض باید برای آن مورد اعمال شود.



شکل ۳-۴-۲: بدنه ی ATS

۵-۲-۱- بدنه ی بایت ها

اندازه طول بایت TL به همراه تعداد متعددی بایتهای اختیاری بعدی به ترتیب زیر می باشد:

* قالب بایت To

* بایتهای ارتباطی TA(1)، TB(1)، TC(1)

* بایتهای گذشته T1 تا Tk

۵-۲-۲- طول بایت

طول بایت TL اجباری است و طول ATS ارسالی به همراه خودش را مشخص می کند. دو بایت CRC به TL اضافه نمی شوند.

حداکثر اندازه ATS نباید از FSD نشان داده شده تجاوز کند. بنابراین حداکثر مقدار TL نباید از FSD-2 تجاوز کند.

۵-۲-۳- قالب بایت

قالب بایت To اختیاری است و از زمانی که طول بیشتر از یک شود، موجود می باشد. ATS فقط می تواند بایتهای اختیاری زیر باشد، در زمانی که این قالب بایت موجود باشد.

To شامل سه قسمت می باشد :

* با ارزش ترین بیت b8 باید صفر باشد. مقدار یک REU می باشد.

* بیتهای b5, b6, b7 نشان دهنده ی حضور بایت های ارتباطی بعد TA(1)، TB(1)، TC (1) می باشد.

* نیم بایت کم ارزش پینی b4 تا b1، FSCI نامیده می شود و FSC را رمز نگاری می کند، FSC حداکثر اندازه یک فریم قبول شده توسط PICC می باشد. مقدار پیش فرض FSCI، ۲ می باشد که نشان دهنده ی یک FSC ۳۲ بیتی می باشد. رمزنگاری FSC مشابه رمزنگاری FSD می باشد.

۵-۲-۴- بایت ارتباطی TA(1)

این بایت شامل ۴ قسمت می شود.

* بیت با ارزش b8، احتمال به کارگیری مقسوم علیه های مختلف را در هر جهت رمزنگاری می کند. وقتی این بیت یکی می شود PICC قادر به این کار نمی باشد.

* بیت های b5 تا b7 ظرفیت نرخ بیت PICC برای جهت PICC به PCD رمزنگاری می کند که DS نامیده می شود. مقدار پیش فرض باید (۰) باشد.

* بیت b4 باید صفر شود و مقدار دیگر برای RFU می باشد.

* بیت های b1 تا b3 ظرفیت نرخ بیت PCD به PICC را که DR نام دارد، کدگذاری می کند. مقدار پیش فرض باید b (۰) باشد.

انتخاب یک مخرج خاص D در هر جهتی توسط PCD از طریق PPS امکان پذیر است.

۵-۲-۵ بایت ارتباطی TB(1)

این بایت برای مشخص کردن زمان تاخیر فریم و زمان گارد فریم آغازین می باشد.

بایت ارتباطی TB(1) شامل دو قسمت می باشد :

* نیم بایت بالایی b5 تا b8، FWI نامیده می شود و FWT را رمزنگاری می کند.

* نیم بایت پایینی b1 تا b4، SFGI نامیده می شود و یک متغیر ضرب کننده برای تعیین SFGT را رمزنگاری می کند. SFGT زمان گارد خاص مورد نیاز PICC قبل از آماده شدن برای دریافت فریم بعدی بعد از ارسال ATS را مشخص می کند. SFGI در محدوده ۰ تا ۱۴ رمزنگاری می شود. مقدار ۱۵ برای RFU می باشد. مقدار صفر نشان دهنده این است که هیچ SFGT مورد نیاز نیست و مقادیر در محدوده ۱ تا ۱۴ برای محاسبه SFGT استفاده می شوند. مقدار پیش فرض SFGI برابر صفر است.

SFGI از طریق فرمول های زیر محاسبه می شود :

$$SFGI = (256 * 16 / f_c) * 2^{SFGI}$$

$$SFGT_{MAX} \sim 4g4gms$$

۵-۲-۶- بایت ارتباطی TC(1)

این بایت یک پارامتر پروتکل را مشخص می کند.

بایت ارتباطی TC(1) خاص شامل دو بخش می شود :

* بایت های با ارزش b8 تا b3، b (000000) هستند و دیگر مقادیر REU می باشند.

* بیت های b1, b2 نشان دهنده زمینه اختیاری که PICC از آن پشتیبانی می کند، می باشد. PCD نباید زمینه ای که PICC از آن پشتیبانی نمی کند را ارسال کند. مقدار پیش فرض باید b(10) باشد که نشان دهنده پشتیبانی از CID و پشتیبانی نکردن از NAD می باشد.

۵-۳- زمان انتظار فریم فعال سازی

این زمان مشخص کننده ی حداکثر زمان برای یک PICC برای شروع ارسال پاسخ بعد از پایان یک فریم رسیده توسط PCD می باشد و مقدار $f_c / 65536$ ($4833 \mu s$) را دارد.

تذکر : حداقل زمان بین فریم ها در هر جهت در ISO/IEC14443-3 مشخص شده است.

۵-۴- شناسایی و بازیابی خطا

۵-۴-۱- کار با ATS, RATS

۵-۴-۱-۱- قوانین PCP

وقتی PCP، PATS را فرستاد و یک ATS معتبر دریافت کرد، PCD باید عملیات را ادامه دهد.

در موارد دیگر PCD ممکن است یک درخواست PPS را درباره ارسال کند و به عملیات ادامه دهد.

۵-۴-۱-۲- قوانین PICC

وقتی که PICC یک RATS دریافت کرد، ATS خود را ارسال کرده و

۱- یک درخواست PPS معتبر دریافت می کند، PICC باید :

* پاسخ PPS را ارسال کند.

* درخواست PPS را غیر فعال کند (پاسخ طولانی به درخواست های دریافتی PPS ندهد) و

* پارامتر دریافتی را فعال کند.

۲- یک بلوک نامعتبر دریافت کند، PICC باید.

* درخواست PPS را غیر فعال کند و

* در حالت دریافت باقی بماند.

۳- یک بلوک معتبر دریافت کرده، به جز یک درخواست PPS، PICC باید :

* درخواست PPS را غیر فعال کند و

* به عملیات ادامه دهد.

۵-۴-۳- کار با CID در مدت فعالسازی

وقتی PCD یک RATS ارسال کند که شامل یک $CID=n$ که با صفر برابر نیست و :

۱- یک AIS دریافت کند که نشان دهد CID پشتیبانی می شود. PCD باید

* بلوکهایی که شامل $CID=n$ است را به این PICC ارسال کند و

از $CID=n$ برای RATS های بعدی در زمانی که PICC در حالت ACTIVE هست استفاده نکند.

۲- یک ATS دریافت کند که نشان دهد از CID پشتیبانی نمی کند، PCD باید :

* بلوکهایی شامل هیچ CID نیست به این PICC ارسال کند و تا زمانی که این PICC در حالت ACTIVE است، هیچ PICC دیگری را فعال نکند.

وقتی PCD یک RATS که شامل یک CID برابر صفر ارسال کند و

۱- یک ATS دریافت کند که نشان دهد CID پشتیبانی می شود، PCD

* بلوکهایی شامل CID برابر با صفر به این PICC ارسال کند و

* تا زمانی که این PICC در حالت ACTIVE است، هیچ PICC دیگری را فعال نکند.

۲- یک ATS دریافت کند که نشان دهد CID پشتیبانی نمی شود، PCD باید

* بلوکهایی که شامل هیچ CID شود به این PICC ارسال کند.

۶- غیر فعال کردن پروتکل نوع PICC A

PICC باید به حالت HALT رفته بعد از اینکه معاملات بین PCD و PICC کامل شده باشد.

غیر فعال کردن یک PICC با استفاده از دستور DESELECT انجام می پذیرد.

دستور DESELECT به عنوان یک پروتکل بلوک S رمز نگاری می شود و شامل یک بلوک در خواست (DESELECT) S ارسالی توسط PCD و یک پاسخ S(DESELECT) به عنوان تایید ارسالی توسط PICC می باشد.

۶-۱- زمان انتظار فرمی غیر فعال ساز

این سازمان حداکثر زمان برای یک PICC برای آغاز ارسال فریم پاسخ S(DESELECT) خودش بعد از اتمام فریم در خواست S(DESELECT) در خواستی از PCD می باشد و مقدار $65536/f_c$ ($4833\mu s$) را دارد.

۶-۲- بازیابی و شناسایی خطا

وقتی PCD یک درخواست S (DESELECT) ارسال می کند و یک پاسخ S (DESELECT) دریافت کند،

PICC به طور موفق به حالت HALT وارد می شود و CID مربوط به آن آزاد می شود.

وقتی PCD موفق به دریافت یک پاسخ S (DESELECT) نشود، PCD ممکن است مراحل غیر فعال سازی را

دوباره تکرار کند.

فصل چهارم

نمونه عملی RFID ضدتداخل

۱-۴) مقدمه

در این فصل به بررسی یک نمونه مدار عملی در زمینه سیستم های RFID ضد تداخل می پردازیم . این مدار را می توان به دو بخش تقسیم کرد : بخش اول شامل قسمت پردازشی و کنترلی سیستم می شود و در بخش دوم شامل یک سیستم RFID که قابلیت ضدتداخل داشته باشد می باشد . در بخش پردازشی مدار من از یک میکروکنترلر ATmega32 که بسیار در بازار رایج است استفاده کرده ام . همچنین این بخش شامل یک LCD برای نمایش اطلاعات درون یک تگ که در اینجا به صورت کارت می باشد ، استفاده می شود . در بخش سیستم RFID من از ماژول RFID ، YLMF018 استفاده کرده ام . همچنین از تگ کارت های s50 دارای حافظه ی ۱ کیلو بیاتی استفاده شده است . همچنین ۳ عدد کلید نیز روی پایه های میکرو قرار دارد .

۴-۲) نحوه کار مدار

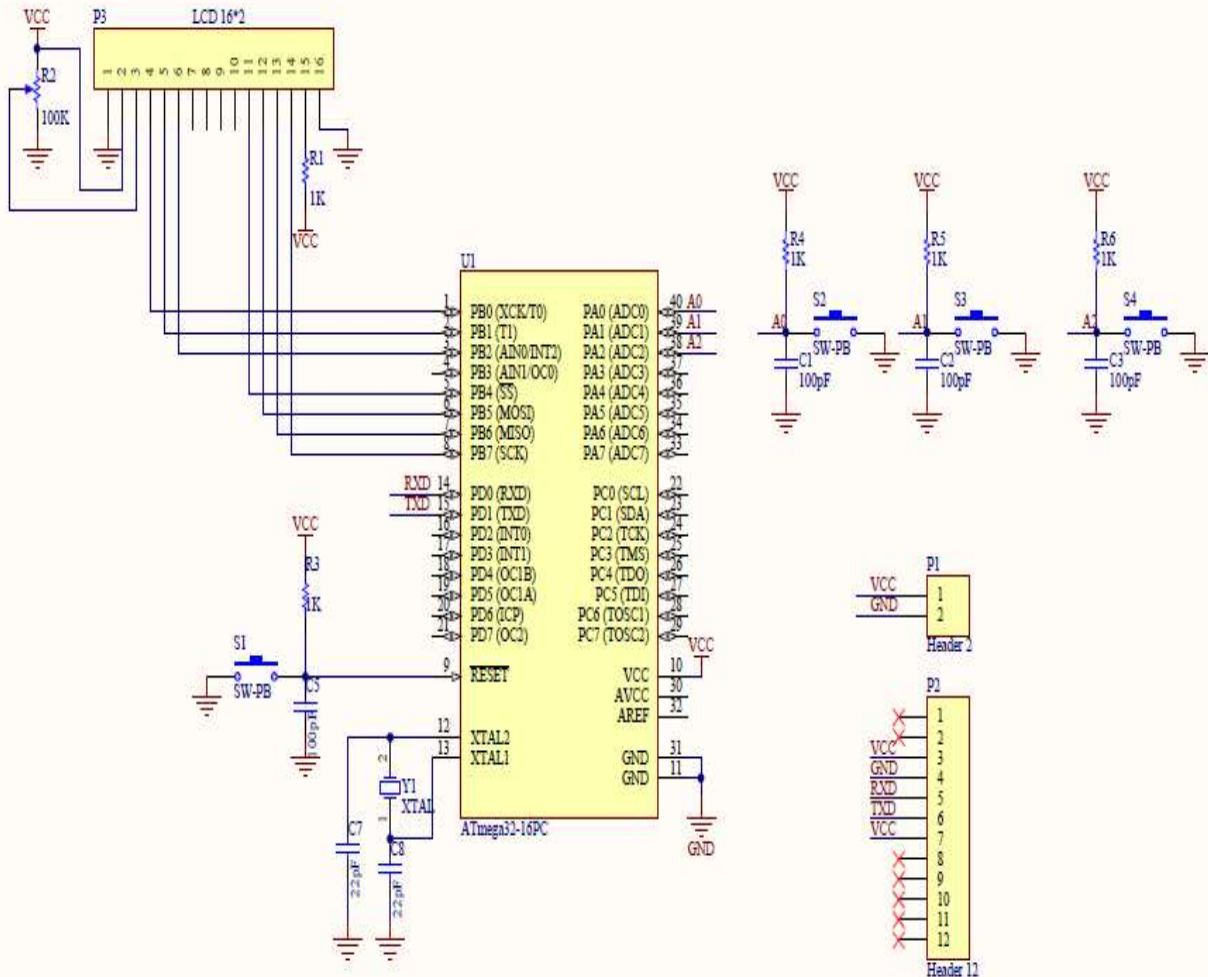
نحوه کار مدار به این صورت است که در ابتدای کار پس از راه افتادن مدار و قبل از این که هیچ کارتی را روی دستگاه قرار ندادیم ، مدار عدم حضور کارت را به ما اطلاع دهد . حال اگر ما کارتی را در محدوده عملیاتی این مدار که حدود ۱۰ سانتی متر می باشد وارد کنیم ، سیستم به کارت مورد نظر متصل شده و مقدار عددی که قبلا درون این کارت ذخیره شده را بر روی LCD نشان می دهد. در این حالت ما سه کار مختلف با سه کلید تعبیه شده بر روی پایه های میکرو می توانیم انجام دهیم. با زدن کلید اول مقدار درون حافظه کارت با فشار دادن هر بار کلید یک واحد از عدد درون کارت کم شود . با فشار دادن کلید دوم مثلاً به عنوان شارژ کارت ۱۰۰ واحد درون این کارت واریز شود ، و اگر از قبل مقداری درون این کارت باشد این عدد به آن اضافه شود . و در آخر با فشار دادن کلید سوم عدد درون کارت به طور کل پاک شود و عدد صفر جایگزین آن شود . همه ی این کار ها را باید بتوان در حضور دیگر کارت ها نیز انجام داد یعنی اگر سیستم به یک کارت متصل است حضور دیگر کارت های درون میدان باعث تداخل در ارتباط بین کارت و سیستم نشوند . و اینگونه سیستم ضدتداخل بودن خود را اثبات خواهد کرد .

۴-۳ بررسی اجزا مدار پردازشگر

همانطور که ذکر شد از یک میکروکنترلر Atmega32 به عنوان هسته مرکزی قسمت پردازشی مدار استفاده شده است . برای راه اندازی این میکروکنترلر از یک کریستال ۸ مگاهرتز استفاده شده تا دقت کار مدار را به بالاترین حد ممکن برساند . از کلید های Push Bottun (کلید فشاری) Normally open بر روی پایه های مدار استفاده شده و برای کارایی بهتر ای پایه ها را Pull Up خارجی کردم. از یک LCD کاراکتری ۱۶*۲ به عنوان نمایشگر سیستم استفاده کردم .

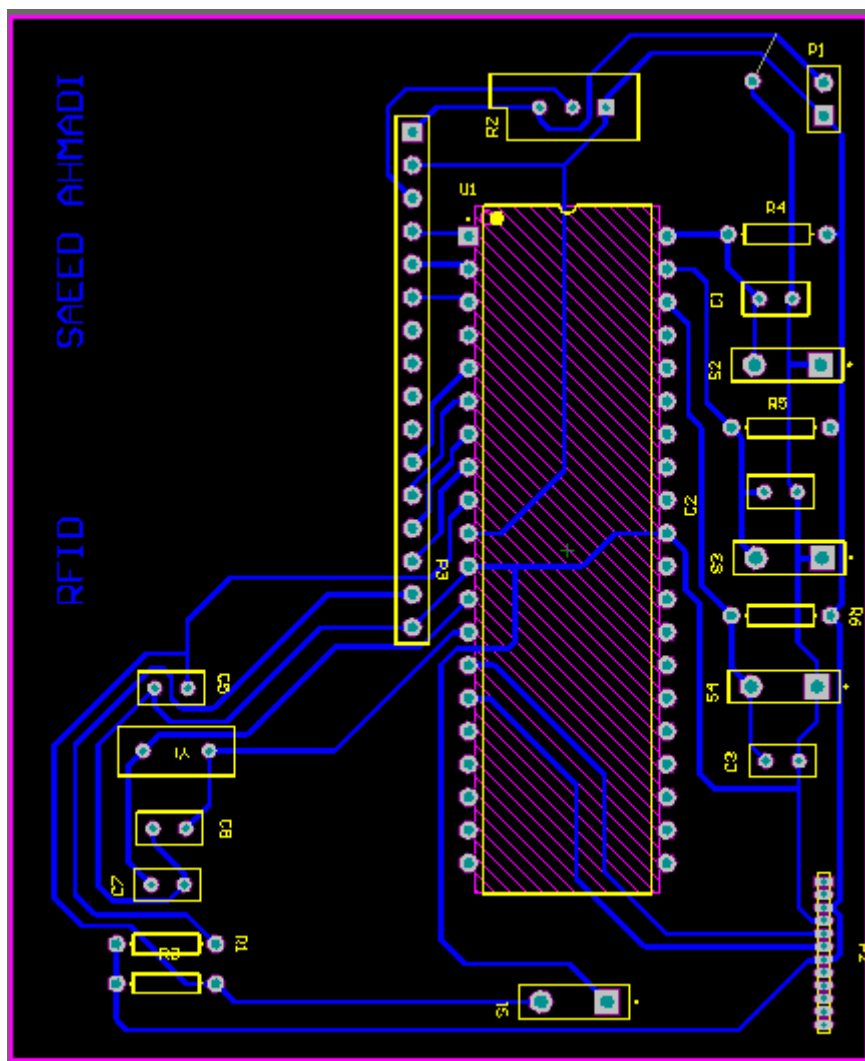
۴-۴ بررسی نمای شماتیک و PCB مدار پردازشگر

در تصویر زیر شماتیک مدار را می بینید . همانطور که مشاهده می فرمایید Lcd به پورت B متصل شده است و همچنین سه کلید فشاری ما به ترتیب به پایه های PA0 ، PA1 و PA2 متصل اند.



شکل ۴-۱: نمای شماتیک مدار پردازشگر

در صفحه بعد نیز نمای PCB مدار را خواهید دید . لازم به ذکر است که این کار توسط برنامه Altium Designer انجام شده است .



شکل ۴-۲: نمای PCB مدار پردازشگر

به این دلیل مدار را بزرگ و با جاهای خالی زیاد طراحی کردم که هم LCD خارج از برد نیفتد و همچنین از لحاظ هزینه هیچ تفاوتی با یک برد کوچکتر نمی کرد .

۴-۵ ماژول YLMF018

همانطور که در بالا ذکر شد از ماژول YLMF018 در بخش RFID استفاده شده است . این ماژول از آی سی MFRC500 به عنوان هسته ی مرکزی سیستم RFID خود بهره می برد . این آی سی ساخت شرکت NXP می باشد و از تمام بخش های استاندارد ISO/IEC 14443 A پشتیبانی می کند . این

آی سی یا به طور کلی این استاندارد با فرکانس 13.56 مگاهرتز کار می کند . این ماژول از استاندارد Mifare که در ادامه به ویژگی های آن می پردازیم ، پشتیبانی می کند .

۴-۵-۱ استاندارد Mifare

- ۱۰۲۴ کیلو بایت حافظه EEPROM که به ۱۶ قسمت ۶۴ کیلوبایتی تقسیم شده است
- قابلیت نوشتن ۱۰۰۰۰۰ بار
- قابلیت نگهداری اطلاعات تا ۱۰ سال
- پشتیبانی از ISO/IEC 14443 A
- نرخ داده ۱۰۶ کیلوبیتی
- ضد تداخل بیعی
- محدوده عملیاتی تا حداکثر ۱۰ سانتی متر
- شماره سریال منحصر به فرد ۴ بایتی
- مولد عدد تصادفی
- کلید دسترسی ۲ بایتی برای هر بخش
- حالت دسترسی انفرادی به هر بخش

۴-۵-۲ ویژگی های فنی

- تغذیه : ۵ ولتی ، ۸۰ تا ۱۰۰ میلی آمپر
- رابط RS232 یا TTL232
- سرعت انتقال : 19200 bps
- فاصله خواندن و نوشتن تا حداکثر ۱۰۰ میلی متر بسته به تگ

- دمای ذخیره : $+80 \sim -40$ درجه سانتی گراد

- دمای کار : $0 \sim +70$ درجه سانتی گراد

۴-۵-۳ تنظیمات ارتباط

پروتکل ارتباطی بیت گرا می باشد . هر دو بیت های ارسالی و دریافتی به صورت هگز می باشند . پارامتر

های ارتباط به صورت زیر می باشند :

Baud rate: 19200 bps

Data: 8 bits

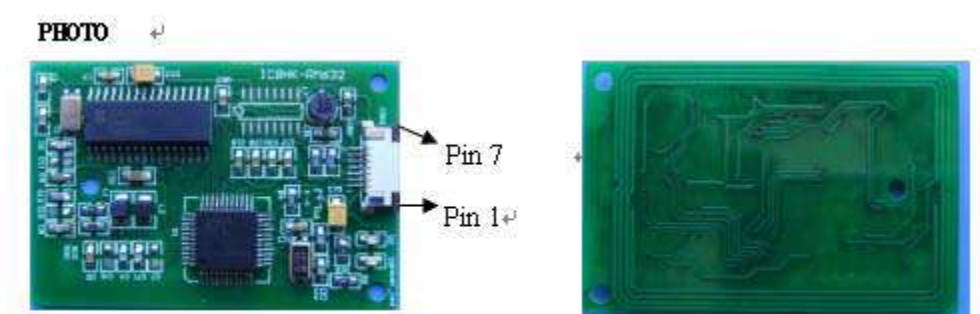
Stop: 1 bit

Parity: None

Flow control: None

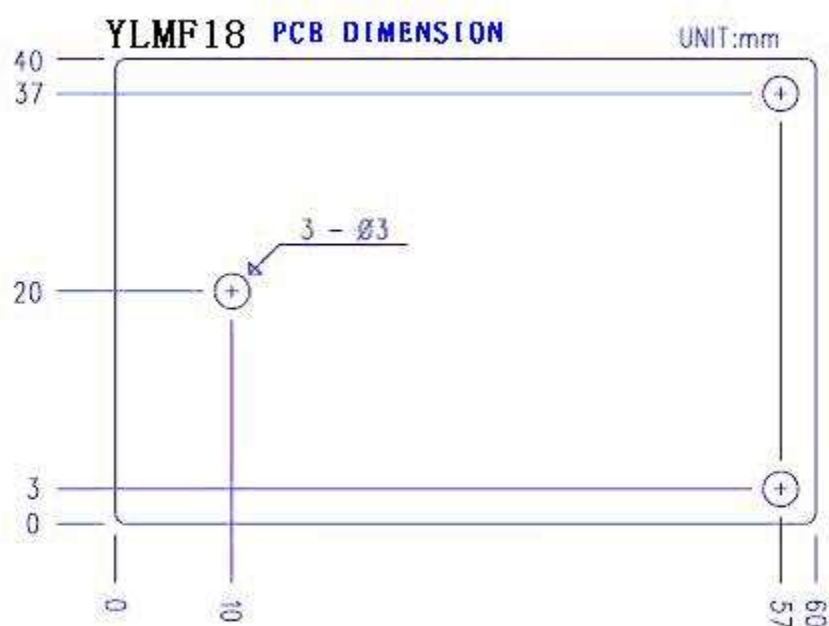
۴-۵-۴ تصویر و ابعاد ماژول

در زیر تصویر یک ماژول YLMF018 را مشاهده می کنید .



شکل ۴-۳ : ماژول YLMF018

ابعاد این ماژول به صورت زیر می باشد :



شکل ۴-۴ : ابعاد ماژول YLMF018

در جدول زیر طریقه پین های خروجی را نشان می دهد :

NO	Define
1	Reserve
2	Reserve
3	VCC(+5V)
4	GND
5	RX
6	TX
7	VCC(+5V)

جدول ۴-۱ : پایه های خروجی YLMF018

۴-۵-۵ ویژگی ماژول

Parameter	Min	Type	Max	Units
Voltage	4.5	5.0	5.5	V
Current (include antenna)		90		mA
Initialization time	100		500	MS
Operating temperature	-25		+85	°C
Storage temperature	-40		+125	°C

جدول ۴-۲: ویژگی YLMF018

۴-۵-۶ پروتکل ارتباطی

هر بایت ارسالی یا دریافتی به صورت های زیر می باشد :

COMMAND :

	Data length (Byte)		XOR	SUM
Head	02	Fixed: 0xAA , 0xBB		
Length	02	There are several effective bytes that including XOR follows this column.	FF	00
Node ID	02	Destination Node Address Number. xx xx: Low byte first 00 00: Broadcast to each reader.	X	S
Function code	02	It will be transmission ability of each different command . Low byte first	X	S
Data	00~D0	Data length is not fixed, according to its purpose.	X	S
XOR	01	XOR each byte from Node ID to Last Data byte with 0xFF.		S

جدول ۴-۳: قالب دستور ارسالی

REPLY DATA FORMAT :

	Data length (Byte)			
Head	02	Fixed: 0xAA , 0xBB		
Length	02	There are several effective bytes that including XOR follows this column.		
Node ID	02	Destination Node Address Number. xx xx: Low byte first 00 00: Broadcast to each reader.		
Function code	02	It will be transmission ability of each different command . Low byte frist		
Status	1	Reply result , if succeed is 0 ,other fail .		
Data	00~D0	Data length is not fixed, according to its purpose.		
XOR	01	XOR each byte from Node ID to Last Data byte		

جدول ۴-۴ : قالب اطلاعات دریافتی

۴-۵-۷ دستورات

دستور راه اندازی پورت ارتباطی **0x0101** :

عملکرد : تنظیم Baud Rate

قالب : "Baud_para" "xor Chk" 01 01 00 00 06 bb aa

Baud_parameter :

0 = 4800;

1 = 9600;

2 = 14400;

3 = 19200;

4 = 28800;

5 = 38400;

6 = 57600;

7 = 115200;

دستور خواندن نوع دستگاه **0x0104** :

عملکرد : مدل و ورژن دستگاه را می خواند .

دستور تنظیم حالت آنتن 0x010c :

عملکرد : ON و OFF کردن آنتن

قالب : aa bb 06 00 00 00 0c 01 x 0D

اگر x صفر باشد آنتن در وضعیت خاموش و اگر یک باشد آنتن روشن خواهد شد .

دستور درخواست MIFARE 0x0201 :

عملکرد : ارسال درخواست کارت های نوع A

قالب : aa bb 06 00 00 00 01 02 req_code XOR

Req_code = 0x52 به همه کارت های درون محدوده درخواست را ارسال می کند .

Req_code = 0x26 فقط به کارت هایی که در حالت idle هستند ارسال می کند .

دستور ضدتداخل مایفر 0x0202 :

عملکرد : عملیات استخراج یک کارت از بین دیگر کارت ها

۴ بایت آخر دریافتی ، شماره سریال منحصر به فرد کارت مورد نظر می باشد .

دستور انتخاب مایفر 0x0203 :

عملکرد : انتخاب کارت

قالب : aa bb 09 00 00 00 03 02 xx xx xx xx XOR

بایت نهم تا دوازدهم شماره سریال کارت مورد انتخاب باید باشد .

دستور تصدیق مایفر 0x0207 :

عملکرد : تصدیق کارت مورد نظر

قالب : aa bb xx 00 00 00 07 02 Auth_mode Block xx xx xx xx xx XOR

Auth_mode = حالت تصدیق , کلید A = 0x60 و کلید B = 0x61

Block = بلوک مورد نظر برای تصدیق

دستور خواندن مایفر 0x0208 :

عملکرد : خواندن بلوک انتخابی کارت مورد نظر

قالب : aa bb 06 00 00 00 08 02 Block XOR

Block = بلوک مورد نظر برای خواندن

در جواب دریافتی بایت دهم تا بایت بیست و پنجم ، بایت های دیتا می باشند .

دستور نوشتن مایفر 0x0209 :

عملکرد : نوشتن در بلوک دلخواه بر روی کارت مورد نظر .

قالب :

aa bb 16 00 00 00 09 02 Block

D0 D1 D2 D3 D4 D5 D6 D7 D8 D9 Da Db Dc Dd De Df XOR

Block = بلوک مورد نظر

D0-Df = ۱۶ بایت برای نوشتن می باشند .

دستور قطع ارتباط مایفر 0x0204 :

عملکرد : قطع ارتباط بین کارت از قبل وصل شده و ماژول

قالب : aa bb 05 00 00 00 04 02 06

۴-۶ برنامه میکرو

برای برنامه نویسی از برنامه CodevisionAVR و مشخصا زبان C استفاده کرده ام . برای اتصال به یک

کارت مایفر باید به طریق زیر عمل کرد :

۱. روشن کردن آنتن ماژول

۲. ارسال دستور درخواست مایفر Request mifare

۳. ارسال دستور ضدتداخل مایفر Anticollision mifare

۴. سریال کارت به دست آمده از دستور قبل را در دستور انتخاب مایفر (Select Mifare) استفاده کرده و ارسال کنیم .

۵. انتخاب بلوک دلخواه و ارسال آن با دستور تصدیق مایفر (Authentication Mifare) به همراه کلید انتخابی

بعد از انجام این مراحل می توان در بلوک انتخابی یک کارت اطلاعات نوشت یا اطلاعات آن را خواند .

در برنامه زیر نیز همه این مراحل در یک مرحله ساختگی Connect انجام می شود . این برنامه شامل دو فایل Main.c و Mifare.c می باشد .

: Main.c

```
#include <mega32.h>
```

```
#include <delay.h>
```

```
#include "mifare.h"
```

```
#include <alcd.h>
```

```
#include <stdio.h>
```

```
// Declare your global variables here
```

```
char rx_buffer[26];
```

```
unsigned char rx_index;
```

```
unsigned char data[16]={48,48,48,48,48,48,48,48,48,48,48,48,48,48,48,48};
```

```
unsigned char test[9]={0xaa,0xbb,0x05,0x00,0x00,0x00,0x04,0x01,0x05};
```

```
unsigned char temp[20];
```

```
void main(void)
```

{

// Declare your local variables here

unsigned char i;

bit j=0;

PORTA=0x00;

DDRA=0x00;

PORTB=0x00;

DDRB=0x00;

PORTC=0x00;

DDRC=0x00;

PORTD=0x00;

DDRD=0x00;

TCCR0=0x00;

TCNT0=0x00;

OCR0=0x00;

TCCR1A=0x00;

```
TCCR1B=0x00;
```

```
TCNT1H=0x00;
```

```
TCNT1L=0x00;
```

```
ICR1H=0x00;
```

```
ICR1L=0x00;
```

```
OCR1AH=0x00;
```

```
OCR1AL=0x00;
```

```
OCR1BH=0x00;
```

```
OCR1BL=0x00;
```

```
ASSR=0x00;
```

```
TCCR2=0x00;
```

```
TCNT2=0x00;
```

```
OCR2=0x00;
```

```
MCUCR=0x00;
```

```
MCUCSR=0x00;
```

```
TIMSK=0x01;
```

```
#asm("sei")
```

```
// USART initialization
```

```
// Communication Parameters: 8 Data, 1 Stop, No Parity
```

```
// USART Receiver: On
```

```
// USART Transmitter: On
```

```
// USART Mode: Asynchronous
```

```
// USART Baud Rate: 19200
```

```
UCSRA=0x00;
```

```
UCSRB=0x18;
```

```
UCSRC=0x86;
```

```
UBRRH=0x00;
```

```
UBRRL=0x19;
```

```
ACSR=0x80;
```

```
SFIOR=0x00;
```

```
ADCSRA=0x00;
```

```
SPCR=0x00;
```

```
TWCR=0x00;
```

```
lcd_init(16);
```

```
lcd_clear();
```

```
lcd_gotoxy(0,0);
```

```
delay_ms(20);
```

```
lcd_putsf("Be Name Alim");
```

```
delay_ms(2000);
```

```
lcd_clear();
```

```
lcd_gotoxy(0,0);
```

```
for(i=0;i<9;i++)
```

```
{
```

```
    putchar(test[i]);
```

```
};
```

```
for(i=0;i<20;i++)
```

```
{
```

```
    temp[i]=getchar();
```

```
};
```

```
for(i=9;i<20;i++)
```

```
{
```

```
    lcd_putchar(temp[i]);
```

```
    delay_ms(5);
```

```
};
```

```
UCSRB=0x98;
```

```
delay_ms(2000);
```

```
for(i=0;i<20;i++)
```

```
{
```

```
    temp[i]=0;
```

```
};
```

```
        if(cmd_setanten(1));  
        delay_ms(2000);  
        lcd_clear();  
        lcd_gotoxy(0,0);  
        while (1)  
        {  
            if(connect(4))  
            {  
                lcd_clear();  
                lcd_gotoxy(0,0);  
                delay_ms(5);  
                lcd_putsf("Credit Card :");  
                delay_ms(1);  
                lcd_gotoxy(0,1);  
                cmd_readmifare(4,data);  
                for(i=16;i>0;i--)  
                {  
                    if((data[(i-1)]==48)&&j==0) j=0 ;  
                    else  
                    {  
                        j=1;  
                        lcd_putchar(data[(i-1)]);  
                    }  
                }  
            }  
        }
```



```
    }  
    }  
  
    if(j==0) lcd_putsf("0");  
    if((PINA.0==0)&&j==1)  
    {  
        for(i=0;i<16;i++)  
        {  
            if(data[i]==48) data[i]=57;  
            else  
            {  
                data[i]-=1;  
                break;  
            }  
        }  
        cmd_writemifare(4,data);  
        while(!PINA.0);  
    }  
    if(PINA.1==0)  
    {  
        for(i=2;i<16;i++)  
        {  
            if(data[i]==57) data[i]=48;
```

```
else
{
data[i]+=1;
break;
}
}

cmd_writemifare(4,data);
while(!PINA.1);
}

if(PINA.2==0)
{
for(i=0;i<16;i++)
{
data[i]=48;
}

cmd_writemifare(4,data);
while(!PINA.2);
}

delay_ms(500);
}

else
{
lcd_clear();
```

```
lcd_gotoxy(0,0);
```

```
delay_ms(5);
```

```
lcd_putsf("No Cards Available!!!");
```

```
delay_ms(500);
```

```
}
```

```
j=0;
```

```
}
```

```
}
```

```
: Mifare.c
```

```
#include "mifare.h"
```

```
#include <alcd.h>
```

```
#include <delay.h>
```

```
#include <stdlib.h>
```

```
extern char rx_buffer[];
```

```
extern unsigned char rx_index;
```

```
unsigned char cont_tim0; unsigned char c_tim0;
```

```
bit g_bTimeOut=0; bit g_bReceCommandOk=0;
```

```
char cmd_number;
```

```
//-----
```

```
const unsigned char baud_table[4] = { 0x00 , 0x00 , 0x01 , 0x01 };
```

```

const unsigned char settled_table[4]      = { 0x00 , 0x00 , 0x07 , 0x01 };
const unsigned char setanten_table[4]     = { 0x00 , 0x00 , 0x0c , 0x01 };
const unsigned char Request_table[4]      = { 0x00 , 0x00 , 0x01 , 0x02 };
const unsigned char anticollision_table[4] = { 0x00 , 0x00 , 0x02 , 0x02 };
const unsigned char select_table[4]       = { 0x00 , 0x00 , 0x03 , 0x02 };
const unsigned char Authentication_table[4] = { 0x00 , 0x00 , 0x07 , 0x02 };
const unsigned char readmifare_table[4]   = { 0x00 , 0x00 , 0x08 , 0x02 };
const unsigned char writemifare_table[4]  = { 0x00 , 0x00 , 0x09 , 0x02 };
const unsigned char halt_table[4]         = { 0x00 , 0x00 , 0x04 , 0x02 };

//-----

```

```

// Timer 0 overflow interrupt service routine
interrupt [TIM0_OVF] void timer0_ovf_isr(void)
{
    // Place your code here
    TCCR0=0x00;//stop timer0
    cont_tim0++;
    if (cont_tim0==c_tim0){
        g_bTimeOut=1;
        cont_tim0=0;
    }
    else {
        g_bTimeOut=0;
    }
}

```

```
TCCR0=0x03;//start timer0

};

}

//-----

// USART Receiver interrupt service routine
interrupt [USART_RXC] void usart_rx_isr(void)
{
    char status=0,data;
    status=UCSRA;
    data=UDR;
    if (!(status & 0x10))
    {
        rx_buffer[rx_index]=data;
        rx_index++;
        switch (cmd_number) {
            case 0: //cmd_baud
            case 1: //cmd_setled
            case 2: //cmd_setanten
            case 6: //cmd_Authentication
            case 8: //cmd_writemifare
            case 9: //cmd_halt
                if (rx_index==10)
```

```
{  
    rx_index=0;  
    if (rx_buffer[8]==0 ) g_bReceCommandOk=1;  
    cont_tim0=0;TCCR0=0x00;//stop timer0  
}  
    break;  
    case 3: //cmd_Request  
        if (rx_index==12)  
        {  
            rx_index=0;  
            if (rx_buffer[8]==0 ) g_bReceCommandOk=1;  
            cont_tim0=0;TCCR0=0x00;//stop timer0  
        }  
        break;  
    case 4: //cmd_anticollision  
        if (rx_index==14)  
        {  
            rx_index=0;  
            if (rx_buffer[8]==0 ) g_bReceCommandOk=1;  
            cont_tim0=0;TCCR0=0x00;//stop timer0  
        }  
        break;  
    case 5: //cmd_select
```

```
        if (rx_index==11)
        {
            rx_index=0;

            if (rx_buffer[8]==0 ) g_bReceCommandOk=1;

            cont_tim0=0;TCCR0=0x00;//stop timer0
        }

        break;

        case 7: //cmd_readmifare

            if (rx_index==26)

            {

                rx_index=0;

                if (rx_buffer[8]==0 ) g_bReceCommandOk=1;

                cont_tim0=0;TCCR0=0x00;//stop timer0

            }

            break;

        };

    }

}

//*****

char cmd_baud(unsigned char a)

{

    char i;

    unsigned char xxor=0;
```

```
cmd_number=0;rx_index=0;g_bReceCommandOk=0;
g_bTimeOut=0;cont_tim0=0;c_tim0=100;TCCR0=0x03;//start timer0

    putchar(0xaa);

    putchar(0xbb);

    putchar(0x06);

    putchar(0x00);

    for(i=0;i<4;i++)

        {

            putchar(baud_table[i]);

            xxor ^= baud_table[i];

        }

    putchar(a);

    xxor ^= a;

    putchar(xxor);

while (!g_bReceCommandOk && !g_bTimeOut);

    if (!g_bTimeOut)

        return true;

    else

        return false;

    }

//*****

char cmd_setled(unsigned char a)

    {
```



```
char i;

unsigned char xxor=0;

cmd_number=1;rx_index=0;g_bReceCommandOk=0;

g_bTimeOut=0;cont_tim0=0;c_tim0=100;TCCR0=0x03;//start timer0

putchar(0xaa);

putchar(0xbb);

putchar(0x06);

putchar(0x00);

for(i=0;i<4;i++)

{

putchar(setled_table[i]);

xxor ^= setled_table[i];

}

putchar(a);

xxor ^= a;

putchar(xxor);

while (!g_bReceCommandOk && !g_bTimeOut);

if (!g_bTimeOut)

return true;

else

return false;

}

//*****
```

```
char cmd_setanten(unsigned char a)
{
    char i;

    unsigned char xxor=0;

    cmd_number=2;rx_index=0;g_bReceCommandOk=0;
    g_bTimeOut=0;cont_tim0=0;c_tim0=100;TCCR0=0x04;//start timer0

    putchar(0xaa);

    putchar(0xbb);

    putchar(0x06);

    putchar(0x00);

    for(i=0;i<4;i++)
    {
        putchar(setanten_table[i]);
        xxor ^= setanten_table[i];
    }

    putchar(a);

    xxor ^= a;

    putchar(xxor);

    while (!g_bReceCommandOk && !g_bTimeOut);

    if (!g_bTimeOut)
    {
        return true;
    }
}
```

```
else

return false;

}

//*****

char cmd_Request(unsigned char a,unsigned int *tag_type)

{

char i;

unsigned char xxor=0;

cmd_number=3;rx_index=0;g_bReceCommandOk=0;

;g_bTimeOut=0;cont_tim0=0;c_tim0=100;TCCR0=0x03;//start timer0

putchar(0xaa);

putchar(0xbb);

putchar(0x06);

putchar(0x00);

for(i=0;i<4;i++)

{

putchar(Request_table[i]);

xxor ^= Request_table[i];

}

putchar(a);

xxor ^= a;

putchar(xxor);
```

```
while (!g_bReceCommandOk && !g_bTimeOut);

if (!g_bTimeOut)

{

*tag_type=(unsigned int)((unsigned int)(rx_buffer[9]<<8)|rx_buffer[10]);

return true;

}

else

return false;

}

//*****

char cmd_anticollision(unsigned char *serial)

{

char i;

unsigned char xxor=0;

cmd_number=4;rx_index=0;g_bReceCommandOk=0;

g_bTimeOut=0;cont_tim0=0;c_tim0=200;TCCR0=0x03;//start timer0

putchar(0xaa);

putchar(0xbb);

putchar(0x05);

putchar(0x00);

for(i=0;i<4;i++)

{
```

```
        putchar(anticollision_table[i]);

        xor ^= anticollision_table[i];

    }

    putchar(xor);

while (!g_bReceCommandOk && !g_bTimeOut);

    if (!g_bTimeOut)

    {

        *(serial+0)=rx_buffer[9];
        *(serial+1)=rx_buffer[10];
        *(serial+2)=rx_buffer[11];
        *(serial+3)=rx_buffer[12];

        return true;

    }

    else

        return false;

}

//*****

char cmd_select(unsigned char a,unsigned char b,unsigned char c,unsigned
char d)

{

    char i;

    unsigned char xor=0;

    cmd_number=5;rx_index=0;g_bReceCommandOk=0;
```

```
g_bTimeOut=0;cont_tim0=0;c_tim0=100;TCCR0=0x03;//start timer0
```

```
    putchar(0xaa);
```

```
    putchar(0xbb);
```

```
    putchar(0x09);
```

```
    putchar(0x00);
```

```
    for(i=0;i<4;i++)
```

```
    {
```

```
        putchar(select_table[i]);
```

```
        xxor ^= select_table[i];
```

```
    }
```

```
    putchar(a);xxor ^= a;
```

```
    putchar(b);xxor ^= b;
```

```
    putchar(c);xxor ^= c;
```

```
    putchar(d);xxor ^= d;
```

```
    putchar(xxor);
```

```
while (!g_bReceCommandOk && !g_bTimeOut);
```

```
    if (!g_bTimeOut)
```

```
    {
```

```
        return true;
```

```
    }
```

```
    else
```

```
        return false;
```

```
    }
```

//*****

```
char cmd_Authentication(unsigned char b_key,unsigned char a_block,unsigned
char a,unsigned char b,unsigned char c,unsigned char d,unsigned char
e,unsigned char f)
{
char i;

unsigned char xxor=0;

cmd_number=6;rx_index=0;g_bReceCommandOk=0;

g_bTimeOut=0;cont_tim0=0;c_tim0=25;TCCR0=0x03;//start timer0

putchar(0xaa);

putchar(0xbb);

putchar(0x0d);

putchar(0x00);

for(i=0;i<4;i++)
{

putchar(Authentication_table[i]);

xxor ^= Authentication_table[i];

}

putchar(b_key);xxor ^= 0x60;

putchar(a_block);xxor ^= a_block;

putchar(a);xxor ^= a;

putchar(b);xxor ^= b;

putchar(c);xxor ^= c;

putchar(d);xxor ^= d;
```

```
        putchar(e);xxor ^= e;

        putchar(f);xxor ^= f;

        putchar(xxor);

while (!g_bReceCommandOk && !g_bTimeOut);

        if (!g_bTimeOut)

                {

                        return true;

                }

        else

                return false;

        }

//*****

char cmd_readmifare(unsigned char _block, unsigned char *ptr)

        {

                char i;

                unsigned char xxor=0;

                cmd_number=7;rx_index=0;g_bReceCommandOk=0;

g_bTimeOut=0;cont_tim0=0;c_tim0=100;TCCR0=0x03;//start timer0

                putchar(0xaa);

                putchar(0xbb);

                putchar(0x06);

                putchar(0x00);

                for(i=0;i<4;i++)
```



```
        {

        putchar(readmifare_table[i]);

        xxor ^= readmifare_table[i];

        }

        putchar(_block);

        xxor ^= _block;

        putchar(xxor);

while (!g_bReceCommandOk && !g_bTimeOut);

        if (!g_bTimeOut)

        {

                for(i=0;i<16;i++)

                        *(ptr+i)=rx_buffer[i+9];

                return true;

        }

        else

                return false;

        }

        /*******

char cmd_writemifare(unsigned char _block, unsigned char *ptr)

        {

                char i;

                unsigned char xxor=0;
```

```
cmd_number=8;rx_index=0;g_bReceCommandOk=0;
g_bTimeOut=0;cont_tim0=0;c_tim0=100;TCCR0=0x03;//start timer0

    putchar(0xaa);

    putchar(0xbb);

    putchar(0x16);

    putchar(0x00);

    for(i=0;i<4;i++)

        {

            putchar(writemifare_table[i]);

            xxor ^= writemifare_table[i];

        }

    putchar(_block);xxor ^= _block;

    for (i=0;i<16;i++)

        {

            putchar(*(ptr+i));

            xxor ^= *(ptr+i);

        };

    putchar(xxor);

    while (!g_bReceCommandOk && !g_bTimeOut);

    if (!g_bTimeOut)

        {

            return true;

        }

}
```

```
else
    return false;
}

//*****

char cmd_halt(void)
{
    char i;
    unsigned char xxor=0;

    cmd_number=9;rx_index=0;g_bReceCommandOk=0;
    g_bTimeOut=0;cont_tim0=0;c_tim0=100;TCCR0=0x03;//start timer0

    putchar(0xaa);
    putchar(0xbb);
    putchar(0x05);
    putchar(0x00);
    for(i=0;i<4;i++)
    {
        putchar(halt_table[i]);
        xxor ^= halt_table[i];
    }
    putchar(xxor);

    while (!g_bReceCommandOk && !g_bTimeOut);

    if (!g_bTimeOut)
    {
```

```
        return true;
    }

    else

        return false;
    }

//-----

char connect(char _block)
{
    unsigned int tag_type;
    unsigned char serial[4];

    //Request
    if(cmd_Request(0x52, &tag_type))
    {
        if( cmd_Request(0x52, &tag_type) &&
            cmd_anticollision(serial) &&
            cmd_select(serial[0],serial[1],serial[2],serial[3]) &&
            cmd_Authentication(0x60,_block,0xff,0xff,0xff,0xff,0xff,0xff) )
        {
            return true;
        }
    };

    };

    return false;
```

};

//-----

در فایل Mifare.h اطلاعات خاصی وجود ندارد به همین دلیل از گذاشتن آن در اینجا خودداری کردم .

فصل پنجم

خلاصه پروژه و نتایج بدست آمده

تکنولوژی RFID یک تکنولوژی کلیدی برای رسیدن به هدف شبکه اشیا می باشد . در این حال که سیستم های RFID به طور فراگیری گسترش می یابند ، زندگی روزمره ما به این تکنولوژی وابسته می شود . پس کارایی و قابلیت اطمینان بالا مورد نیاز است . در نتیجه مشکل تداخل تگ ها توجه محققان را همچنان جذب می کند . تا به امروز بیشتر شرکت ها برای حل این مشکل از روش های مبتنی بر TDMA استفاده کرده اند . اما با توجه به طبیعت تکنولوژی TDMA ، فقط یک شماره سریال تگ در یک شکاف زمانی قابل بازیابی است . پس برای بهبود سریع کارایی سیستم ، مانند دیگر سیستم های مخابراتی مدرن ، استفاده همزمان از دیگر روش ها مورد نیاز است . تا به امروز بیشتر مقالات بر روی یک روش خاص متمرکز شده اند . برای بهینه سازی بازدهی سیستم ، تکنولوژی های پیشرفته تری مانند تکنولوژی بهینه سازی cross-layer مورد نیاز است . یک سیستم RFID غیر فعال ، برعکس دیگر سیستم های مخابراتی ، یک ساختار نامتوازن بین تگ و ریدر دارد ، جایی که یک تگ غیر فعال محدودیت های توان و قیمت دارد و بنابراین

فقط توانایی انجام الگوریتم های با پیچیدگی کم را دارد . این نتایج بدست آمده سیستم های RFID غیر فعال در طراحی یک طرح ضد تداخل ، یک مشکل منحصر به فرد و چالش برانگیز می باشد .

متأسفانه اطلاعات درباره سیستم های RFID ضدتداخل که به صورت مدارات عملی باشد به دلیل تازگی و به روز بودن مطلب در انحصار چند شرکت خاص بوده و آنها نیز فقط به صورت محصول کامل و پکیج شده آن را در اختیار دیگران قرار می دهند .

سرانجام برای انجام پروژه ای مانند این رو به محصولات مایفر که برد کمی دارند آوردم و یک نمونه از کاربرد های آن را نشان دادم .

فهرست منابع

- InTech The approaches in solving passive rfid tag collision problems
Hsin-Chin Liu Taiwan 2010
- Tag Anti-collision Algorithms in RFID Systems MAJID ALOTAIBI,
ADAM POSTULA, and MARIUS PORTMANN
- www.aftab.ir
- International Standard

